# مجلة جامعة حمص

سلسلة العلوم الهندسية المدنية والمعمارية



## مجلة علمية محكمة دورية

المجلد 47. العدد 8

1447 هـ - 2025 م

# الأستاذ الدكتور طارق حسام الدين رئيس جامعة حمص المدير المسؤول عن المجلة

رئيس تحرير مجلة جامعة حمص	أ. د. وليد حمادة
للعلوم الإنسانية	
رئيس تحرير مجلة جامعة حمص	د نعيمة عجيب
للعلوم الطبية والهندسية	
والأساسية والتطبيقية	

عضو هيئة التحرير	د.محمد فراس رمضان
عضو هيئة التحرير	د. مضر سعود
عضو هيئة التحرير	د. ممدوح عبارة
عضو هيئة التحرير	د. موفق تلاو <i>ي</i>
عضو هيئة التحرير	د. طلال رزوق
عضو هيئة التحرير	د. أحمد الجاعور
عضو هيئة التحرير	د. الياس خلف
عضو هيئة التحرير	د. روعة الفقس
عضو هيئة التحرير	د. محمد الجاسم
عضو هيئة التحرير	د. خليل الحسن
عضو هيئة التحرير	د. هيثم حسن
عضو هيئة التحرير	د. أحمد حاج موسى

تهدف المجلة إلى نشر البحوث العلمية الأصيلة، ويمكن للراغبين في طلبها الاتصال بالعنوان التالي:

رئيس تحرير مجلة جامعة حمص

سورية . حمص . جامعة حمص . الإدارة المركزية . ص . ب (77)

++ 963 31 2138071 : هاتف / هاتف .

. موقع الإنترنت: www.homs-univ.edu.sy

journal.homs-univ.edu.sy : البريد الالكتروني

ISSN: 1022-467X

### شروط النشر في مجلة جامعة حمص

#### الأوراق المطلوية:

- 2 نسخة ورقية من البحث بدون اسم الباحث / الكلية / الجامعة) + CD / word من البحث منسق حسب شروط المجلة.
  - طابع بحث علمي + طابع نقابة معلمين.
  - اذا كان الباحث طالب دراسات عليا:

يجب إرفاق قرار تسجيل الدكتوراه / ماجستير + كتاب من الدكتور المشرف بموافقته على النشر في المجلة.

• اذا كان الباحث عضو هيئة تدريسية:

يجب إرفاق قرار المجلس المختص بإنجاز البحث أو قرار قسم بالموافقة على اعتماده حسب الحال.

• اذا كان الباحث عضو هيئة تدريسية من خارج جامعة البعث:

يجب إحضار كتاب من عمادة كليته تثبت أنه عضو بالهيئة التدريسية و على رأس عمله حتى تاريخه.

• اذا كان الباحث عضواً في الهيئة الفنية:

يجب إرفاق كتاب يحدد فيه مكان و زمان إجراء البحث ، وما يثبت صفته وأنه على رأس عمله.

- يتم ترتيب البحث على النحو الآتي بالنسبة لكليات (العلوم الطبية والهندسية والأساسية والتطبيقية):

عنوان البحث .. ملخص عربي و إنكليزي (كلمات مفتاحية في نهاية الملخصين).

- 1- مقدمة
- 2- هدف البحث
- 3- مواد وطرق البحث
- 4- النتائج ومناقشتها .
- 5- الاستتاجات والتوصيات.
  - 6- المراجع.

- يتم ترتيب البحث على النحو الآتي بالنسبة لكليات (الآداب الاقتصاد- التربية الحقوق السياحة التربية الموسيقية وجميع العلوم الإنسانية):
  - عنوان البحث .. ملخص عربي و إنكليزي (كلمات مفتاحية في نهاية الملخصين).
    - 1. مقدمة.
    - 2. مشكلة البحث وأهميته والجديد فيه.
      - 3. أهداف البحث و أسئلته.
      - 4. فرضيات البحث و حدوده.
    - 5. مصطلحات البحث و تعريفاته الإجرائية.
      - 6. الإطار النظري و الدراسات السابقة.
        - 7. منهج البحث و إجراءاته.
        - 8. عرض البحث و المناقشة والتحليل
          - 9. نتائج البحث.
          - 10. مقترحات البحث إن وجدت.
            - 11. قائمة المصادر والمراجع.
    - 7- يجب اعتماد الإعدادات الآتية أثناء طباعة البحث على الكمبيوتر:
      - أ- قياس الورق 17.5×25 B5.
  - ب- هوامش الصفحة: أعلى 2.54- أسفل 2.54 يمين 2.5- يسار 2.5 سم
    - ت- رأس الصفحة 1.6 / تذييل الصفحة 1.8
    - ث- نوع الخط وقياسه: العنوان . Monotype Koufi قياس 20
- ـ كتابة النص Simplified Arabic قياس 13 عادي ـ العناوين الفرعية Simplified Arabic قياس 13 عادي.
  - ج. يجب مراعاة أن يكون قياس الصور والجداول المدرجة في البحث لا يتعدى 12سم.
- 8- في حال عدم إجراء البحث وفقاً لما ورد أعلاه من إشارات فإن البحث سيهمل ولا يرد البحث البحث البحث البحث البحث إلى صاحبه.
- 9- تقديم أي بحث للنشر في المجلة يدل ضمناً على عدم نشره في أي مكان آخر، وفي حال قبول البحث للنشر في مجلة جامعة البعث يجب عدم نشره في أي مجلة أخرى.

10- الناشر غير مسؤول عن محتوى ما ينشر من مادة الموضوعات التي تنشر في المجلة 11- تكتب المراجع ضمن النص على الشكل التالي: [1] ثم رقم الصفحة ويفضل استخدام التهميش الإلكتروني المعمول به في نظام وورد WORD حيث يشير الرقم إلى رقم المرجع الوارد في قائمة المراجع.

#### تكتب جميع المراجع باللغة الانكليزية (الأحرف الرومانية) وفق التالى:

#### آ . إذا كان المرجع أجنبياً:

الكنية بالأحرف الكبيرة ـ الحرف الأول من الاسم تتبعه فاصلة ـ سنة النشر ـ وتتبعها معترضة ( - ) عنوان الكتاب ويوضع تحته خط وتتبعه نقطة ـ دار النشر وتتبعها فاصلة ـ الطبعة ( ثانية . ثالثة ) . بلد النشر وتتبعها فاصلة . عدد صفحات الكتاب وتتبعها نقطة.

#### وفيما يلى مثال على ذلك:

-MAVRODEANUS, R1986- Flame Spectroscopy. Willy, New York, 373p.

#### ب. إذا كان المرجع بحثاً منشوراً في مجلة باللغة الأجنبية:

\_\_ بعد الكنية والاسم وسنة النشر يضاف عنوان البحث وتتبعه فاصلة، اسم المجلد ويوضع تحته خط وتتبعه فاصلة \_\_ أرقام الصفحات الخاصة بالبحث ضمن المجلة.

#### مثال على ذلك:

BUSSE,E 1980 Organic Brain Diseases <u>Clinical Psychiatry News</u>, Vol.  $4.\ 20-60$ 

ج. إذا كان المرجع أو البحث منشوراً باللغة العربية فيجب تحويله إلى اللغة الإنكليزية و التقيد بالبنود (أ و ب) ويكتب في نهاية المراجع العربية: ( المراجع المراجع العربية)

## رسوم النشر في مجلة جامعة حمص

- 1. دفع رسم نشر (50000) ل.س أربعون ألف ليرة سورية عن كل بحث لكل باحث يريد نشره في مجلة جامعة البعث.
- 2. دفع رسم نشر (200000) ل.س مئة الف ليرة سورية عن كل بحث للباحثين من الجامعة الخاصة والافتراضية .
  - دفع رسم نشر (200) مئتا دولار أمريكي فقط للباحثين من خارج
     القطر العربي السوري .
- دفع مبلغ (15000) ل.س ستة آلاف ليرة سورية رسم موافقة على
   النشر من كافة الباحثين.

## المحتوي

الصفحة	اسم الباحث	اسم البحث
46-11	م. ادوار انطوان موسی أ.د. معتز عبارة	تقنية الطباعة ثلاثية الأبعاد للأبنية وأثرها في المنتج المعماري السكني
74-47	شروق سعد د.نعيمة عجيب أ.د.سمير شمشم	دراسة تأثير تغير الحمل الهيدروليكي و الأس الهيدروجيني PH على مقدرة نبات عدس الماء الماء الماء
100-75	م.حنان علي المحسن د.م.سليمان العامودي د.م.تراث غريب	دراسة تجريبية وتحليلية لتأثير الركام المعاد تدويره على سلوك العقد البيتونية المسلحة
136-101	مريم الإبراهيم د سليمان العامودي	تأثير تغير التخامد مع تسارع الإستجابة على تحليل الإطارات البيتونية المسلحة متعددة الطوابق باستخدام طريقة طيف الإستجابة
173-137	هيا علي مندو د.م.محمود السباعي أ.د.م.معن سلامة	تحليل هيدروغرافات آبار المياه الجوفية في منطقة الغوطة الشرقية وتحديد قيم التغذية الجوفية المتوقعة

## تقنية الطباعة ثلاثية الأبعاد للأبنية وأثرها في الهنتج المعماري السكني

إعداد: م. ادوار انطوان موسى إشراف: أ.د. معتز عبارة

كلية الهندسة المعمارية - جامعة حمص

#### ملخص البحث:

مع التطور التقني الكبير المصاحب للتيارات المعاصرة في المجال المعماري، شكلت الطباعة ثلاثية الأبعاد للأبنية قفزة نوعية في عالم الهندسة المعمارية والإنشائية، فظهرت الأبنية المطبوعة كعلامات فارقة في تاريخ البناء مما أدى إلى العديد من التساؤلات حول تقنيات التصميم والتنفيذ للأبنية الناتجة عن هذه التقنية وخاصة السكنية منها كونها تمس الإنسان في حياته اليومية أكثر من الأبنية الأخرى، لذلك تناول البحث مفهوم الطباعة ثلاثية الأبعاد ومن ثم تم الاطلاع على مفهوم الطباعة في مجال في البناء، وطرق انتاج المبنى من التصميم وحتى التنفيذ النهائي. ثم تم تناول العديد من الأبنية السكنية المطبوعة في الدراسة التحليلية من اجل استنتاج التأثيرات التي نتجت عن استخدام تقنية الطباعة ثلاثية الأبعاد في المباني السكنية الإيجابية منها والسلبية، وصولاً إلى مقترحات يمكن الاستفادة منها في المستقبل في تفعيل دور هذه التقنية وتحسين نتائجها.

#### الكلمات المفتاحية:

تقنية-طباعة ثلاثية الأبعاد- المنتج المعماري -أبنية سكنية-تصميم معماري.

# 3D printing technology for buildings and its impact on the residential architectural product

#### **Abstract:**

With the great technical development accompanying contemporary trends in the architectural field, 3D printing of buildings constituted a qualitative leap in the world of architecture and construction. Printed buildings appeared as milestones in the history of construction, which led to many questions about the design and implementation techniques for buildings resulting from this technology, especially residential ones. Because it affects people in their daily lives more than other buildings, so the research dealt with the concept of 3D printing and then looked at the concept of printing in the field of construction, and the methods of producing the building from design to final implementation. Then, several printed residential buildings were discussed in the analytical study in order to deduce the effects that resulted from the use of 3D printing technology in residential buildings, both positive and negative, to arrive at proposals that can be used in the future to activate the role of this technology and improve its results.

**key words**: technology- 3D printing - architectural product- residential buildings - architectural design.

#### المقدمة:

لم يعد من الخيال محاكاة أي نموذج ثلاثي الأبعاد أو مجسم وتحويل كل ما يخطر في بال المصممين من أشكال متنوعة لتكوين صوره طبق الأصل منه على ارض الواقع. وخاصة المباني السكنية التي تصمم بعناية وبشكل متفرد خاص باحتياجات كل عائلة، فبظهور الطباعة ثلاثية الأبعاد للأبنية أصبح من الممكن تنفيذ أي مبنى بسهولة وبسرعة وبكافة التفاصيل الدقيقة مهما بلغ تعقيدها. مما نتج عن هذه التقنية العديد من التغيرات التي من الممكن ان تؤثر على مفهوم تصميم وتنفيذ المبانى السكنية حالياً وفي المستقبل.

#### أهمية البحث:

إلقاء الضوء على تقنية الطباعة ثلاثية الأبعاد في عالم الهندسة المعمارية، ودورها في التصميم المعماري للأبنية السكنية، والإحاطة بجوانبها الإيجابية والسلبية وذلك لعدم وضوح أثرها في المنتج المعماري السكنى.

#### هدف البحث:

يهدف البحث إلى دراسة تقنية الطباعة ثلاثية الأبعاد للأبنية وأثرها في المنتج المعماري للوصول إلى اعتبارات لاستخدامها في الأبنية السكنية المعاصرة.

#### منهجية البحث:

المنهج النظري

-المنهج الوصفي التحليلي الاستنتاجي

#### 1-مفهوم تقنية الطباعة ثلاثية الأبعاد:

الطباعة ثلاثية الأبعاد هي تقنية مبتكرة تمكن من إنشاء المجسمات من خلال نموذج رقمي. حيث تعرف الطباعة ثلاثية الأبعاد باسم التصنيع التراكمي (Additive Manufacturing) وهو ينطوي على عملية أخذ النموذج الرقمي، وترجمته إلى سلسلة من شرائح أفقية في لغة الآلة، ثم طباعته عن طريق إضافة طبقات متعاقبة ودقيقة جداً (لا يتجاوز سمكها أجزاء من الميليمتر) من المواد حتى يتم إنشاء المجسم ثلاثي الأبعاد باستخدام عدد من التقنيات المختلفة .كما أن الطباعة ثلاثية الأبعاد تجلب اثنين من الابتكارات الأساسية: التلاعب في المجسمات في شكلها الرقمي وتصنيع أشكال جديدة عن طريق إضافة المواد [15].

#### 2-استخدامات تقنية الطباعة ثلاثية الأبعاد:

ما يجعل الطباعة ثلاثية الأبعاد فريدة من نوعها هو قدرتها على تصنيع مجسمات صلبة كاملة ومعقدة. حيث تستطيع طباعة (صناعة) المجسمات والأدوات بطرق لا محدودة، وبمختلف المواد والمعادن. دخلت الطباعة ثلاثية الأبعاد العديد من المجالات منها الفنية، والتراثية والاثرية، والألعاب والسيارات والمباني وأيضاً المجال الطبي تمكنت الطباعة ثلاثية الأبعاد من توفير أطراف صناعية مطبوعة للذين فقدوا أيديهم أو أرجلهم في حوادث [14].







الشكل 1: منتجات متنوعة باستخدام الطباعة ثلاثية الأبعاد[14]

وقد أثرت هذه التكنولوجيا على التاريخ الإنساني الحديث ربما أكثر من أي مجال آخر. حيث جعلت الحياة أفضل من نواحي كثيرة، وفتحت آفاقا وإمكانيات جديدة. بالنسبة لمعظم الصناع، هي اختصار قوى لعمل مجسمات دقيقة ومعقدة الأغراض مختلفة.

هناك أنواع مختلفة من تقنيات الطباعة ثلاثية الأبعاد، والتي تعالج مواد مختلفة بطرق مختلفة

لصنع المجسم النهائي. فاللدائن، والمعادن، والسيراميك، والرمال، تستخدم الآن بشكل روتيني للتطبيقات الصناعية الأولية وإنتاجها. البلاستيك هو حاليا من المواد المستخدمة على نطاق واسع، ولكن هناك عدد متزايد من البدائل، بما في ذلك النايلون. وهناك عدد متزايد من الآلات التي تم تكييفها للمواد الغذائية، مثل السكر والشوكولا. [14]

#### 3- استخدام تقنية الطباعة ثلاثية الأبعاد في عمليات البناء:

تحظى تكنولوجيا الطباعة ثلاثية الأبعاد، وهي إحدى مجالات التصنيع الرقمي، باهتمام متزايد في البناء والتشييد، وخاصة بالنسبة للمباني السكنية. تتضمن هذه الطريقة بناء طبقة تلو الأخرى، مما يسمح بعمليات بناء دقيقة وفعالة من حيث التكلفة. يعد ظهور الطباعة ثلاثية الأبعاد في البناء بإحراز تقدم كبير من حيث مرونة التصميم وكفاءة المواد والاستدامة.

للطباعة ثلاثية الأبعاد تأثير عميق على النجاح الإجمالي للمشروع (OPS) لمشاريع البناء السكنية من خلال تحسين الأبعاد المتعلقة بالمشروع مثل التكلفة والوقت والجودة والسلامة والاستدامة مما يدل على آثار إيجابية للغاية في الأبعاد البيئية والسلامة. [10]

يمكن تحقيق التنوع المعماري من خلال الطباعة ثلاثية الأبعاد جنبًا إلى جنب مع التصميم الرقمي والبناء الآلي. وذلك عن طريق منهج برمجة حدودي يستوعب الاحتياجات السكنية المتنوعة على أساس الاختلافات الثقافية والمناخية والمهنية. تهدف هذه المنهجية إلى التغلب على تجانس

تصاميم المساكن التقليدية من خلال تعزيز التخصيص والقدرة على التكيف. [11]

مصدر الوحي لاختراع الطابعة ثلاثية الأبعاد في البناء هو حشرة الدبور، الذي يبني عشه عن طريق مراكمة عدد كبير من طبقات الطين فوق بعضها البعض، ليشكل عشاً يشبه وعاء الفخار، وبهذا فإن هذه الحشرة ربما تكون

أصغر طابعة ثلاثية الأبعاد صديقة للبيئة في العالم. [18]



الشكل2: عش الدبور [12]

إن ظهور الطابعات ثلاثية الأبعاد الكبيرة، وطباعة المنازل والمنشآت فعلياً باستخدام هذه النقنية سبب ضجة كبيرة في علم البناء والتشييد حيث نجد أن فكرة طابعة المباني لا تختلف كثيراً عن الطابعات ثلاثية الأبعاد الصغيرة .حيث يتم بناء المنازل طبقة تلو الأخرى من أسفل إلى أعلى عن طريق نفث المادة الخام (غالبا ما يكون الاسمنت المضاف إليه مواد أخرى تعزز من سهولة استخدامه في الطابعة، من رأس الطابعة والتي يتم التحكم بها عن طريق تصميم معد مسبقاً على الحاسوب).

تم تطوير طابعات المباني الكبيرة من عدة شركات أشهرهم شركة win sun الصينية، حيث قامت هذه الشركة بطباعة العديد من المباني وأشهرهم مكتب دبي المطبوع بالكامل الذي تميز بطابعه الخاص بالإضافة إلى توفير الوقت والتكلفة والعمالة والتصميم المميز [1]

#### 2-3-مراحل المنتج المعماري السكني المطبوع من الفكرة إلى الاستخدام:

إن استخدام الطباعة ثلاثية الأبعاد في البناء يعني إعادة النظر في الطريقة التي نصنع بها المنازل والمباني الأخرى، حيث تسمح بإنشاء تصميمات معقدة ومخصصة أو مرنة وقد تكون حساسة أو غير قابلة للتحقيق باستخدام أساليب البناء التقليدية. [13]

فيما يلى الخطوات والمراحل لطباعة الأبنية السكنية:

#### 1-2-3 التصميم:

تعتبر عملية التصميم أمرًا محوريًا لنجاح المشروع المطبوع، لأنها تحدد تخطيط ومظهر ووظيفة المبنى. يجب أن يراعي التصميم المعلومات حول حجم المنزل وشكله والتجهيزات

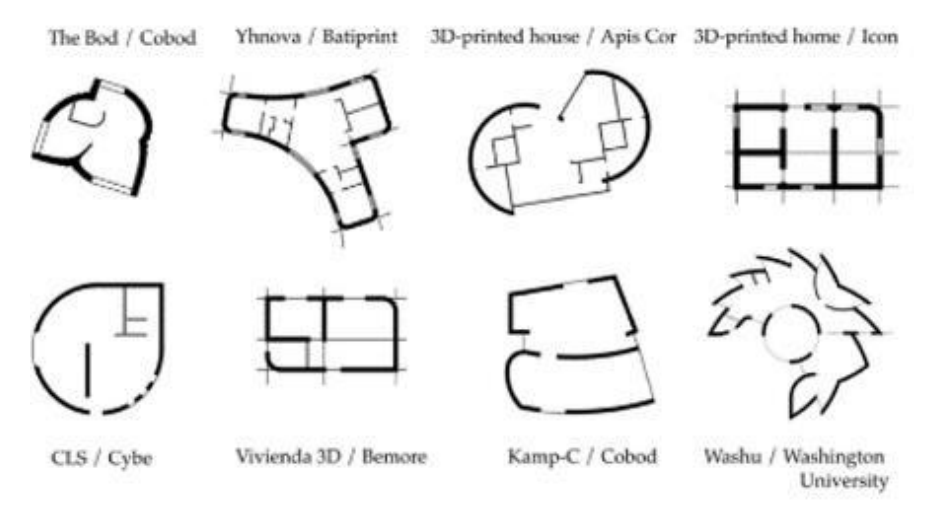
التي سيتم استخدامها وأي ميزات خاصة، من أجل ضمان تلبية المنتج المعماري السكني النهائي لمتطلبات وتطلعات صاحب المنزل.

هناك العديد من الاعتبارات والتحديات التي يجب وضعها في الاعتبار عند تصميم منزل مطبوع ثلاثي الأبعاد. أحد التحديات الرئيسية هو حجم التصميم وتعقيده. نظرًا لأن المنزل يتم تشييده



الشكل 3: المرونة والتخصيص في التشكيل[20]

طبقة تلو الأخرى، فهناك قيود على حجم وشكل الهيكل الذي يمكن تحقيقه باستخدام الطباعة ثلاثية الأبعاد. من المهم التفكير بدقة في التصميم والتأكد من إمكانية تنفيذه بالطباعة ثلاثية الأبعاد. بالإضافة إلى ذلك، يمكن أن يؤثر اختيار التجهيزات والامتدادات على تكلفة المنزل النهائي واستمراريته ومظهره. من المهم فحص هذه الخيارات والنظر فيها بعناية قبل اتخاذ القرار النهائي.[13]

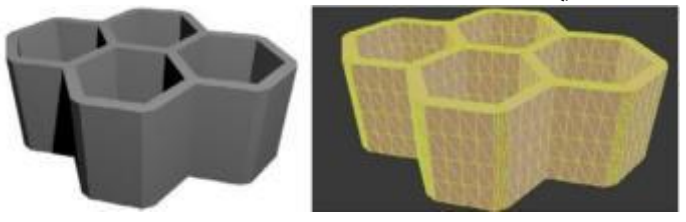


الشكل 4: عدد من المساقط الأفقية لمبانى سكنية المنفذة بتقنية الطباعة ثلاثية الأبعاد[8]

بعد الإنتهاء من عملية التصميم يتم إنشاء نموذج رقمي ثلاثي الأبعاد للمبنى. ويمكن القيام بذلك باستخدام برامج النمذجة ثلاثية الأبعاد المختلفة حيث يحدد النموذج الرقمي شكل المسكن النهائي وأبعاده ومواصفاته. [21] يمكن أيضًا استخدام هذه البرامج لتحديد التحديات أو المشكلات التي قد تشأ أثناء الطباعة. [13]

#### 2-2-3 التقطيع:

بمجرد اكتمال النموذج ثلاثي الأبعاد، يتم تقطيعه إلى طبقات أفقية رفيعة ليشكل شبكة مسارات إفتراضية. وتتم هذه العملية باستخدام برنامج مخصص للتقطيع حيث يقوم بإنشاء مجموعة من التعليمات (G-code) التي توجه الطابعة ثلاثية الأبعاد حول كيفية إنشاء كل طبقة. [21]



الشكل 5: نموذج لعملية تقطيع الجدران [14]

#### 3-2-3 عملية طباعة المسكن:

تقرأ الطابعة ثلاثية الأبعاد رمز (G-code) وتبدأ في البناء طبقة تلو الأخرى. وتقوم ببثق المواد بدقة وفقًا لمواصفات التصميم حيث تقوم باتباع هذه التعليمات لإنتاج الشكل والمميزات المطلوبة للمنزل. [21]

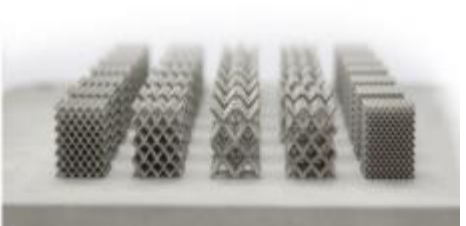
المبدأ العام في الطباعة ثلاثية الأبعاد واحد، حيث تتم عملية الطباعة من خلال رص طبقات خليط البناء فوق بعضها البعض حتى يكتمل بناء المنشأ.

الفكرة الأساسية في هذه الطابعات هي الطبقات Layers ، فيمكن طباعة أي منشأ ثلاثي الأبعاد من خلال وضع طبقات فوق بعضها البعض بالشكل المطلوب ليتكون في النهاية منشأ ثلاثي الأبعاد [4]

يتم اختيار شكل مقطع الجدار المطبوع من قبل المهندسين المختصين حسب مساحة المنشأ والحمولات التي سيتعرض لها حيث من الممكن أن تكون الجدران مصمتة أو شبكية أو

#### متكونة من طبقات بمواد متعددة كما يمكن أن تضاف لها عناصر التسليح.[6]





الشكل 6: مقاطع الجدر ان المتنوعة [1]

ومن المهم استخدام مواد رابطة للخامات لتربط الحبيبات فيتم تشكيل النموذج ، ويقوم رأس الطابعة بضخ خليط البناء ومن ثم يرتفع ليقوم بضخ الثانية ويستمر في إنشاء طبقات حسب ما هو مطلوب بعدها يتم نفث كميات حسب الطلب فيقوم النافث بتوزيع كميات منفصلة أو مستمرة

من المواد طبقة فوق طبقة، وبتكرار النفث للخامات والمواد الرابطة تتكون الطبقة تلو الأخرى حتى يتم الحصول على الشكل النهائي.

فيما بعد تتم المعالجة النهائية حيث يتم التخلص من الزيادات غير المرغوبة وكذلك المواد الرابطة الغير مرغوب فيها، ويتم الإكساء بالمواد المطلوبة لإنهاء العمل بالشكل المناسب [4]

تعتبر عملية البناء بواسطة الطبقات طريقة ذات آفاق متعددة الجوانب بشكل كبير، كل ما يمكن تصميمه باستخدام الحاسوب يمكن في نهاية المطاف أن يتحول إلى عنصر مطبوع.



الشكل 7:عملية طباعة الجدار عن طريق بثق الخرسانة من فوهة الطابعة [22]

بالإضافة إلى ذلك فإن هذه العملية تعتبر كفؤ من ناحية المصادر والمواد الخام التي تحتاجها، بالمقارنة مع طرق التصنيع التي يتم فيها إزالة أجزاء كبيرة من مادة التصنيع للحصول على الشكل أو العنصر المرغوب به. وبذلك فإن الطابعة ثلاثية الأبعاد توفر % 50 إلى % 95 من

المادة الخام. حيث أن خلال عملية البناء بواسطة تجميع الطبقات يتم فعلياً استخدام المادة الضرورية فقط في البناء بدون هدر للمواد تقريباً [7] .



الشكل 8 استخدام الدعامات في أماكن الفتحات أثناء عملية الطباعة[1]

يبلغ إجمالي وقت البناء للمبنى الذي تبلغ مساحته 200 متر مربع المبني من الخليط الاسمنتي يوم واحد فقط، تتضمن عملية الطباعة هذه

واحد فقط، تتضمن عملية الطباعة هذه طباعة أجزاء متفرقة لوحدها ومن ثم تجميعها كقطع

المكعبات (الليغو) أي بسرعة تفوق سرعة البناء التقليدية بنسبة 50% خبراء في مجال التشييد والبناء وجدوا أن الأثر

الحقيقي لهذه التكنولوجيا يكمن في قدرتها على توفير كلفة البناء بنسبة تتراوح بين %50 إلى % 70وكلفة العمالة بنسبة تتراوح بين %50 إلى % 80 وأشاروا إلى أنه في حال استخدام النفايات الإنشائية والزجاج والاسمنت والفولاذ كمواد إنشائية، أي كحبر للطابعات ثلاثية الأبعاد يمكن تصنيع مبان سكنية يبلغ ارتفاعها 6,5 متر وطولها 152,4 متر وعرضها 9,7 متر خلال 24ساعة [3]

#### 3-2-4-التجميع:

تتضمن هذه العملية وضع الأجزاء المطبوعة في مواقعها الصحيحة وتأمينها معًا لإنتاج المنزل النهائي. يعتمد جزء كبير من العمل اليدوي في عملية التجميع على تصميم المنزل وقدرات الطابعة ثلاثية الأبعاد. في بعض الحالات، قد تتمكن الطابعة من إنتاج هيكل المنزل بالكامل، بما في ذلك الجدران والأسقف، في قطعة واحدة. وفي حالات أخرى، قد تتم طباعة المنزل في أقسام منفصلة تحتاج إلى تجميعها في موقع البناء. تتطلب عملية التجميع النظر في العديد من التحديات والاعتبارات. أحد التحديات الرئيسية هو ضمان محاذاة الأجزاء المطبوعة وربطها ببعضها البعض بشكل آمن لضمان السلامة الهيكلية للمنزل. تتضمن العملية أيضاً إضافة التمديدات المنزلية (مثل

الصرف الصحي والكهرباء) لجعل المنزل صالحًا للسكن. وتتطلب هذه العملية مهارات فنية ومعرفة متخصصة.[13]



الشكل 9: مبانى سكنية مطبوعة متنوعة في التشكيل والطابع بعد الانتهاء من التجميع [8]





الشكل 10: الفراغ الداخلي النهائي المميز للمباني السكنية المنفذة بتقنية الطباعة ثلاثية الشكل 10: الأبعاد بعد الانتهاء من التجميع وتجهيزها للاستخدام[8]

### وفيما يلي مسطرة قياس الدراسة التحليلية:

		المسكن لوابق لمبنى بناء لابعة ندمة	اسم الم تصنيف عدد الم المسا ارتفاع ا سنة ال نوع الم المستذ	توصيف المسكن			
ملاحظات	محقق جزئياً	محقق	محقق	5	المدروس المرونة في المثكيل مرونة مرونة التشكيل بعناصر المبنى المبنى المبنى المعديل بعد المباشرة الطباعة	وقت الاامل المرونة مرونة التصميم	انعكاس استخدام تقنية الطباعة ثلاثية الأبعاد على المنتج المعماري السكني

الجدول 1: مسطرة قياس الدراسة التحليلية-إعداد الباحث

# 4-دراسة تحليلية لأبنية سكنية مبنية بتقنية الطباعة ثلاثية الأبعاد: معايير اختيار الأمثلة في الدراسة التحليلية:

- 1. جميع الأبنية السكنية المدروسة مبنية بتقنية الطباعة ثلاثية الأبعاد.
  - 2. الأبنية السكنية من ثقافات ومدارس معمارية مختلفة.
    - 3. الأبنية السكنية من مناطق جغرافية متنوعة.

#### 1-4 منزل TECLA:

Mario Cucinella أكملت الشركة الإيطالية

الأشخاص الذين يفتقرون إلى السكن الملائم يسيب المشكلات

المنزل عبارة عن شكل عضوي يشبه الكهف يبدو

Architects نموذجًا أوليًا لمنزل يجمع بين بعض أحدث التقنيات وأقدم مواد الإسكان. المسكن المسمى TECLA ، هو أول منزل مطبوع ثلاثي الأبعاد مصنوع من الطين وبأمل مؤسسه ماربو كوتشينيلا أن يصبح تصميم برنامجه خيارًا قابلاً للتطبيق لإيواء

المالية أو النزوح.

قديمًا ومنحوتًا من الطبيعة، وبتناقض بصربًا مع التكنولوجيا المبتكرة التي تقف وراءه. إنها نموذجية لممارسة شركة Cucinella التي تركز على الهندسة المعمارية "الإنسانية" وهي تقاطع بين عوالم التكنولوجيا المنخفضة والعالية.

الشكل 9: منزل تيكلا [16]



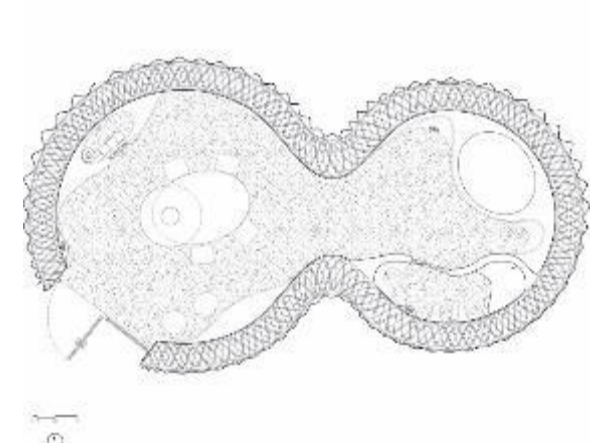
الشكل 10: منزل TECLA اثناء الطباعة [16]

تم بناء منزل TECLA من التربة الموجودة في الموقع ممزوجًا بالماء وألياف من قشور الأرز (أقل من 5٪ من الحجم الإجمالي). هذا النهج يمكن تكراره في أجزاء مختلفة من العالم باستخدام أي مواد محلية متاحة وبمكن أن يكون مفيدًا بشكل خاص في المناطق الربفية المحرومة، حيث قد يكون من الصعب الحصول على مواد البناء الصناعية.

الطباعة بالطين لها عيوبها إنها عملية أبطأ بكثير من الخرسانة سربعة التجفيف يمكن طباعة التصميم في 200 ساعة ولكن يمكن أن يستغرق خليط الطين أسابيع حتى يجف حسب المناخ وأيضًا تفرض قيوداً على الارتفاع. تم إنشاء المبنى بأحدث تقنيات الطباعة ثلاثية الأبعاد الحالية ونتيجة لذلك تمكن الفريق من بناء 60 مترًا مربعًا في غضون 200 ساعة فقط. وقد ساعد على ذلك حقيقة أن الهيكل قد تم تصميمه ليكون مدعومًا ذاتيًا بالكامل – فهو لا يتطلب أي هيكل إطار آخر ويمكنه تحمل ثقله. يتم إنشاء المنزل بأكمله من مادة واحدة دفعة واحدة – يعني أن خطر حدوث مضاعفات في موقع البناء منخفض. [5]

# الاستدامة في هذا المنزل المطبوع ثلاثي الأبعاد:

تم بناء Tecla في الموقع باستخدام مواد من مصادر محلية وهو نموذج مثالي لمنتج خالٍ من النفايات. تم استخدام التربة المحلية للمواد الخام للطباعة ثلاثية الأبعاد علاوة على ذلك فإن الغلاف القوي الملموس قابل للتحلل البيولوجي تمامًا – مما يوضح كيف يمكن للهندسة المعمارية الذكية أن تبدو جيدة ولكن أيضًا في الطليعة



الشكل 11: المسقط الأفقى لمنزل تبكلا [5]

التكنولوجية وتدعم نهجًا منخفض الكربون في نفس الوقت. تم إنشاء تركيبة خليط الأرض المستخدمة في البناء كاستجابة مباشرة للظروف المناخية المحلية. وهذا يعني أن الأداء الحراري قد تم تحسينه أيضًا" موازنة الكتلة الحرارية والعزل وتهوية الجدار داخل الغلاف". [5]

#### جمالية البناء:

ينعكس النهج الانسيابي مع البناء في جمالية قوية بشكل مناسب. يبدو المنزل متماسكًا بنفس النمط المرئي من الداخل والخارج. تبدو البيئة طبيعية ودافئة مع ألوان لطيفة. تتميز المساحات الداخلية – منطقة المعيشة وغرفة النوم والحمام – بأثاث مدمج مصمم خصيصًا ليتناسب مع

الجمالية العامة، مما يتيح في نفس الوقت مساحة كافية خالية من التخصيص من اجل المرونة إذا لزم الأمر.

يتم إنتاج المفروشات الجاهزة كجزء من عملية الطباعة ثلاثية الأبعاد التي تتيح للساكنين الاستفادة الفورية من هذه المساكن. كان هذا اعتبارًا مهمًا لمهندسي Mario Cucinella لأن الاستوديو أراد استخدام تقنيات الطباعة ثلاثية الأبعاد لمعالجة كل من حالات الطوارئ السكنية الحادة، والتي يكون البناء السريع لمساكن TECLA مناسبًا لها بشكل خاص وأزمة الإسكان طويلة الأجل حول العالم. [5]

Tecla	کن	اسم المسكن				
مؤقت	سكن	تصنيف المسكن				
ي واحد	طابق			بق	عدد الطوا	-
<sup>2</sup> م <del>(</del>	50			2	المساحا	ئومي
.4م	2			نی	ارتفاع الم	ا ا
202	21			۶	سنة البنا	مسكن
Constant	A/A CD			äe	نوع الطاب	
Crane \	WASP			ىة	المستخدمة	
طباعة 200 ساعة	عملية ال	استغرقت		ىيذ	وقت التنفيذ	
ملاحظات	محقق جزئياً	غير محقق	محقق	دروس	العامل الم	انعكاس است ثلاثية الأبعاد
تعتبر مواد البناء المستخدمة				لمرونة في	1	استخا بعاد ء
مرنة وسهلة التشكيل			✓	التشكيل	خدام ، على ال	
يتكون المبنى من وحدة				مواد البناء		تقنية المنتج
متكاملة لا يمكن إعادة			1	مرونة	التصميم	الطباعة
تشكيله			,	التشكيل		اعة اري

مجلة جامعة حمص سلسلة العلوم الهندسية المدنية والمعمارية المجلد 47 العدد 8 عام 2025 م. ادوار انطوان موسى أ.د. معتز عبارة

 ٠٫٠ ,٠٠٠ (	<u>سوان موسی</u>	/ J/3-/ -r		حم 2023	<del>0                                </del>	
عدت تقنية الطباعة بتنفيذ	سا			بعناصر		
المبنى انطلاقاً من فكرة				المبنى		
ض الدبور والعمارة المحلية	ie			إمكانية		
وبشكل مقبب و منحني				التعديل بعد		
لا يمكن التعديل على		✓		المباشرة		
الجدران والاسقف لأنها				بعملية		
تشكل وحدة متكاملة.				الطباعة		
				استدامة		
نبر المبنى مستدام تماماً	يعنا			عناصر		
بب استخدام مواد طبيعية	بس		✓	البناء		
, طباعته، ويتم معالجة	في			والتقنيات		
ياه الرمادية وتجميع مياه	الم			المستخدمة	استدامة	
مطار الستخدامها في	الأ			إمكانية	المبنى	
ديقة. بالإضافة لوجود	الد			إعادة		
إح شمسية تزود المنزل	ألو		✓	استخدام		
طاقة النظيفة.	بال			مواد البناء		
				بعد الهدم		
تكون من منطقة معيشة	ي					
توحة مع غرفة نوم وحمام	مف		<b>✓</b>	لوظيفة	יל. ג'ד.	
عبر مؤدي للوظيفة للغاية	وي		·	توطيعه	, -0.00	
لتي تم إنشاؤه من اجلها	١					
استلهام Tecla من دبور	تم					
لخزاف، الذي يبني عشه	1		1	و المحمدي	11-11 7 5	
طريقة مماثلة من الطين	د.		•	بع المعماري	مارىمە الصا	
في شكل دائري. وبالتالي	وا					

ينسجم المبنى مع العمارة				
المحلية				
الجدران معزولة		✓	الراحة الحرارية	
بحدود 1000\$				
يعتبر سكن لذوي الدخل		✓	التكلفة الاقتصادية	
المحدود والنازحين والفقراء.				
تم انشاء الجدران من الطين				
وقشور الأرز التي تستغرق				
وقت حتى تجف لكنها قادرة		✓	الجودة والمتانة	
على تحمل الاحمال				
المختلفة بشكل مدروس.				

جدول 2: مسطرة قياس منزل تيكلا- المصدر: إعداد الباحث بالاستناد إلى [5]

#### 2-4 منازل مطبوعة في الصين من شركة winsun:

قامت شركة winsun الصينية بطباعة منازل تتمتع بكفاءة أكبر وبتكلفة أقل بكثير من استخدام أساليب البناء التقليدية بالإضافة إلى ذلك، يمكن استخدام المواد المعاد تدويرها كحبر لبناء المنازل، مما يجعلها ميسورة التكلفة ومستدامة وصديقة للبيئة.

استخدمت شركة WinSun تكنولوجيا الطباعة ثلاثية الأبعاد لبناء 10 منازل، مساحة كل منزل 200 متر مربع في المنطقة، فقط في 42ساعة.



الشكل 12: احدى أنماط المنازل المطبوعة في الصين [12]

تستخدم شركة WinSun عملية طباعة ثلاثية الأبعاد تصنع فيها الأجسام الصلبة من تصميمات رقمية، لإنتاج جدران معيارية مصممة مسبقاً مشابهة للجدران المصنوعة باستخدام الطوب او الإسمنت، ولكن مع وجود اختلافات كبيرة [6]

يتم إنتاج الأجزاء المعيارية للمباني باستخدام طابعة ثلاثية الأبعاد يبلغ ارتفاعها 21 قدماً وعرضها 32 قدما وطولها 132 قدماً.

تعتبر هذه الطابعة أول طابعة للطباعة ثلاثية الأبعاد في العالم وأكبر طابعة منزلية، يتم إدخال رسم ثلاثي الأبعاد CAD من إعداد المهندس المعماري أو الاختصاصي في الطابعة الضخمة، التي تستخدم حبر تم إنتاجه خصيصاً، والذي يتكون من نفايات البناء والإسمنت والألياف الزجاجية والرمل وعامل تصلب. يمكن الحصول على جميع هذه المكونات من المواد المستخدمة في البناء العام والتي تم إعادة تدويرها. [12]

سین من شرکة winsun	سكن	اسم الم					
ائلة واحدة	المسكن						
ي واحد	طابق				لوابق	عدد الم	
2 م 2	00				حة	المسا	بع ب
4 م	4				لمبنى	ارتفاع ا	توصيف
201	14				بناء	سنة ال	المسكن
Vulc	an				لابعة	, S	
					ىدمة		
لطباعة 25 ساعة.					وقت التنفيذ		
ل الطريقة التقليدية 23 يوم.	بنى بنفس	كساء الم	استغرق ا				
ملاحظات	محقق جزئياً	غير محقق	محقق	العامل المدروس محقق			انعكاس
مادة البناء الأساسية هي			المرونة في			استخر	
الالياف الزجاجية وتعتبر	<b>✓</b>			التشكيل	مرونة الت	ستخدام تقنية ثلاثبة الأنعاد	
من اكثر العناصر سهلة				ç	بمواد البناء	التصميم	1. 1. J.

التشكيل المبنى سهل التشكيل لأنه مكون من عدة قطع يمكن تركيبها في الموقع كما		<b>&gt;</b>	مرونة النشكيل بعناصر المبنى		
تستخدم شركة البناء الطباعة لإنشاء اجسام صلبة من تصميمات رقمية لإنتاج جدران معيارية مصممة مسبقا مشابهة لجدران المصنوعة باستخدام الطوب والإسمنت لا يمكن التعديل بسبب طباعة الهيكل بشكل	<b>√</b>		إمكانية التعديل بعد المباشرة بعملية الطباعة		
تقلل المواد المستخدمة في المبنى من انبعاثات الكربون ويمكن إعادة تدوير مواد البناء عند هدمه يتم تفتيت عناصر البناء		<b>✓</b>	استدامة عناصر البناء والتقنيات المستخدمة	استدامة	
ماعدا الحديد وإضافة مواد كيميائية خاصة ثم تعريضه لدرجة حرارة معينة ويعاد استخدامها في البناء (الطباعة)		<b>√</b>	إمكانية إعادة استخدام مواد البناء بعد الهدم	المبنى	

مجلة جامعة حمص سلسلة العلوم الهندسية المدنية والمعمارية المجلد 47 العدد 8 عام 2025 م. ادوار انطوان موسى أ.د. معتز عبارة

سی ۱.د. معتز عباره	انطوان مو	م. ادوار		جلد 47 العدد 8 عام 2025	الم
المنزل عبارة عن استديو يتضمن ركن نوم وركن جلوس ودورة مياه وبذلك حقق المبنى المطلوب منه كمبنى سكني.			<b>✓</b>	تأدية الوظيفة	
العمارة في المباني السكنية في الصين تعتمد على الخطوط المستقيمة في البناء وهذا ما اعتمدته الشركة المنفذة			✓	ملائمة الطابع المعماري	
لا يوجد معالجات واضحة	✓			الراحة الحرارية	
\$4800 بدلا من 10الف\$			✓	التكلفة الاقتصادية	
يستطيع المنزل تحمل زلزال بقوة 8 ريختر وصالح للسكن حسب تصريح الشركة لمدة 150 سنة			<b>√</b>	الجودة والمتانة	

جدول 3: مسطرة قياس لمنزل الصين WinSun - المصدر :عمل الباحث بالاستناد إلى [1]

#### 3-4 بناء مطبوع مكون من خمس طوابق في الصين:

اتخذت شركة WinSun الصينية خطوة كبيرة أخرى للأمام في مجال الطباعة ثلاثية الأبعاد، عندما نجحت في إنشاء أول مبنى سكني مكون من خمسة طوابق في حديقة سوتشو في مقاطعة جيانغسو حيث قام مطور صيني بذلك باستخدام نفس التقنية. يعتبر هذا المبنى أعلى مبنى مطبوع ثلاثي الأبعاد في العالم، وأحد الإنجازات الأكثر إثارة للإعجاب حتى الآن في مجال الطباعة ثلاثية الأبعاد حيث يبلغ ارتفاعه حوالي 90 قدم أي ما يعادل تقريبا 27 متر.

أقيم المبنى على أساس خرساني مسبق الصنع، قامت على أثره طابعة ثلاثية الأبعاد ببناء جدران مجوفة باستخدام مزيج سريع الجفاف من أنقاض مباني معاد تدويرها، والاسمنت والجبس ومركبات أخرى، حيث تعتبر مواد الطباعة ثلاثية الأبعاد أخف بنسبة % 50 تقريباً من الخرسانة التقليدية وأكثر متانة إلى حد كبير. بعد اكتمال الجدران، تتولى العمال استكمال عملية البناء من تركيب السقف والنوافذ وملئ الجدران بالمواد العازلة.

إن الجدران المطبوعة ثلاثية الأبعاد أخف بنسبة 50 في المائة تقريباً من الجدران الخرسانية، ولكن

لديها قوة وصلابة أعلى بكثير ولديها مقاومة قوية للماء، بالإضافة إلى تحسين نفاذية الهواء والاحتفاظ بالحرارة مقارنة بالجدران المصنوعة من مواد البناء الشائعة.

حيث يبلغ ارتفاع الطابعة المستخدمة في عملية التصنيع 21 قدماً وعرضها 32 قدماً وطولها 500 قدم .وتبلغ تكلفتها 2.3 مليون دولار، حيث استغرقت الشركة المصنعة 12 سنة للانتهاء من تصنيعها وإدخالها في مجال العمل. أما الحبر المستخدم فهو مزيج من بقايا مواد البناء والزجاج والفولاذ والإسمنت الذي يتم رشه على كل طبقة مستقلة حتى يتكون الحائط السميك.



الشكل 13: المبنى المطبوع في الصين من5طوابق [9]

إن عملية تصنيع مواد البناء عادة ينتج عنها انبعاثات كربونية هائلة، أما الطابعة ثلاثية الأبعاد فيمكنها إعادة تدوير مواد البناء والتخفيف من الانبعاثات السامة.

كما أن العمال لا يتعرضون للمواد السامة أثناء عملية التجهيز، ونجد أيضا أن تلك التقنية تقلل من الضوضاء الناتجة عن عملية البناء التقليدية، إضافة إلى أنها أنظف.

وبالرغم من أن تكلفة المبنى المكون من خمسة طوابق قد تصل إلى حوالي 100 ألف جنيه إسترليني أي حوالي 150 ألف دولار أميركي، إلا أن ثمن الوحدة السكنية سيكون أقل بكثير من الوحدة المبنية بالطريقة التقليدية. [1]

إبق المطبوع في الصين	سكن	اسم الم					
دد العائلات	تصنيف المسكن						
لموابق	<b>-</b> 5				لوابق	عدد الم	
<sup>2</sup> م 15	500				حة	المسا	ئود
2 م	7				لمبنى	ارتفاع ا	توصيف
201	16				بناء	سنة ال	المسكن
Stroy	bot2				لابعة	نوع الط	şi,
					المستخدمة		
ع الإكساء الداخلي والخارجي والي30يوم.			ستغرقت	اد	وقت التنفيذ		
ملاحظات	محقق جزئياً	غير محقق	محقق		لمدروس	العامل ا	انعكاس اس ثلاثية الأبعاد
تعتبر مواد البناء المستخدمة				ي	المرونة في		) استخ عاد ع
مرنة وسهلة التشكيل بعد	✓				التشكيل	7	تخدام تا على ال
إضافة المواد الكيميائية	,				بمواد البنا	مرونة التعديد	لقنية ال
المناسبة وأخف بنسبة		1			مرونة	التصميم	الطباعة المعمار
50% تقريباً من الخرسانة		v			التشكيل		ة اري

التقليدية			بعناصر		
يتكون المبنى من وحدة			المبنى		
متكاملة لا يمكن إعادة			إمكانية		
تشكيله			التعديل بعد		
لا يمكن التعديل على	✓		المباشرة		
الجدران والاسقف لأنها			بعملية		
تشكل وحدة متكاملة			الطباعة		
			استدامة		
			عناصر		
		✓	البناء		
لا ينتج عن عملية البناء			والتقنيات		
انبعاثات سامة ويمكن اعادة			المستخدمة	استدامة	
تدوير مواد البناء وتخفيف			إمكانية	المبنى	
الانبعاثات السامة			إعادة		
		✓	استخدام		
			مواد البناء		
			بعد الهدم		
تتكون الشقة الواحدة من			,		
غرفتي نوم ومعيشة ومطبخ					
ودورة مياه وحمام وبذلك		✓	الوظيفة	تأدية ا	
حققت المطلوب منها					
كوظيفة.					
العمارة في المباني السكنية					
ي في الصين تعتمد على		✓	بع المعماري	ملائمة الطا	
" الخطوط المستقيمة في					

بسی اید مصر جاره	<del>ر سر</del> ان حر	J/J-7 -F		2025 75 0 77	
البناء وهذا ما اعتمدته					
الشركة المنفذة					
الجدران معزولة			✓	الراحة الحرارية	
150 الف\$ بدلا من					
600الف\$ فإذا تم استثناء			<b>√</b>	וויין וואדיי ו. ד	
سعر الطابعة يعتبر سكن			•	التكلفة الاقتصادية	
لذوي الدخل المحدود.					
تتمتع الجدران بقوة وصلابة					
أعلى بكثير ولديها مقاومة					
قوية للماء بالإضافة الى					
تحسين نفاذية الهواء				الجودة والمتانة	
والاحتفاظ بالحرارة مقارنة			✓		
بالجدران المصنوعة من					
مواد البناء الشائعة.					
صالح للسكن حسب تصريح					
الشركة لمدة 165 سنة					

جدول 4:مسطرة القياس لمنزل الصين ذو ال5 طوابق-المصدر: إعداد الباحث بالاستناد إلى 1]



#### الشكل 14: الفيلا المطبوعة في دبي [2]



الشكل 15: مراحل طباعة الفيلا في دبي[2]

# 4-4-فيلا دبي (اول فيلا منفذة بتقنية الطباعة ثلاثية الأبعاد):

أعمال تنفيذ مشروع تشييد أول فيلا سكنية بتقنية الطباعة ثلاثية الأبعاد في دبي بدأت في نيسان 2018م، لتكون الإمارة الأولى على مستوى الوطن العربي في الاستفادة من هذه التقنية في بناء مساكن للمواطنين، حيث تم تشييد أول فيلا سكنية بتقنية الطباعة ثلاثية الأبعاد ضمن برنامج مسرعات دبي المستقبل.

يبلغ ارتفاع الفيلا حوالي 9.5 متر، وتبلغ المساحة الإجمالية 640 متر مربع، وبعد الانتهاء من أعمال البناء تبين أن استخدام الطابعة ثلاثية الأبعاد خفض التكاليف في البناء من 680ألف دولار إلى 275 ألف دولار .واستخدمت الشركة المنفذة كلا من طرق

البناء التقليدي والطباعة ثلاثية الأبعاد، حيث كانت ألواح السقف مصنوعة من مواد البناء التقليدية [9].

الفيلا المطبوعة في إمارة دبي	اسم المسكن	
فيلا سكنية	تصنيف المسكن	
طابقين	عدد الطوابق	ئور
<sup>2</sup> هٰ640	المساحة	توصيف
9.5 م	ارتفاع المبنى	المسأ
2018	سنة البناء	λί.
Anin oor	نوع الطابعة	
Apis cor	المستخدمة	

عة ثلاثة أيام استغرق الإكساء و والديكور 3أشهر تقريباً		رقت عما	استغ	، التنفيذ	وقت	
ملاحظات	و <u>—ربي</u> محقق جزئياً	عير غير محقق	محقق	المدروس	العامل	
يمكن بواسطة خليط البناء			✓	المرونة في التشكيل بمواد البناء		
طباعة أكثر العناصر المعقدة تم طباعة الأشكال المستقيمة والمنحنية بسهولة تامة. تعتبر هذه الفيلا من أوائل المباني المطبوعة في إمارة دبي، كان لابد من إعطائها تصميم أكثر ابداع يميزها بالتفاصيل وبذلك لم تُستغل قدرة الطابعة.			<b>√</b>	مرونة التشكيل بعناصر المبنى	مرونة التصميم	انعكاس استخدام تقنية الطباعة ثلاثية الأبعاد على
لا يمكن، أثناء الطباعة يترك فتحات خاصة مدروسة لتمديدات المياه والكهرباء، يتم تركيبها لاحقا بعد الطباعة.		<b>√</b>		إمكانية التعديل بعد المباشرة بعملية الطباعة		. على المنتج المعماري السكني
يتميز البناء بنظام عزل مبتكر يساعد على تخفيف استهلاك الطاقة يتم تفتيت عناصر البناء ماعدا			<b>√</b>	استدامة عناصر البناء	استدامة المبنى	

الحديد وإضافة مواد كيميائية			والتقنيات		
خاصة ثم تعريضه لدرجة			المستخدمة		
حرارة معينة ويعاد استخدامها					
في البناء (الطباعة)					
( , , , , ,					
			إمكانية		
			إعادة		
		✓	استخدام		
			مواد البناء		
			بعد الهدم		
تتكون الفيلا من غرفة معيشة					
وغرفتي نوم واستقبال وبذلك		✓	الوظيفة	تأدية	
حققت الغرض المطلوب منها					
يتماشى شكل الفيلا مع المباني		<b>\</b>	ة الطابع	ملائم	
المتطورة في دبي		•	مماري	الم	
تساعد المواد المستخدمة في		<b>√</b>			
تأمين الراحة الحرارية		•	الحرارية	الراحه	
275 ألف\$ بدلا من 680					
ألف\$ وإذا تم استثناء سعر					
الطابعة (250ألف\$ كمبيع)		✓	لاقتصادية	التكلفة ا	
يعتبر سكن لذوي الدخل					
المحدود.					
اساساته ضعيفة ولكن تم					
تدعيمه بأسياخ حديد ضمن					
الجدران. صالح للسكن حسب	<b>✓</b>		ا والمتانة	الجودة	
الأبحاث لمدة 125 سنة					

الجدول 5: مسطرة قياس الفيلا المطبوعة في دبي \_ المصدر: إعداد الباحث بالاستناد إلى [1]

#### 4-5- منزل مطبوع في الرباض/السعودية بتقنية الطباعة ثلاثية الأبعاد:



الشكل 16: الواجهة الأمامية للمنزل المطبوع في السعودية [9]

يقع المنزل على أرض وزارة الإسكان غرب مطار الملك خالد الدولي بالرياض، وتمت طباعته عن طريق شركة (Cybe) الهولندية، التي تعد من أبرز الشركات التي تمتلك هذه التقنية في العالم. تم البناء بواسطة روبوت بإشراف ومتابعة ستة

تم البناء بواسطة روبوت بإشراف ومتابعة ستة أشخاص فقط، اقتصر دورهم تقريبا على المرحلة التأسيسية للبناء. وبعد اكتمال الهيكل تبقى مرحلة تشطيب المنزل التي تتم بنفس طريقة المنازل

العادية بهذا الحجم، وتستغرق من ثلاثة أسابيع إلى شهر، وقد أنجزها فريق العمل في 17 يوم. [1]

المنزل المطبوع في السعودية	اسم المسكن	
سكن عائلة واحدة	تصنيف المسكن	
طابق واحد	عدد الطوابق	
80 م <sup>2</sup>	المساحة	نعو
4 م	ارتفاع المبنى	ليف
2018	سنة البناء	المسكز
Cybe	نوع الطابعة	, si
	المستخدمة	
استغرقت عملية الطباعة 25 ساعة.	: :: : :	
استغرق اكساء المبنى بنفس الطريقة التقليدية 23 يوم.	وقت التنفيذ	

ملاحظات	محقق جزئياً	غیر محقق	محقق	المدروس	العامل	
فوهة الطابعة بقطر 2 سم ومزيج البناء المرن يستطيع طباعة أي شكل			<b>✓</b>	المرونة في التشكيل بمواد البناء		
لا تتمتع عناصر المبنى بمرونة كبيرة في التشكيل نظراً لقصر ذراع الطابعة الروبوتية. وحسب الشركة يمكن بناء طابقين فوق		<b>√</b>		مرونة التشكيل بعناصر المبنى	مرونة	انعكاس استخدام تة
الطابق الأرضي الحالي بنفس طريقة الطباعة المبنى مكون من قطع خرسانية بطول 275 (طول ذراع الروبوت)، يمكن فصل القطعة المطلوبة والتعديل على المنشأ.			<b>√</b>	إمكانية التعديل بعد المباشرة بعملية الطباعة	التصميم	تقنية الطباعة ثلاثية الأبعاد على
يتميز البناء بنظام عزل مبتكر يساعد على تخفيف استهلاك الطاقة ويعتبر الاسمنت الهولندي المستخدم صديق			<b>√</b>	استدامة عناصر البناء والتقنيات المستخدمة	استدامة	المنتج المعماري السكني
للبيئة، كما تم عزل المبنى بمواد عزل خاصة للحرارة والصوت. يتم تفتيت عناصر البناء ماعدا الحديد وإضافة مواد كيميائية خاصة ثم تعريضه لدرجة حرارة			<b>√</b>	إمكانية إعادة استخدام مواد البناء بعد الهدم	المبنى	

سلسلة العلوم الهندسية المدنية والمعمارية م. ادوار انطوان موسى أ.د. معتز عبارة

مجلة جامعة حمص المجلد 47 العدد 8 عام 2025

ن موسی ۱.د. معتز عباره	وار انطوا	م. الـ		د 8 عام 2025	جند /4/ نعد	الم
معينة ويعاد استخدامها في						
البناء (الطباعة)						
مخطط المنزل عبارة عن غرفة						
نوم وغرفة معيشة ومطبخ وركن						
طعام بالإضافة للحمام ودورة			<b>√</b>	الوظيفة	تأدية	
المياه. وبذلك حقق المبنى				~ <del></del>	<del></del> -	
الغرض المطلوب منه كفيلا						
سكنية						
خطوط المبنى مستقيمة				ة الطابع	م لائم	
والواجهات الخارجية تحاكي			✓			
المنازل التقليدية في السعودية.				مماري	الما	
تساعد المواد المستخدمة في			<b>✓</b>	7 1 11	7 1 11	
تأمين الراحة الحرارية			V	الحرارية	الراحة	
140ألف\$ بدلا من 280						
ألف\$. إذا تم استثناء سعر			<b>✓</b>	לאדי ו. יי	1 7 1 (-11	
الطابعة يعتبر سكن لذوي الدخل			V	لاقتصادية	التكلفة ا	
المحدود.						
يحتاج المبنى بعد طباعته ل						
6ساعات حتى يتصلب ويصبح						
بصلابة المبنى التقليدي. صالح			✓	ا والمتانة	الجودة	
للسكن حسب تصريح الشركة						
لمدة 50 سنة						

جدول 6: مسطرة قياس لمنزل السعودية المطبوع -المصدر:عمل الباحث بالاستناد إلى [1]

#### 5-نتائج الدراسة التحليلية:

- 1. استخدام الطابعات ثلاثية الأبعاد أعطى مرونة في تصميم الأبنية السكنية بسبب إمكانية إنشاء أي شكل مهما كان بسيط أو معقد، بخطوط مستقيمة أو منحنية، على عكس طرق البناء التقليدية، كما في الأمثلة السابقة.
- 2. حدّت عملية طباعة الأبنية من الحجوم الكبيرة والمرتفعة للأبنية السكنية بسبب ارتباط حجم المبنى بحجم الطابعة وارتفاع ذراعها، لكن كون الأبنية السكنية بطبيعة الحال يجب أن تراعي المقياس الإنساني في أبعادها من أجل راحة المستخدمين، لم يشكل هذا الجانب مشكلة في حالة الأبنية السكنية متوسطة الارتفاع، كما في مسمن تيكلا والمنزل المطبوع في السعودية.
  - المساكن المطبوعة يمكن أن تراعي الطابع المحلي المعماري في المناطق التي بنيت فيها،
     لأن الطابعة تتمكن من تنفيذ أي تصميم ولا تشترط أشكال محددة. كما في الأمثلة السابقة.
  - 4. تقنية الطباعة ثلاثية الأبعاد للمساكن ساعدت في إنتاج تكوينات مستمدة ومرتبطة بالطبيعة كما في مثال منزل تيكلا.
    - إمكانية التعديل على المساكن المطبوعة تختلف حسب نوع الطابعة المستخدمة في التنفيذ وبحسب تكوين المسكن، كما في الأمثلة السابقة.
- 6. لم تؤثر تقنية طباعة المباني على الأداء الوظيفي في الأبنية السكنية، كما في الأمثلة السابقة.
- 7. المواد المستخدمة في طباعة المباني تؤمن العزل الحراري للمبنى السكني وأيضا تؤمن عزل للرطوبة مما يخفف من استخدام وسائل التكييف العديدة والمكلفة، كما في منزل تيكلا، المنزل ذو الخمس طوابق في الصين، فيلا دبي والمنزل المطبوع في الرباض.
  - 8. المباني السكنية المنتجة بواسطة الطباعة ثلاثية الأبعاد تعتبر ذات تكاليف منخفضة واقتصادية مقارنة بالأساليب التقليدية للبناء، إذا تم استثناء سعر الطابعة، كما في الأمثلة السابقة.
  - 9. تمكن الطباعة من تنفيذ المباني بسرعة قياسية وبأعداد كبيرة جداً عند الحاجة. بالإضافة لتقليل احتمالية الخطأ اثناء التنفيذ، كما في الأمثلة السابقة.
  - 10.ان المواد المستخدمة في الطباعة ناتجة عن عمليات إعادة التدوير ويمكن أيضا عند هدم المنازل يمكن إعادة استخدام هذه المواد بعد معالجتها بالإضافة لخصائصها العازلة للحرارة

والماء، كما أن عملية البناء لا يصدر عنها انبعاثات سامة كما في الطرق التقليدية. مما يجعل المبانى المطبوعة مستدامة بيئياً، كما في الأمثلة السابقة.

#### 6-النتائج العامة:

- 1. الطباعة ثلاثية الأبعاد قدمت مرونة في تصميم الأبنية السكنية من حيث التشكيل المعماري. فيمكن بواسطتها تنفيذ أي مبنى مهما بلغ تعقيده، مما سيؤدي إلى اشكال جديدة للأبنية السكنية التي كان من الصعب تنفيذها بواسطة الطرق التقليدية.
- 2. لا يؤثر تعقيد التصميم وصعوبته على كفاءة المنشأ وعلى تكلفته. لأن عملية الطباعة ثلاثية الأبعاد ليست مقيدة بإمكانيات عمل الشكل في أساليب البناء التقليدية.
  - 3. تتميز تقنية الطباعة ثلاثية الأبعاد بمدى مطابقة التصميم مع التنفيذ والقدرة على تنفيذ تصميمات على درجة عالية من التعقيد
  - 4. إن حجم الأبنية المطبوعة محدود بحجم الطابعة، مما أدى إلى حصر استخدام الطابعة في الأبنية السكنية ذات الحجوم الصغيرة والمتوسطة.
  - 5. تختصر عملية الطباعة ثلاثية الأبعاد للأبنية وقت التنفيذ بشكل كبير جداً، مما يجعل هذه التقنية مناسبة جداً للعصر الحالي وخاصة لسكن الكوارث وللوحدات السكنية الصغيرة (مثل الشاليهات).
- 6. تعتبر الأبنية السكنية المطبوعة مناسبة لذوي الدخل المحدود بسبب انخفاض تكاليف إنشائها
   إلى النصف مقارنة بالتقنيات التقليدية بالإضافة لاختصارها عدد الأيدي العاملة في البناء.
  - 7. تعد الأبنية السكنية المطبوعة مستدامة بيئياً، بسبب استخدام مواد غير ملوثة في إنشائها بالإضافة لخصائصها في العزل الحراري وعزل الرطوبة، وأيضا إمكانية إعادة تدويرها بعد الانتهاء من استخدام المبنى.
    - 8. من الممكن استخدام مواد طبيعية في عملية البناء بالطباعة مثل مادة الطين ولكن بعد معالجتها لتصبح صلبة وقادرة على تحمل الأحمال كافة.
- 9. إن استخدام تقنية الطباعة ثلاثية الأبعاد في البناء يؤدي إلى التقليل من الأخطاء أثناء التنفيذ بسبب سير العملية بشكل آلى ومنتظم ومستمر لا يتوقف إلا عند الحاجة.

- 10. من سلبيات البناء باستخدام الطباعة هي صعوبة التعديل على المبنى عندما تكون الجدران منفذه بشكل متصل.
- 11. يعتبر سعر الطابعة ثلاثية الأبعاد للبناء مرتفع، وهذا من اهم معوقات استخدامها في اغلب البلدان مما أدى الى قلة انتشار استخدامها.
- 12. يمكن استخدام تقنية الطباعة لإحياء العناصر التراثية والتقليدية في المساكن بسبب القدرة على تنفيذ كافة العناصر التراثية بتفاصيلها ومن دون جهد.

#### 7-التوصيات:

- 1. تشجيع شركات البناء والاستثمار لاستخدام تقنية الطباعة ثلاثية الأبعاد للأبنية السكنية، فكل طابعة يمكن ان تنفذ عشرات المباني اسبوعياً مما يؤدي إلى تقليل التكلفة الناتجة عن الطابعة بالمقارنة مع استخدامها بشكل فردي او على نطاق صغير.
  - 2. تسهيل إجراءات استيراد الطابعات ثلاثية الابعاد لتشجيع قطاعات البناء على استخدامها.
  - 3. تشجيع تصنيع الطابعات ثلاثية الأبعاد للأبنية بشكل محلى في المستقبل للتقليل من كلفتها.
    - 4. استخدام تقنية الطباعة في إعادة الإعمار وفي حالات سكن الكوراث بسبب سرعتها في الإنشاء والتوفير في تكلفة انشائها.
- 5. إقتراح إدخال مفهوم الطباعة ثلاثية الأبعاد للأبنية في مناهج الجامعات السورية لإعداد كوادر مؤهلة لاستخدام هذه التقنية في المستقبل.
  - 6. تناول ودراسة هذه التقنية بشكل معمق في الأبحاث الأكاديمية مستقبلاً.

#### 8-المراجع:

 AL Sammou.S. Study of Building Techniques By Using the Three Dimensional Printer in Architecture. Faculty of Architectural.AL Baath University.2021(In Arabic)

- Eraallstar Properties, Apis Cor Is the First Company to Develop a Specialized Equipment for 3D Printing in Construction Which Is Capable of Printing Whole Buildings Completely.
- 3. Hambach M, Volkmer D. Properties of 3D-printed fiber-reinforced Portland cement paste. Cem Concr Compos. 2017.
- 4. How is 3D Printing Beneficial for the Construction Industry, https://hamiltonlabs.co/. Retrieved April 21, 2019.
- Mario, Cucinella. "TECLA Technology and Clay 3D Printed House Architects" 27 Apr 2021. ArchDaily. Accessed 19 Jul 2024.
   <a href="https://www.archdaily.com/960714/tecla-technology-and-clay-3d-printed-house-mario-cucinella-architects">https://www.archdaily.com/960714/tecla-technology-and-clay-3d-printed-house-mario-cucinella-architects</a> ISSN 0719-8884
- 6. Peng Feng, Xinmiao Meng, Jian –Fei Chen, Leiping Ye, China, 2015.
- 7. Shakor P, Sanjayan J, Nazari A, Nejadi S. Modified 3D printed powder to cement-based material and mechanical properties of cement scaffold used in 3D printing. Constr Build Mater. 2017.
- 8. https://www.archdaily.com
- The best 11 3D Printed House Companies 3D Printing Entire Buildings, https://www.3dnatives.com/en/3d-printed-housecompanies-120220184/.
- 10. Waqar A, Othman I, Pomares JC. Impact of 3D Printing on the Overall Project Success of Residential Construction Projects Using Structural Equation Modelling. *International Journal of*

- Environmental Research and Public Health. 2023; 20(5):3800. https://doi.org/10.3390/ijerph20053800
- 11.Rodrigo, García-Alvarado. Architectural Diversity of Residential Buildings through Digital Design and Robotic Construction. Blucher Design Proceedings, (2023). doi: 10.5151/sigradi2022sigradi2022\_66
- 12.http://www.winsun3d.com/
- 13.https://medium.com/@roccojames84/from-concept-to-reality-the-step-by-step-process-of-3d-printing-a-house-dbd117efd1d9
- 14.https://geeksvalley.com/tutorial/3d-printer-software/?view=all
- 15.https://geeksvalley.com/tutorial/introduction-3d-printing/?view=all
- 16.https://luxuryav.net/TECLA%27s-first-3D-printed-house
- سلبيات \_الطباعة \_ثلاثية \_الأبعاد /mawdoo3.com سلبيات \_الطباعة \_ثلاثية \_الأبعاد /mawdoo3.com
- 18.https://www.archdaily.com/517378/iaac-invents-a-family-of-robots-to-3d-printstructures-of-any-size
- 19.https://www.archdaily.com/960714/tecla-technology-and-clay-3d-printed-house-mario-cucinella- architects>
  https://www.designboom.com/technology/tu-eindhoven-concrete/
- 20. https://www.designboom.com/technology/tu-eindhoven-concrete-3d-printer-06-28-2016/
- 21.https://www.alphasand.in/blog/3d-printed-house
- 22.https://www.xometry.com/resources/3d-printing/3d-printing-in-construction/

## دراسة تأثير تغير الحمل الميدروليكي و الأس الميدروجيني $p\mathcal{H}$ على مقدرة نبات عدس الماء لاستخلاص الكادميوم من الماء

الباحثة: شروق سعد - جامعة حمص- طالبة دكتوراه -قسم الهندسة البيئية - كلية الهندسة المدنية.

المشرف: د.نعيمة عجيب – جامعة حمص – كلية الهندسة المدنية – قسم الهندسة البيئية – اختصاص هندسة صحية.

المشرف المشارك: أ.د.سمير شمشم - جامعة حمص - كية الهندسة الزراعية - قسم التربة و استصلاح الأراضي - اختصاص علم أراضي

#### الملخص:

تم إجراء البحث في مخبر الهندسة البيئية بكلية الهندسة المدنية – جامعة حمص،حيث هدف البحث إلى دراسة كفاءة نبات عدس الماء في تخفيض تراكيز الكادميوم الموجود في المياه عند ثلاثة تراكيز (ا/mg/ (0.25-1-2 mg/)) لتحقيق هدف البحث تم تصميم حوضين بارتفاعين مختلفين  $(T_1=7\text{day}-)$  وباعتماد زمنين للمكث

تم تطبيق أحمال هيدروليكية سطحية عند زمني المكث،تم زراعة الحوضين بنبات  $T_2=15$ day عدس الماءوأخذ عينات عند درجتي للـ $pH_1=7.7$ ,  $pH_2=4.7$ )  $pH_1=7.7$ ,  $pH_2=4.7$ ). بينت نتائج القياسات المخبرية التي تم الحصول عليها أن نسبة إزالة الكادميوم كانت بحدود80.43عند العمق 25cm عند T=15day مكث قدره T=15day هيدروليكي T=15day هيدروليكي قدره T=15day كانت أعلى من المياه ذات درجة T=15النتائج التي تم التوصل إليها من المياه عند T=15

### دراسة تأثير تغير الحمل الهيدروليكي و الأس الهيدروجيني pH على مقدرة نبات عدس الماء الاستخلاص الكادميوم من الماء

تبين أن طريقة المعالجة باستخدام نبات عدس الماء،طريقة ممكن اعتمادها لاستخلاص الكادميوم من المياه الملوثة به، وخاصة عند المعاملة الأفضل ( $H=25cm-pH_1=7.7-T_2=15day$ ).

الكلمات المفتاحية: الاستخلاص - عدس الماء - الكادميوم- التحميل الهيدروليكي السطحي.

# Study the effect of changing hydraulic load and pH on the ability of duckweed to Phytoextraction cadmium from water

Researcher: Shorouk Saad - University of Homs - PhD student - Department of Architectural Engineering - Faculty of Civil Engineering.

Supervisor: Dr. Naima Ajeeb - University of Homs - Faculty of Civil Engineering - Department of Civil Engineering - Sanitary Engineering Specialization.

Supervisor: Prof. Samir Shamsham – University of Homs – Faculty of Agricultural Engineering – Department of Agriculture and Land Reclamation Specialization – Judicial Science Specialization

The research was conducted in the Environmental Engineering Laboratory at the Faculty of Civil Engineering – Al–Homs University, where the main objective of the research was to study the efficiency of duckweed in reducing cadmium concentrations in water at three concentrations (0.25-1-2 mg/l). In order to conduct the research, two basins were designed with different heights (H1=65cm, H2=25cm) and with a residence time ((T1=7-

T2=15day). Surface hydraulic loads were applied at the residence time. After planting the two basins with the plant and taking samples at values of (pH1=7.7, pH2=4.7), the results of the laboratory measurements obtained showed that the cadmium removal rate was about 80.43% at a depth of 25cm and after a residence time of T=15day and at a hydraulic load of 0.016m3/m2.d, and the efficiency of removing cadmium from water was at pH=7.7 It was higher than water with pH=4.7, so the results proved that the plant treatment method using duckweed is an economical method that can be adopted.

**Keywords**: Phytoextraction – duckweed – cadmium – surface hydraulic loading.

#### 1-المقدمة:

تمركزت المدن الصناعية في مناطق قريبة من مصادر مائية هامةورئيسة في سورية، كالمدينة الصناعية في حسياء – عدرا الصناعية في دمشق – الشيخ نجار في حلب وغيرها من المدن والمنشأت الصناعية الممتدة في مختلف مناطق القطر. تفتقر الجمهورية العربية السورية إلى الموارد المائية في كثير من مناطقها، لذا كان خيارالموارد غير التقليدية أمراً واجباً. من هنا كان لابد من معالجة مياه الصرف الصحي و الصناعي وإعادة استخدامها في مجالات مناسبة للاستفادة منها لدعم المصادر المائية التقليدية [3]. تعد المعادن الثقيلة من أهم الملوثات التي يجب أن تدرس و تعالج بعناية، بسبب درجة ثباتها العالية و فترات بقائها غير المحدد، إذ يمكن أن تنتقل إلى مسافات بعيدة عن مناطق نشوئها ويمكن أن تتضاعف تراكيز هذه العناصر خلال السلسلة الغذائية، لتصبح

## دراسة تأثير تغير الحمل الهيدروليكي و الأس الهيدروجيني pH على مقدرة نبات عدس الماء الاستخلاص الكادميوم من الماء

خطراً يهدد الكائنات الحية، ومصدراً لتسمم وخطراً كبيراً على الصحة [10]. انطلاقاً مما سبق لم يعد بالأمكان اختيار نظام معالجة مياه الصرف الصناعي على أساس الأهداف الأساسية للمعالجة، بل تعدى الأمر إلى ضرورة التدقيق في كفاية المعالجة، حسب الغرض من استخدام المياه بعد المعالجة.[3]

يعد الكادميوم Cdملوثاً خطيراً ،فهو ينتج بكميات كبيرة من صناعات متعددة (صناعة الخلايا الشمسية – السبائك –الطلاء الكهربائي – الصناعات البلاستيكية –صناعة البطاريات القابلة للشحن – صناعات الدباغة والأصباغ لقدرته على أنتاج اللون الأصفر والبرتقالي[17]. تشيرالدراسات أن ارتفاع نسبة الكادميوم في المياه يشكل خطراً على السلسة الغذائية.حيث يسبب أمراض في الكلية والرئتين والعظام [5].

تم سنة (2023) استخدام الحمأة الناتجة عن محطات معالجة مياه الصرف الصناعي والصحي في Zn > Cu > مقاطعة جيانغسو (الصين)،تبين النتائج وجود مستويات عالية من المعادن الثقيلة ح28-1150 ،154-2970 مقاطعة جيانغسو (الصين)،تبين النتائج وجود مستويات عالية من المعادن الثقيلة ح28-1150 ،154-2970 ما التواقع بين 270-270 ، 21 ما 2.77-0,21 ما التواقع وجود الزئبق والزنك والنحاس بدرجة مرتفعة جداً في الحمأة الناتجة عن مياه الصرف الصناعي، في حين كان النيكل والكادميوم والرصاص والكروم أكثر توازناً. هذا يتبع لنوع الصناعات الناتجة عنها.[4]

أظهرت دراسة سنة (2020) في جنوب أفريقيا قيماً لمياه الصرف الصناعي لكل من الكادميوم والنيكل والرصاص على التوالي (30.14-7.1-0.81) [13]

بينت نتائج تحليل مياه الصرف الصناعي سنة (2020) في أثيوبيا تجاوز كل من الكروم والكادميوم والرصاص الحدود المسموح بها (حسب مواصفات القياسية في أثيوبيا)وتراوحت القيم (1.04-30-0.08)على التوالي.[14]

اجريت في البرازيل عام (2010) دراسة حول كفاءة استزراع نبات عدس الماء باستخدام اربعة احواض مربوطة على التسلسل عمق كل حوض 0.9 متر ومساحته 2.57 متر مربع وحجمه 2.3 متر مكعب مع غزارة 2.9 م3/يوم اي بتحميل هيدروليكي 1.1 م3/م2. يوم كان زمن المكث يوم واحد لكل حوض،حيث وصلت ازالة فوسفات و النتروجين 51.8 %، 40.5 % على التوالي.[18]

تم اجراء دراسة سنة (2016) في محطة الجنديرية في اللاذقية واستزراع نبات عدس الماء بوزن جاف 2 kg/m² في حوض ابعاده 2.25x5.5x6.5 علماً ان عمق المياه في الحوض كان 1.75 m. وصلت كفاءة ازالة الفوسفور 34.73% وعزى سبب هذا الانخفاض الى ازدياد عمق الماء حيث اوردت المراجع أن العمق الأمثل لأحواض عدس الماء هي من 0.4 الى 0.9 متر وتتخفض الكفاءة مع ازدياد العمق [3].

تؤكد احدى الدراسات كفاءة المعالجة النباتية بشكل عام وتتاثر بالعوامل المناخية فيما يخص عدس الماء اوردت المراجع قدرته على التأقلم مع مختلف الظروف حيث يمتاز بسرعة نمو كبيرة ويمكنه مضاعفة الكتلة الناتية خلال 48 ساعة وبينت المراجع أنه يضاعف المساحة المغطاة في الحوض خلال اربع ايام[9] .

🗷 الحدود المسموح بها لبعض المعدن الثقيلة في المياه المعالجة المسموح بصرفها إلى البيئة المائية حسب م.ق.س 2009/3474 تختص هذه المواصفة القياسية السورية بتحديد الاشتراطات والمتطلبات والقيود المفروضة على تصريف المياه المعالجة الصناعية،الخارجة من المنشآت الصناعية أومحطات المعالجة التابعة لها إلى البيئة المائية) [1],[2]

دراسة تأثير تغير الحمل الهيدروليكي و الأس الهيدروجيني pH على مقدرة نبات عدس الماء الكادميوم من الماء

مستقبلة)	ة المائية ال	ستقبلات (البيئ	أنواع الد	الواحدة	الرمز	المؤشرات
قنوات	الأنهار	مسطحات	بحار			
الصرف		مائية				
الزراعية						
0.05	0.05	0.05	0.05	mg/l	Cd	الكادميوم

#### 2- أهداف البحث:

- دراسة تأثير تغير التحمل الهيدروليكي السطحي والأس الهيدروجيني في كفاءة المعالجة النباتية ،باستخدام نبات عدس الماء، في معالجة المياه الملوثة بالكادميوم.
- دراسة مقدرة نبات عدس الماء في مراكمة الكادميوم الموجودة في مياه مشابهة بالتلوث لمياه
   الصرف الصناعي لمدينة حسياء الصناعية.

#### 3-مواد البحث وطرائقه:

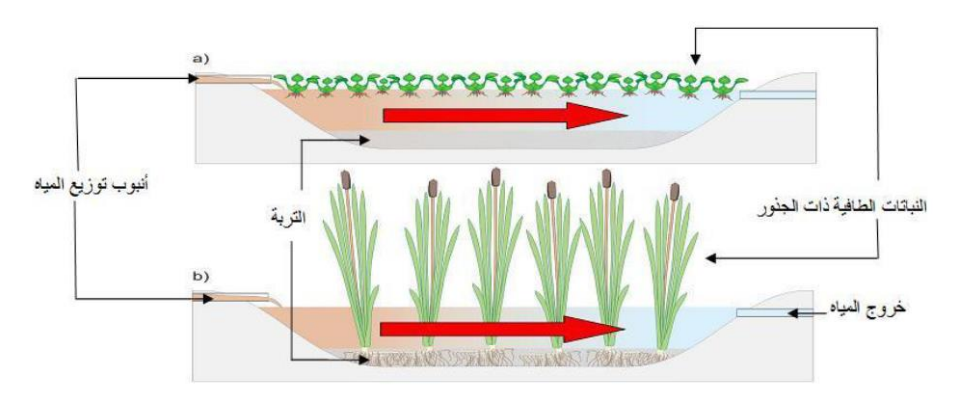
#### الأراضى الرطبة المصطنعة:

هي عبارة عن تصاميم هندسية تستخدم العمليات الطبيعية من النباتات والترب وتجمعانها البكترية، وتعد مناسبة جداً للمعالجة في محطات المعالجة، بسبب اقتصاديتها وكلفة تشغيلها المنخفضة وفعاليتها،إضافة إلى زيادة المساحات الخضراء في المناطق المقامة بها، وتصنف أحواض النباتات المستخدمة في معالجة مياه الصرف بناءً على مسار التدفق عبر أنظمة CW،وهناك أربعة أنظمة مستعملة في معالجة المياه:

- الأحواض ذات الجريان السطحي الحر FWS) Free Water Surface
  - الأحواض ذات الجريان السطحي الأفقى Horizontal Flow (HF).

- الأحواض ذات الجريان السطحي الشاقولي VF) Vertical Flow (VF).
  - الأحواض ذات الجريان المنتوع (المهجن) "أفقي+ شاقولي"

والأحواض المستخدمة في البحث هي الأحواض ذات الجريان السطحي الحر: وهي أحواض ضحلة أو قنوات تحتوي على طبقة من التربة (بسماكة 30-40cm) تزرع فيها نباتات عدة، أكثر النباتات شيوعاً هي: (Duck weed, Typha)، ويوجد فوق طبقة التربة طبقة مائية (عمقها 20-40cm) يتعرض للغلاف الجوي والإشعاع الشمسي، يتدفق الماء عبر جذوع النبات ويتلامس مع الطبقة العليا من التربة وأجزاء النبات، مما يسمح بإزالة الملوثات من خلال مختلف العمليات الفيزيائية والبيولوجية والكيميائية[15]، ويبين الشكل (1) حوض معالجة بالنباتات ذات الجريان السطحي الحر.



الشكل(1): حوض معالجة بالنباتات ذات الجريان السطحى الحر

a) : حوض معالجة بالنباتات طافية على سطح الماء وجذور حرة.

b) :حوض معالجة بالنباتات ذات السوق فوق السطح وجذور مزروعة ضمن تربة الحوض.

تميل هذه الأحواض إلى جذب البعوض، خاصةً عندما يظل الماء شبه راكد، كما تتطلب مساحة أعلى مقارنة بأنواع أخرى بخصائص مياه الصرف الصحي نفسها. يعمل هذا النظام بشكلٍ جيد في إزالة المواد الصلبة العالقة (TSS)، والطلب الكيميائي الحيوي للأوكسجين  $BOD_5$  وإزالة النتروجين N ومسببات الأمراض، وإزالة نسبة كبيرة من المعادن الثقيلة وإزالة الفوسفور [9].

#### نبات عدس الماء (Lemna minor):

ينتمي للعائلة اللمينية (Lemnaceae) من رتبة Arales ذوات الفلقة الواحدة،واسمه بالإنكليزية (Duck weed)،هونبات صغير طاف،يتجمع في مجموعات تتكون 2-5 نباتات، قطره من 3-6

## دراسة تأثير تغير الحمل الهيدروليكي و الأس الهيدروجيني pH على مقدرة نبات عدس الماء الكادميوم من الماء

mm شبه كروي أواهليلجي مسطح على الوجهين، يتتشر في المياه العذبة الراكدة في دمشق وحمص والقنيطرة واللاذقية[3]، ويبين الشكل (2) نبات عدس الماء.



الشكل (2): نبات عدس الماء

يعتمد نمو عدس الماء على عوامل عدة:

- درجة الحرارة المثالية للنمو (25–15) درجة مئوية ولكن ممكن أن ينمو في درجة حرارة أقل من 7 درجة مئوية.
  - ينمو ضمن مجال [9−4] . pH
- يؤدي الحصاد دوراً كبيراً في كفاءة الإزالة والنمو، حيث يزداد النمو مع الحصاد اليومي و بالتالي تزداد كفاءة المعالجة.والوقت المثالي للحصاد كل أربع أيام حتى لا يتموت النبات ويترسب.

4-الدراسة التجريبية: تم أخذ عينات من مياه الصرف الصناعي والصحي من محطة الصرف الصحى الناتج عن المدينة الصناعية بحسياء في حمص.

#### تحاليل عينات المياه و النبات الملوثة:

- تم تقدير الكميات الكلية للمعادن الثقيلة في مخبر الهندسة البيئية في كلية الهندسة المدنية حيث تم هضم عينات النبات باستخدام الماء الملكي، ثم استعمال المستخلص في تقدير الكادميوم Cd بواسطة جهاز الامتصاص الذري اللهبي نوع (SHimadza AA 6800)وعبر عن النتائج بوحدات جزء بالمليون.

تقدير pH باستخدام جهاز pH METER. يبين الجدول(1) نتائج قياس عينات مياه صرف من محطة صرف المدينة الصناعية في حسياء

الجدول(1) نتائج قياس عينات مياه صرف من محطة صرف المدينة الصناعية في حسياء

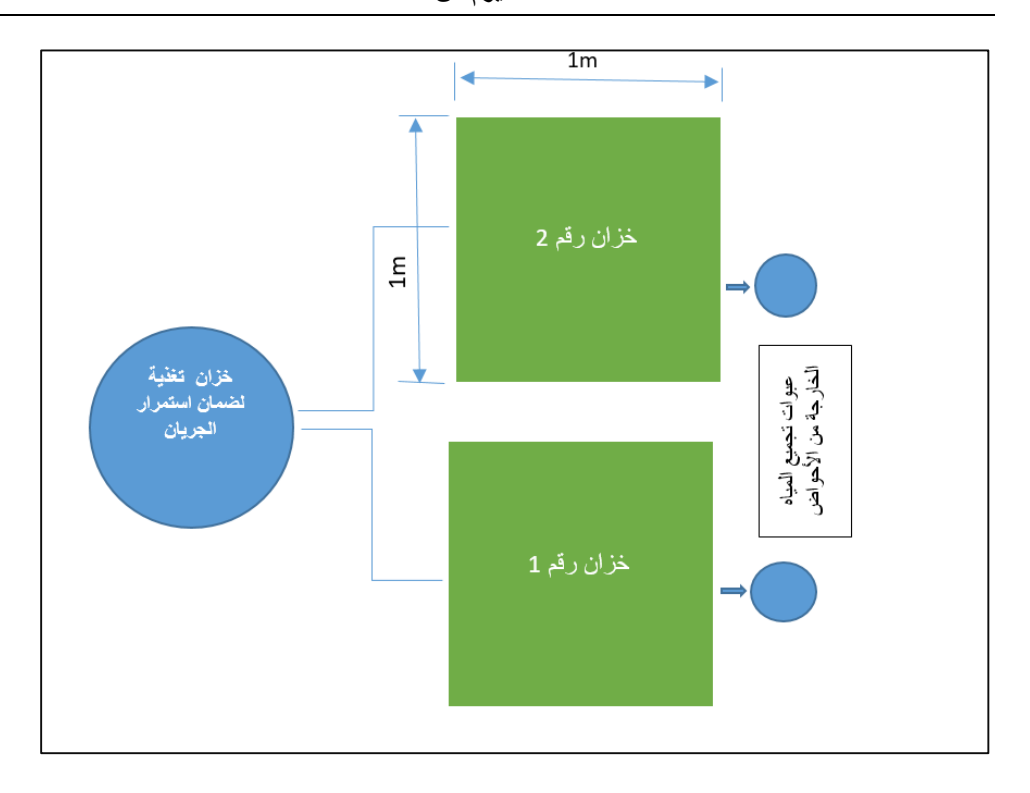
المواصفة	المواصفة	میاه	میاه	الواحدة	المؤشر
القياسية	القياسية	صرف	صرف		
السوريةرقم	السوريةرقم	صناع <i>ي</i>	صحي		
2008/2580	2009\3474				
9.5-6.5	9-6	7.8	7.6	-	рН
0.05	0.05	0.25	0. 22	mg\l	Cd

سيتم تلويث المياه مخبرياً بمقادير تلوث تحاكى التلوث الموجود في مياه الصرف الصناعي في حسياء، ثم زيادة تركيزه بقيم أكبر (ا\makermall) ودراسة تأثير التلوث في نظام عمل معالجة المياه باستخدام نبات عدس الماء (Duckweeds). تمت الدراسة بواسطة محطة تجربية عبارة عن خزانين ماء بارتفاعات مختلفة (ارتفاع الأول 65cm – ارتفاع الثاني 25cm) بمساحة سطح 1m<sup>2</sup> يدخل الماء إلى الخرانات بواسطة انابيب تغذية وتتم التغذية من خزان تجميع لضمان استمرارية الجريان وعند المخرج تم وضع سكور عند ارتفاع الماء المطلوب للدراسة. كما في الشكل (3,4,5) بيبن الشكل (3) النموذج التجريبي في مخبر الهندسة البيئية بيبين الشكل (4) مسقط أفقى للأحواض المستخدمة في التجربة،يبين الشكل(5) مقطع طولي في الأحواض

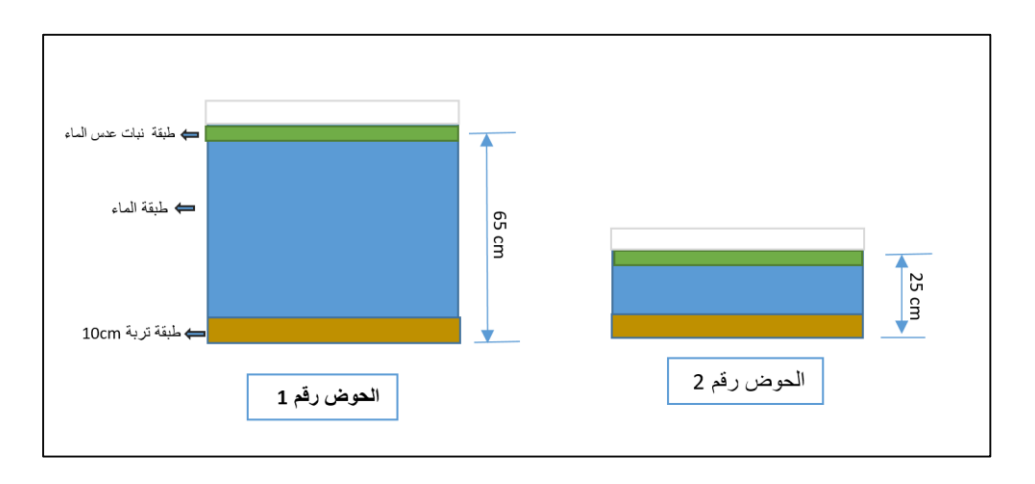


الشكل(3) النموذج التجريبي في مخبر الهندسة البيئية

## دراسة تأثير تغير الحمل الهيدروليكي و الأس الهيدروجيني pH على مقدرة نبات عدس الماء الكادميوم من الماء



الشكل(4) مسقط أفقى للأحواض المستخدمة في التجربة



الشكل(5) مقطع طولي في الأحواض

#### -تصميم الأحواض:

تم تصميم الأحواض وفق العوامل التصميمية التالية:

q=Q/A	التحميل الهيدروليكي
	السطحي
Q=V/T	الغزارة
(1*1*0,65) m	أبعاد الحوض الأول
$0.65 \mathrm{m}^3$	حجم الحوض
T <sub>1</sub> =7day	بفرض زمن المكث
$Q=V/T=0.65/7=0.093 m^3/d$	غزارة الحوض
$q=Q/A=0.093/1=0.093 \text{ m}^3/\text{m}^2.d$	التحميل الهيدروليكي
- , , , ,	السطحي
(1*1*0,65) m	أبعاد الحوض الأول
$0.65 \mathrm{m}^3$	حجم الحوض
$T_2=15$ day	بفرض زمن المكث
$Q=V/T=0.65/15=0.043 m^3/d$	غزارة الحوض
$q=Q/A=0.043/1=0.043 \text{ m}^3/\text{m}^2.d$	التحميل الهيدروليكي
	السطحي
(1*1*0,25) m	أبعاد الحوض الثاني
$0.25 \mathrm{m}^3$	حجم الحوض
$T_1 = 7 day$	بفرض زمن المكث
$Q=V/T=0.25/7=0.036 m^3/d$	غزارة الحوض
$q=Q/A=0.036/1=0.036m^3/m^2.d$	التحميل الهيدروليكي
	السطحي
(1*1*0,25) m	أبعاد الحوض الثاني

## دراسة تأثير تغير الحمل الهيدروليكي و الأس الهيدروجيني pH على مقدرة نبات عدس الماء الكادميوم من الماء

 $0.25 m^3$  حجم الحوض  $T_2 = 15 day$  بفرض زمن المكث  $Q = V/T = 0.25/15 = 0.016 m^3/d$   $q = Q/A = 0.016/1 = 0.016 \ m^3/m^2$ . d

كفاءة إزالة الكادميوم 8% [(قيمة الكادميوم عند المدخل – قيمة الكادميوم عند المخرج)/قيمة الكادميوم عند المدخل 100\*

عامل التراكم الحيوي Bioaccumulation Factor)BF النباتات المزروعة عامل التراكم الحيوي = تركيز العنصر في أنسجة النباتية (الأوراق)/تركيز العنصر في المياه المزروعة فيها

 $T_1$ =7day عند زمن عند الجدول (2) العوامل التصميمية للأحواض عند زمن مكث

 $T_1=7$ day عند زمن مكث التصميمية للأحواض عند زمن مكث العوامل التصميمية للأحواض

جرعة البدار من نبات عدس الماء gr	التحميل الهيدروليكي السطحي m <sup>3</sup> /m <sup>2</sup> .d	زمن المكث day	الغزارة الداخلة للحوض m <sup>3</sup> /d	حجم الماء m <sup>3</sup>	رقم الحوض
500	0.093	7	0.093	0.65	1
500	0.036	7	0.036	0.25	2

 $T_1$ =15day عند زمن مكث التصميمية للأحواض عند زمن مكث العوامل التصميمية للأحواض

 $T_2=15$ day عند زمن مكث للأحواض التصميمية للأحواض عند زمن مكث

جرعة البدار من نبات عدس الماء gr	التحميل الهيدروليكي السطحي m <sup>3</sup> /m <sup>2</sup> .d	زمن المكث day	الغزارة الداخلة للحوض m <sup>3</sup> /d	حجم الماء m	رقم الحوض
500	0.043	15	0.043	0.65	1
500	0.016	15	0.016	0.25	2

#### 5- نتائج التجارب:

(التجربة الأولى): تمت زراعة عدس الماء في مياه ملوثة بالكادميوم بثلاث تراكيز -1.02-0.25) سماد باستخدام سماد pH=7.7 وتم تسميد المياه باستخدام سماد  $T_1=7$ day وكان زمن المكث عضوي، يبين الجدول (4) نتائج تحليل المياه لعنصر الكادميوم مع زمن مكث T<sub>1</sub>=7day و PH=7.7وكفاءة الإزالة %E.

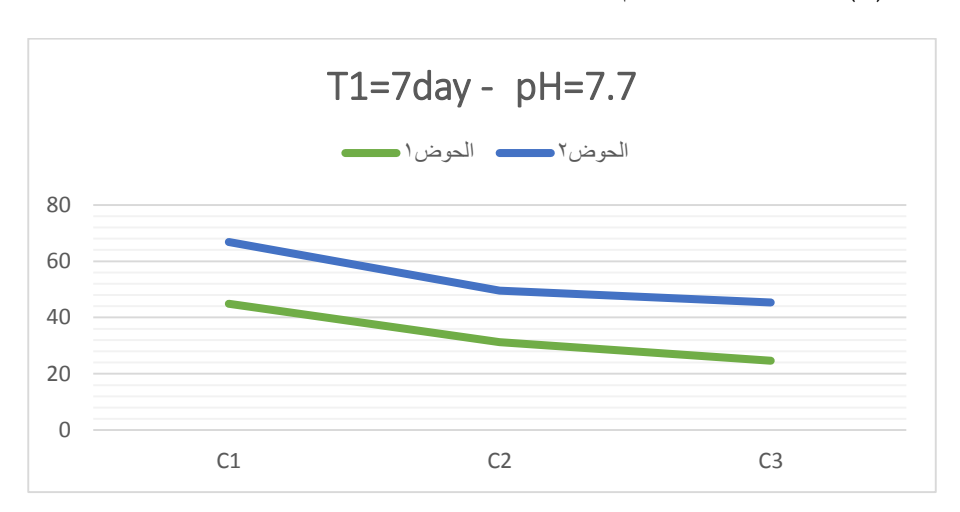
الجدول (4) نتائج تحليل المياه لعنصر الكادميوم مع زمن مكث  $T_1=7$  و  $T_1=7$  و وكفاءة ועונה E%

بض ذو	مخرج الحو	مخرج الحوض ذو		مدخل	تاريخ أخذ	تاريخ
يدروليكي	التحميل اله	التحميل الهيدروليكي		الأحواض	العينة	زراعةالعينة
حي	السط	السطحي		التجريبية		
(0.036	$m^3.m^2 d)$	(0.093 m <sup>3</sup> .m <sup>2</sup> \d)				
Е%	(Cd)mg\l	Е%	(Cd)mg\l	(Cd)mg\l		
66.67	0.080	44.91	0.1322	0.24	5-11-2023	20 10 2022
67.5	0.078	44.91	0.1321		5-11-2023	29-10-2023

دراسة تأثير تغير الحمل الهيدروليكي و الأس الهيدروجيني pH على مقدرة نبات عدس الماء لاستخلاص الكادميوم من الماء

66.25	0.081	44.91	0.1321			
66.80	-	44.91	-	_	Effici	ency%
49.60	0.514	31.26	0.7011	1.00		
49.59	0.515	31.26	0.7012	1.02	20-12-2023	13-12-2023
49.6	0.514	31.26	0.7011			
					Efficiency%	
49.60	-	31.26	_	_	Effici	ency%
49.60	1.110	31.26 24.63	1.5311	2 02	Effici	ency%
	1.110 1.111		1.5311 1.5310	2.03	6-2-2024	30-1-2024
45.32		24.63		2.03		

يبين الشكل (6) كفاءة إزالة الكادميوم من مياه الصرف عند ثلاث تراكيز للتلوث.



الشكل(6) كفاءة إزالة الكادميوم من مياه الصرف عند ثلاث تراكيز للتلوث

بيبن المخطط أن كفاءة إزالة الكادميوم من المياه تتخفض كلما زادت نسبة الكادميوم حيث بلغت بيبن المخطط أن كفاءة إزالة 44.91 عند التحميل الهيدروليكي السطحي ( $0.093 \, \text{m}^3.\text{m}^2$ 

وبلغت كفاءة الإزالة %66.80 عند التحميل الهيدروليكي السطحي (0.036 m3.m2\d) عند التركيز الأدني.

 $T_1$ =7day مع زمن مكث  $T_1$ =7day و يبين الجدول (5) نتائج تحليل النبات لعنصر الكادميوم PH=7.7 ومعامل التراكم الحيوي

الجدول (5) نتائج تحليل النبات لعنصر الكادميوم Cd مع زمن مكث النبات لعنصر الكادميوم PH=7.7 ومعامل التراكم الحيوى

ِض ذو	مخرج الحو	رض ذو	مخرج الحو	تاريخ أخذ	تاريخ	
<u>درواليكي</u>	التحميل الهيدروليكي		التحميل الهيدروليكي		زراعةالعينة	
<u>ئي</u>	السطحي		السط			
(0.036	$m^3.m^2 d)$	(0.093	$m^3.m^2 d)$			
,	,	•	,			
DE	(Cd\ma\Ka	DE	(Cd)ma\Ka			
BF	(Cd)mg\Kg	BF	(Cd)mg\Kg			
0.62	0. 149	0.4	0.107			
0.6	0.150	0.4	0.105	5-11-2023	29-10-2023	
0.6	0.151	0.4	0.107			
0.6	-	0.4	-	Avera	age BF	
0.5	0.492	0.3	0.305			
0.55	0.495	0.3	0.305	20-12-2023	13-12-2023	
0.49	0.491	0.28	0.301			
0.53	_	0.29	-	Avera	age BF	
0.4	0.901	0.24	0.495			
0.4	0.900	0.22	0.492	6-2-2024	30-1-2024	
0.4	0.898	0.22 0.491				
0.4	0.4 - 0.22 -		_	Avera	age BF	

## دراسة تأثير تغير الحمل الهيدروليكي و الأس الهيدروجيني pH على مقدرة نبات عدس الماء لاستخلاص الكادميوم من الماء

بيبن الجدول (5) أن قيم معامل التراكم الحيوي BF لعينات النبات كانت مرتفعة، عند التحميل الهيدروليكي السطحي (0.036 m<sup>3</sup>.m<sup>2</sup>\d)، وبالتالي كلما قل ارتفاع الماء في الحوض كلما زادت مقدرة النبات على مراكمة الكادميوم بشكل أفضل.

#### التجربة الثانية:

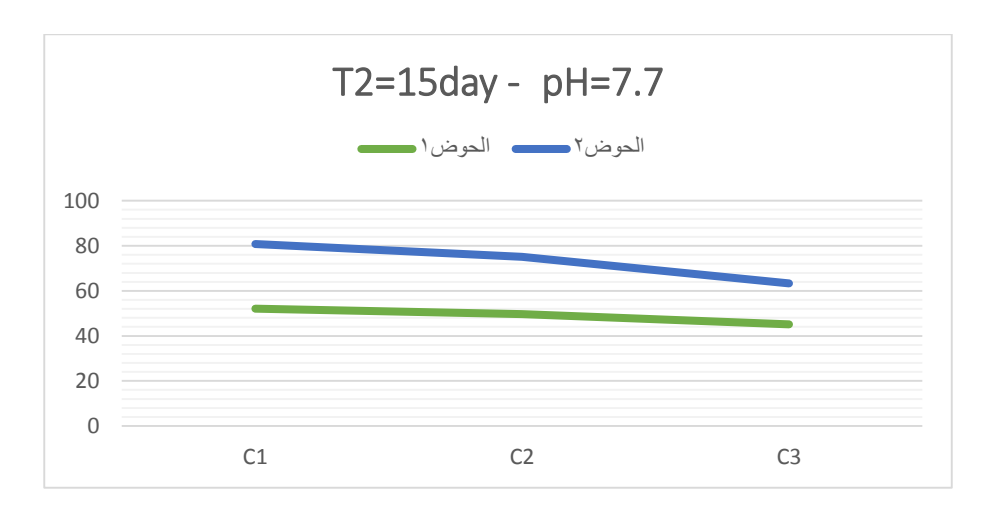
تمت زراعة عدس الماء في مياه ملوثة بالكادميوم بثلاث تراكيز (-2.05-0.2-1.02-0.2) وكان زمن المكث  $T_2=15$  و  $T_2=15$  و يبين الجدول ( $T_2=15$  المكث  $T_2=15$  و كفاءة الإزالة  $T_2=15$  و كفاءة الإزالة  $T_2=15$ 

PH=7.7 و  $T_2=15$  مع زمن مكث  $T_2=15$  و  $T_2=15$  و

رض ذو	مخرج الحو	وض ذو	مخرج الحوض ذو		تاريخ أخذ	تاريخ زراعة
يدروليكي	التحميل الهيدروليكي التحميل الهيدروليكي		الأحواض	العينة	العينة	
حي	السط	حي	السط	التجريبية		
(0.016	$m^3.m^2 d$	(0.043	$m^3.m^2 d$			
E%	(Cd)mg\I	Е%	E% (Cd)mg\l			
80.83	0.046	52.08	0.115			
80.83	0.046	52.09	0.113	0.25	20-11-2023	6-11-2023
80.84	0.047	52.08	0.115			
80.83	_	52.08	_	-	Efficie	ency%
75.09	0.254	49.90	0.511			
75.10	0.255	49.90	0.511	1.02	4-1-2024	21-12-2023
75.29	0.252	49.44	0.516			

سلسلة العلوم الهندسية المدنية والمعمارية شروق سعد دنعيمة عجيب أ.د.سمير شمشم						مجلة جام المجلد 47 العدد	١
75.16	-	49.74	-	-	Efficie	ency%	
63.25	0.746	45.22	1.112				
63.34	0.744	45.12	1.114	2.03	21-2-2024	7-2-2024	
63.34	0.744	45.12	1.114				
63.31	-	45.15	_	_	Efficie	ency%	

يبين الشكل (7) كفاءة إزالة الكادميوم من مياه الصرف عند ثلاث تراكيز للتلوث عند زمن مكث  $T_2=15$ day.



الشكل (7) كفاءة إزالة الكادميوم من مياه الصرف عند ثلاث تراكيز للتلوث عند زمن مكث  $T_2=15$  و  $T_2=15$ 

نستنتج من التجربة أنه كلما قل عمق المياه كلما زادت كفاءة الإزالة، وكلما زاد زمن المكث زادت كفاءة الإزالة ،وفي جميع المعاملات المدروسة انخفضت كفاءة الإزالة مع ارتفاع قيمة التلوث في المياه.وبالتالي مع زيادة التلوث نحتاج إلى زمن مكث أكبر للوصول إلى الكفاءة المطلوبة.باستثناء الحالة الأولى عند التلوث (0.25ppm(cd))كان الزمن مثالي للوصول إلى الحدود المسموحة حسب المواصفة القياسية السورية. يبين الجدول(7) نتائج تحليل النبات لعنصر الكادميوم Cd ومعامل التراكم الحيوي BF و7.7 و7.5

الجدول (7) نتائج تحليل النبات لعنصر الكادميوم Cd مع زمن مكث  $T_2=15$  و PH=7.7 ومعامل التراكم الحيوى

التحميل	الحوض ذو التحميل		الحوض ذو	تاريخ أخذ	تاريخ زراعة
السطحي	الهيدروليكي السطحي		الهيدروليكي السطحي		العينة
(0.016	$(0.016 \text{ m}^3.\text{m}^2\text{d})$		$m^3.m^2 d$		
BF	(Cd)mg\Kg	BF	(Cd)mg\Kg		
0.8	0.202	0.5	0.134		
0.79	0.199	0.5	0.132	20-11-2023	6-11-2023
0.78	0.197	0.5	0.130		
0.9	-	0.5	-	Avera	ige BF
0.75	0.763	0.5	0.506		
0.73	0.761	0.52	0.508	4-1-2024	21-12-2023
0.76	0.766	0.5	0.505		
0.74	_	0.5	_	Avera	ige BF
0.6	1.283	0.45	0.915		
0.6	1.281	0.44	0.910	21-2-2024	7-2-2024
0.6	1.284	0.44 0.912			
0.6 -		0.44	_	Avera	ige BF

بين الجدول (7) أن قيم معامل التراكم الحيوي للنبات في التجربة 2 عند التلوث 0.25ppm وارتفاع المياه بمقدار 25cm كانت قريبة من الواحد بالتالي فإن النبات كان مراكماً جيداً للكادميوم.

#### التجربة الثالثة:

تمت زراعة عدس الماء في مياه ملوثة بالكادميوم بثلاث تراكيز (0.22-1.01-2.04) وكان زراعة عدس الماء في مياه ملوثة بالكادميوم بثلاث تراكيز ( $T_1=7$ day زمن المكث زمن مكث

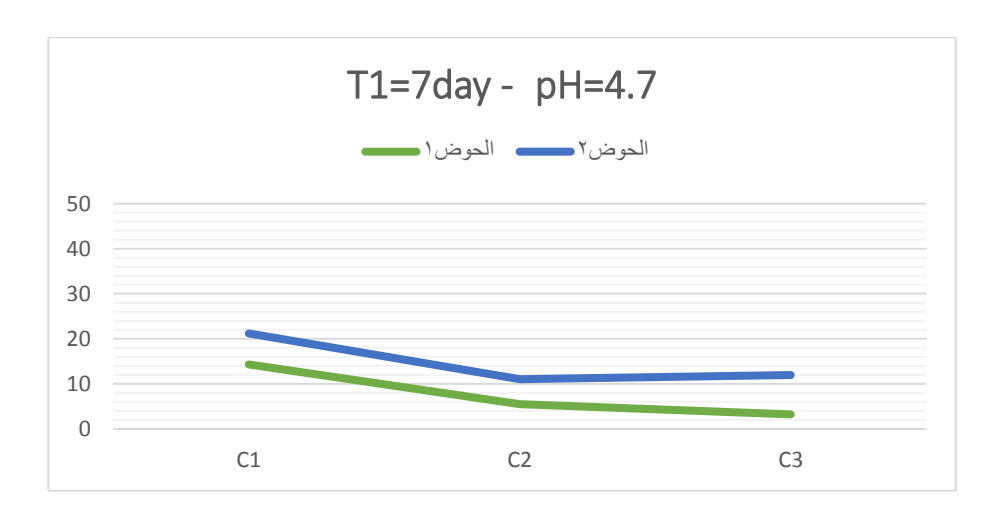
pH=4.7 و  $T_1=7$ day مع زمن مكث  $T_1=7$ day و كناءة الإزالة  $T_1=7$ day مع زمن مكث  $T_1=7$ day وكفاءة الإزالة  $T_1=7$ 

pH=4.7 و  $T_1=7day$  مع زمن مكث  $T_1=7day$  و  $T_1=7day$  و  $T_1=7day$  و كفاءة الإزالة  $T_1=7day$  وكفاءة الإزالة  $T_1=7day$ 

وض ذو	مخرج الحو	مخرج الحوض ذو مخرج		مدخل	تاريخ أخذ	تاريخ زراعة	
التحميل الهيدروليكي		التحميل الهيدروليكي		الأحواض	العينة	العينة	
حي	السط	حي	السط	التجريبية			
(0.036	$m^3.m^2 d$	(0.093	$m^3.m^2 d$				
E%	(Cd)mg\l	Е%	(Cd)mg\l	(Cd)mg\l			
20.45	0.175	14.09	0.189				
21.36	0.173	14.54	0.188	0.22	28-11-2023	21-11-2023	
21.81	0.172	14.09	0.189				
21.21	-	14.31	-	-	Efficie	ency%	
10.89	0.900	5.30	0.956	1.01			
11.48	0.894	5.64	0.953	1.01	14-1-2024	7-1-2024	
10.79	0.901	5.44	0.955				
11.05	-	5.46 -		-	Efficie	ency%	
11.81	1.799	3.08	1.977	2.04	20. 2. 202.1	21 2 202 /	
11.91	1.797	3.28	1.973	2.04	29-2-2024	21-2-2024	

دراسة تأثير تغير الحمل الهيدروليكي و الأس الهيدروجيني pH على مقدرة نبات عدس الماء الكادميوم من الماء

12.05	1.794	3.18	1.975			
11.92	_	3.18	_	_	Efficie	ency%



الشكل (8) كفاءة إزالة الكادميوم من مياه الصرف عند ثلاث تراكيز للتلوث زمن مكث  $T_1=7$ day

تبين النتائج انخفاض كفاءة إزالة الكادميوم من المياه،حيث بدأت النبات بتماوت في الوسط الحمضي بعد 6 أيام، وكان ذلك أكثر قوة في الحوض الثاني ذو الارتفاع 25cm حيث ماتت النباتات بشكل كامل،على الرغم من أن الدراسات المرجعية تشير إمكانية نبات عدس الماء قادر على النمو في الوسط الحمضي.

pH=4.7 و  $T_1=7$ day مع زمن مكث  $T_1=7$  و  $T_1=7$  و معامل التراكم الحيوي  $T_1=7$ 

pH=4.7 و  $T_1=7$ day مع زمن مكث  $T_1=7$  و  $T_1=7$  و  $T_1=7$  و  $T_1=7$  و  $T_1=7$  و  $T_1=7$  و معامل التراكم الحيوي

الحوض ذو التحميل		ِ التحميل	الحوض ذو	تاريخ أخذ	تاريخ زراعة
السطحي	الهيدر وليكي السطحي		الهيدروليكي السطحي		تاريخ زراعة العينة
$(0.036 \text{ m}^3.\text{m}^2\text{d})$		(0.093	$m^3.m^2 d)$		
BF	(Cd)mg\Kg	BF	(Cd)mg\Kg		
0.2	0.043	0.13	0.030		
0.18	0.040	0.13	0.031	28-11-2023	21-11-2023
0.18	0.041	0.15	0.033		
0.19	_	0.14	_	Avera	ige BF
0.1	0.106	0.05	0.054		7-1-2024
0.1	0.103	0.05	0.051	14-1-2024	
0.1	0.104	0.05	0.050		
0.1	_	0.05	_	Avera	ige BF
0.1	0.242	0.03	0.063		
0.1	0.241	0.03	0.061	29-2-2024	21-2-2024
0.1	0.241	0.03	0.060		
0.1	_	0.03	_	Avera	ige BF

قيم معامل التراكم الحيوي كانت في التجربة 3 قليلة جدا وبالتالي، النبات غير قادر على مراكمة المعدن و النمو في الوسط الحمضي.

#### التجربة الرابعة:

## دراسة تأثير تغير الحمل الهيدروليكي و الأس الهيدروجيني pH على مقدرة نبات عدس الماء لاستخلاص الكادميوم من الماء

تمت زراعة عدس الماء في مياه ملوثة بالكادميوم بثلاث تراكيز (0.22-1.02-2.01) وكان زمن المكث زمن مكث  $T_2=15$ day و

pH=4.7 و  $T_2=15$ day مع زمن مكث  $T_2=15$  و  $T_2=15$ 

الجدول (10) نتائج تحليل المياه لعنصر الكادميوم Cd مع زمن مكث  $T_2$ =15day وكفاءة الإزالة E%

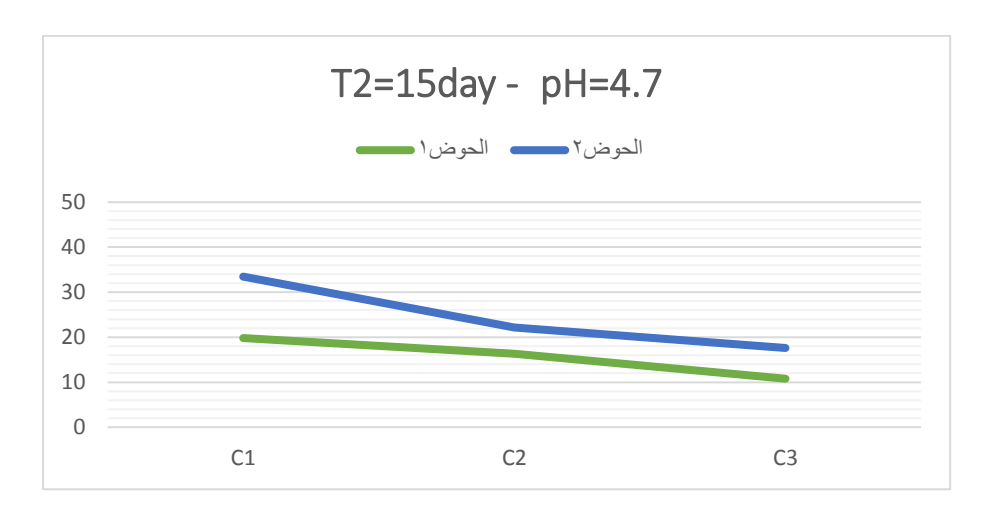
مخرج الحوض ذو		ەض دە	مذح الد	مدخل	تاريخ أخذ	تاريخ زراعة
		مخرج الحوض ذو			_	_
يدر وليكي	التحميل اله	يدروليكي	التحميل اله	الأحواض	العينة	العينة
حي	السط	حي	السط	التجريبية		
(0.016	$m^3.m^2 d$	(0.043	$m^3.m^2 d$			
E%	(Cd)mg\l	Е%	(Cd)mg\I	(Cd)mg\l		
32.72	0. 148	20.90	0. 174	0. 22		
34.54	0.144	19.54	0.177	0. 22	12-12-2023	29-11-2023
33.18	0.147	19.90	0.178			
33.48	_	19.84	-	-	Efficie	ency%
22.15	0.794	16.17	0.855	1.02		
22.25	0.793	16.27	0.854	1.02	29-1-2024	15-1-2024
22.05	0.795	16.47	0.852			
22.15	-	16.30	-	-	Efficie	ency%
17.71	1.654	10.95	1.794			
17.66	1.655	10.49	1.799	2.01	17-3-2024	3-3-2024
17.51	1.658	10.89	1.791			

والمعمارية	العلوم الهندسية المدنية	سلسلة
أ.د.سمير شمشم	د نعيمة عجيب	شروق سعد

مجلة جامعة حمص المجلد 47 العدد 8 عام 2025

,				•	1
17.62	-	10.77	-	-	Efficiency%

يبين المخطط(4) كفاءة إزالة الكادميوم من مياه الصرف عند ثلاث تراكيز للتلوث زمن مكث  $T_2=15$ day.



الشكل (9) كفاءة إزالة الكادميوم من مياه الصرف عند ثلاث تراكيز للتلوث زمن مكث  $T_2=15$  و  $T_2=15$ 

تبين النتائج أن قيمة كفاءة الإزالة في التجربة الرابعة كانت أعلى من التجربة الثالثة بسبب زيادة مدة المكث مع استمرار الحصاد كل يومين، لكنها في أفضل الحالات لم تتجاوز 33.5%. يبين الجدول (11) نتائج تحليل النبات من الكادميوم Cd مع زمن مكث  $T_2=15$  و  $T_2$ 

pH=4.7 و  $T_2=15$ day مع زمن مكث  $T_2=15$  و  $T_2=15$ 

الحوض ذو التحميل	الحوض ذو التحميل	تاريخ أخذ	تاريخ زراعة
الهيدروليكي السطحي	الهيدروليكي السطحي	العينة	العينة
$(0.016 \text{ m}^3.\text{m}^2\text{d})$	$(0.043 \text{ m}^3.\text{m}^2\text{d})$		

دراسة تأثير تغير الحمل الهيدروليكي و الأس الهيدروجيني pH على مقدرة نبات عدس الماء لاستخلاص الكادميوم من الماء

BF	(Cd)mg\Kg	BF	(Cd)mg\Kg		
0.3	0.07	0.2	0.042		
0.3	0.08	0.2	0.42	12-12-2023	29-11-2023
0.3	0.07	0.2	0.43		
0.3	-	0.2	-	Avera	ige BF
0.22	0.224	0.16	0.166		
0.22	0.224	0.16	0.164	29-1-2024	15-1-2024
0.22	0.227	0.16	0.168		
0.22	-	0.16	-	Avera	ige BF
0.1	0.220	0.09	0.200		
0.1	0.222	0.1	0.205	17-3-2024	3-3-2024
0.1	0.225	0.1	0.201		
0.1	-	0.1	-	Avera	ige BF

قيم معامل التراكم الحيوي قليلة جدا وبعيدة عن الواحد، بالتالي كان نبات عدس الماء، ليس مراكماً جيداً في الوسط الحمضي.

#### 6-النتائج و مناقشتها:

بينت نتائج قياس كفاءة إزالة الكادميوم من المياه مايلي:

مع زمن مكث -1 حقق النبات نسبة إزالة للكادميوم 80.84% عند العمق 70.000 مع زمن مكث -1 حقق النبات نسبة إزالة للكادميوم 70.000 مع زمن مكث -1 حقق النبات نسبة المكادميوم 70.000 مع زمن مكث -1 حقق النبات نسبة المكادميوم أولاد المكادميوم المكادم المكادميوم المكادم المكادميوم المكادم ال

- -2 كان نبات عدس الماء مراكم جيد للكادميوم،-2 لكادميوم، مع زمن مكث مناسب حيث وصلت قيمة معامل التراكم الحيوي إلى قيم قريبة من الواحد عند العمق 25cm ، مع زمن مكث T=15day تحميل هيدروليكي m².d .0.016m³/m².d.
  - 3- كفاءة إزالة الكادميوم من المياه عند PH =7.7 كانت أعلى من المياه ذات A.7= pH -4.7.

#### 7-الاستنتاجات والمقترحات:

- يمكن استخدام نبات عدس الماء في معالجة مياه صرف الصحية والصناعية في محطة المنطقة الصناعية في حسياء-حمص،حيث كانت النباتات قادرة على استخلاص الكادميوم وايصال تركيزه إلى الحدود المسموحة حسب المواصفات القياسية السورية.
- في حال زيادة تركيز الكادميوم ضمن مياه صرف الصناعي في حسياء يجب المشاركة مع طرق آخرى للوصول للحدود المطلوبة حسب المواصفة.
- -عدم كفاية نبات عدس الماء لإزالة الكادميوم من الماء عند تلوث أعلى من 0.25mg\L، لزيادة مردود الاستخلاص لابد من زيادة زمن مكث الماء لمدة أكثر من 15 يوم.
- ممكن تحقيق مردود إزالة مثالي و موافق للمواصفة السورية لمياه الصرف الصحى الأحواض ذات زمن مكث 15 يوم و عمق 25cm.

#### المراجع:

- [1] الجمهورية العربية السورية، وزارة الصناعة، هيئة المواصفات والمقاييس العربية السورية، مياه الصرف الصحى المعالجة للبيئة المائية (2580) 2008.
- [2] الجمهورية العربية السورية، وزارة الصناعة، هيئةالمواصفات والمقاييس العربية السورية، للمخلفات السائلة الصناعية، المسموح بطرحها إلى البيئة المائية (3474)2009.

## دراسة تأثير تغير الحمل الهيدروليكي و الأس الهيدروجيني pH على مقدرة نبات عدس الماء الاستخلاص الكادميوم من الماء

- [3] ديمة العقدة ، المعالجة الثالثية لمياه الصرف الصحي باستخدام نبت عدس الماء في محطة الجنديرية نموذجا مجلة جامعة تشرين للبحوث والدراسات العلمية \_ سلسلة العلوم البيولوجية المجلد 38 العدد (3) 2016.
- [4] Qin G, Niu Z, Yu J, Li Z, Ma J, Xiang P. Soil heavy metal pollution and food safety in China: Effects, sources and removing technology. Chemosphere. 2021; 267: 129205.
- [5]\_Taleb R, Qasim B. Potassium Hydroxide Activated Peanut Shell as an Effective Adsorbent for the Removal of Zinc, Lead and Cadmium from Wastewater. J Ecol Eng. 2023; 24(1): 66–78.
- [6] Khoshgoftarmanesh AH, Afyuni M, Norouzi M, Ghiasi S, Schulin R. Fractionation and bioavailability of zinc (Zn) in the rhizosphere of two wheat cultivars with different Zn deficiency tolerance. Geoderma. 2018; 309: 1–6.
- [7]\_Khan AM, Nawaz I, Yousaf S, Ammar Sabir Cheema, Iqbal M. Soil amendments enhanced the growth of Nicotiana alata L. and Petunia hydrida L. by stabilizing heavy metals from wastewater. J Environ Manage. 2019; 242: 46–55.
- [8] Taleb R, Qasim B. Adsorptive Removal of Potentially Toxic Elements from Wastewater Using Peanut Shells Biochar. IOP Conf Ser.: Earth Environ Sci. 2023; 1158(3): 032012.
- [9] Ehsan Bnayyan Rasha. Abood Abood.Janet Mosaddak: Effect of Hydraulic Loading Rates Changes on Phosphorous Removal Efficiency

from Water by Using Duck Weed. Damascus University Journal of Engineering Sciences. 2021; 37(2) (97–103).

- [10] Ibrahim, M. Samaher, Study of the forms and kinetics of some heavy metals in the (soil-plant) system when added at different levels. PhD thesis 2014. Faculty of Agriculture, Al-Baath University.
- [11] Giuseppe Genchi, Maria Stefania Sinicropi, Graziantonio Lauria, Alessia Carocci, and Alessia Catalano. The Effects of Cadmium Toxicity.2020 17(11): 3782.
- [12] Xiao, D. Li, H. Wang, Y. Wen, G.Wang, C. Distribution Characteristics of Typical Heavy Metals in Sludge from Wastewater Plants in Jiangsu Province (China) and Their Potential Risks. Water. 2023, (15) 313.
- [13] A.Mojeed , O.Abiodun , O.Omobola : Heavy Metals in Wastewater and Sewage Sludge from Selected Municipal Treatment Plants in Eastern Cape Province, South Africa: Water .October 2020. 12(2746):2746.
- [14] B. Dagne Bekele: Determination of Heavy Metals in Wastewater and Their Toxicological Implications around Eastern Industrial Zone, Central Ethiopia: Journal of Environmental Chemistry and Ecotoxicology 12(2):72–79–November (2020).
- [15] F. A. Tavares, F. Rubens L. R. Roubach, M. K. Jungles, D. M. Fracalossi, A.M Moraes. Use of Domestic effluent through duckweeds and red tilapia farming in integrated system. Pan–American Journal of Aquatic Sciences (2010): 5(1): 1–10.
- [16] D. Al-Aqdah, Third Record of Sewerage Water Using Water Ltan Tabat at Al-Jundiriya Station as a model- Tishreen University Journal for

## دراسة تأثير تغير الحمل الهيدروليكي و الأس الهيدروجيني pH على مقدرة نبات عدس الماء لاستخلاص الكادميه م من الماء

Research and Scientific Studies  $\_$  The Biological Science Series(2016) Volume, 38 Issue (3)

[17] Bashar Qasim . Simultaneous Determination of Lead and cadmium in Environmental Samples Using Zinc-diethyldithiocarbamates. Baghdad Science Journal (2024): 21(01): 3150-3157.

[18] Ahmed. Hashem, Taha. Nidal. Qasim. Thaer: Study of the nutritional value and heavy metals of Duck weed and its productivity in natural conditions throughout the seasons on different water bodies in the city of Baghdad. Al-Rafidain Agriculture Journal. (2010) Volume (38) Issue (2).

## دراسة تجريبية وتحليلية لتأثير الركام المعاد تدويره على سلوك المقد البيتونية المسلحة

م.حنان على المحسن3

د.م.تراث غريب2

 $^{1}$  c.a.  $^{1}$  mula  $^{1}$ 

#### <u>ملخص:</u>

يقدم هذا البحث دراسة تجريبية وتحليلية لسلوك العقد البيتونية المسلحة الطرفية والمنفذة بركام معاد تدويره بحيث تم اعتماد نسب الاستبدال التالية (%75–%50–%0) . تم اختبار 6 عقد من كل نسبة استبدال عقدتين وتمت متابعة توزع الشقوق وآلية الانهيار للعقد البيتونية المدروسة ومقارنة النتائج التحليلية مع مثيلاتها تجريبياً للوصول الى نموذج مقارب للعقدة المدروسة. أظهرت النتائج انخفاضاً في قيمة الحمولة العظمى التي تتحملها العقد المنفذة بالركام RAC مقارنة بالمرجعية المنفذة من حصويات طبيعية NAC, حيث لم تتجاوز نسبة انخفاض الحمولة الأعظمية المطبقة (%12.16) من أجل نسبة استبدال 75%. ولوحظ عدم حدوث تشقق في منطقة العقدة مقابل تشكل عدة شقوق على السطح العلوي للجائز وذلك في جميع العينات ثم حدوث الانهيار نتيجة توسع الشق الرئيسي عند بداية اتصال الجائز مع العمود. كما أظهرت النتائج التحليلية نقاربا" مع مثيلتها التجريبية. تراوحت نسبة الفرق في الحمولة الاعظمية التجريبية والتحليلية بين(%2.5–% 5) للعقد ذات نسب الاستبدال (%75–%25)على النتائي مقارنة بالعقدة المرجعية. أظهرت النتائج إمكانية استخدام الركام المعاد تدويره في العناصر الإنشائية وفي العقد البيتونية المسلحة على وجه الخصوص وكانت النسبة %25 هي الأقرب للعقدة المرجعية من ناحية الحمولة القصوى والسهوم وآلية التشقق.

كلمات مفتاحية: ركام معاد تدويره، عقد بيتونية مسلحة، نسب الاستبدال.

1أستاذ مساعد في قسم الهندسة الانشائية-كلية الهندسة المدنية-جامعة حمص-حمص-سوريا.

2 مدرّس في قسم الهندسة الانشائية-كلية الهندسة المدنية-جامعة حمص-حمص-سوريا.

3 طالبة دكتوراه في قسم الهندسة الانشائية-كلية الهندسة المدنية-جامعة حمص-حمص-سوريا.

## An Experimental and Analytical Study on the Effect of Recycled Aggregate on the Behavior of Reinforced Concrete Joints

#### Abstract:

This research presents an experimental and analytical study on the behavior of reinforced concrete (RC) edg joints constructed using recycled aggregate concrete (RAC), with the following replacement ratios: 0% - 25% - 75%... Six joints were tested in total, two joints for each replacement ratio. The crack distribution and failure mechanism of the studied concrete joints were monitored, and the analytical results were compared with their experimental counterparts to develop a model that closely represents the studied joint. The results showed a decrease in the ultimate load capacity of joints constructed with recycled aggregate concrete (RAC) compared to the reference joints made with natural aggregate concrete (NAC). The decrease in the applied ultimate load did not exceed 12.16% for the 75% replacement ratio. It was observed that no cracking occurred in the joint region, while multiple cracks formed on the upper surface of the beam in all specimens then, failure occurred due to the expansion of the main crack at the interface between the beam and the column. The analytical results showed a close agreement with the experimental results. The difference between the experimental and analytical ultimate load capacity was ranging from 5 % to 2.5% for joints with 25% and 75% replacement ratios, respectively, compared to the reference joint. The results demonstrated the feasibility of using recycled aggregate in structural elements, particularly in reinforced concrete joints. A ratio of 25% was found to be the closest to the reference joint in terms of maximum load capacity, deflections, and crack propagation mechanism.

Key words: Recycled aggregate, RC Joint, replacement ratio.

#### 1-مقدمة:

يعتبر تراكم مخلفات البناء من أكبر التحديات التي تواجه البيئة حيث أدت الظروف والحروب التي توالت على أرض سوريا إلى هدم العديد من المباني وتصدع بعضها الذي جعلها خارج الخدمة ومن هنا جاءت أهمية البحث في محاولة لإعادة تدوير هذه الأنقاض والاستفادة منها بما يخدم البيئة والمجتمع وعلى الرغم من أن الأبحاث في هذا المجال قد بدأت منذ 50 عام تقريباً إلا أن استخدامه انشائياً اقتصر على الطرقات فقط ولذلك كان لابد من تكثيف الأبحاث بهذا الخصوص والاستفادة من الركام الموجود ولاحظنا قلة الأبحاث التي تخص العقد البيتونية المسلحة وإمكانية استخدام الركام فيها .

قام الباحثون (المعاد تدويره بما فيهم عينتان من الركام المعاد تدويره المعدل (مع استبدال الرماد البيتون ذي الركام المعاد تدويره بما فيهم عينتان من الركام المعاد تدويره المعدل (مع استبدال الرماد المتطاير بنسبة 15%). أشارت نتائج الاختبار إلى أن القضيب الفولاذي الطولي في عقدة الركام قادر على تأمين إجهاد ربط كافي في مرحلة التشقق الكامل وفي المرحلة النهائية وأنه يمكن للركام مع الرماد المتطاير تحسين اكتتاز السطح الخارجي وقوة الترابط للركام المعاد تدويره في مرحلة التشقق الكامل. لذلك تابية لمتطلبات التصميم يقترح الباحثون أن يكون قطر التسليح للعمود المار بالعقدة الداخلية من الإطار صغيرًا[1].

قام الباحثان [قاسم الزحيلي، تماضر مقبل،2014] بدراسة تأثير الركام المعاد تدويره على الخلطة البيتونية بعدة نسب وتبين أن استخدام خلطة بنسبة %50 أعطت مقاومات اخفض على الضغط بنسبة %8 من مقاومة الخلطة المرجعية وأن النسبة %75 غير مجدية كثيراً فقد كانت نتائجها مقاربة للنسبة %100 وأوضحوا إمكانية استخدام الركام المعاد تدويره في العناصر البيتونية غير الحاملة [5].

قدم الباحثان [Muneer E K, Raveendran K,2020] مراجعة حول اتصال العمود مع الجائز مع تنفيذ العقدة بركام معاد تدويره وأوضحا أن جودة بيتون RAC تعتمد على ميزات الركام المستخدم وحالة المنشأة المهدمة و أنه يمكن استخدام دخان السيليكا لتحسين مقاومة RCA وجعله بموازاة البيتون الطبيعي وأنه يمكن تحسين جودة البيتون RCA وتشكيل المزيج المعدل من خلال (زيادة كمية الاسمنت – استخدام الملدن لتخفيض النسبة W/c) وأن إضافة التسليح في منطقة العقدة يزيد المطاوعة والقدرة على امتصاص الطاقة [2].

بعد الاطلاع على آخر الأبحاث المدروسة تبين انه يجب توجيه الاهتمام نحو دراسة الركام المعاد تدويره في العقد البيتونية المسلحة كمادة وليس من خلال تثبيت النسبة ودراسة تأثير التسليح بالإضافة الى أن العقد المدروسة في أغلب الأبحاث المنشورة غير محققة للاشتراطات المطلوبة في العقد من ناحية التسليح الرئيسي أو التطويق.

#### 2-هدف البحث:

يهدف البحث لإجراء دراسة تجريبية وتحليلية للتحقق من إمكانية استخدام الركام المعاد تدويره في العقد البيتونية المسلحة تحت تأثير حمل استاتيكي من خلال استبدال الركام الطبيعي بركام معاد تدويره وفق النسب التالية %(75-25-0) ومقارنة النتائج مع العقد المرجعية المحضرة من ركام طبيعي.

#### 3-مواد وطرائق البحث:

#### 1-3-خصائص المواد المستخدمة:

#### 1-1-3-الاسمنت:

تم استخدام اسمنت بورتلاندي عادي (ماركة الإسمنت32.5Mpa) وعياره 400 kg/m³.

#### 2-1-3-الملدن:

تم في هذا البحث استخدام ملدن عالى الأداء، خافض للماء وتم تجريب عدة نسب لتحديد الكمية المناسبة مع مراعاة حدود المجال الذي تفترضه الشركة المصنعة (2.2-0.5)% وتم تجريب عدة خلطات لتحديد قابلية التشغيل من خلال تجربة الهبوط بمخروط أبرامز مع المحافظة على نسبة (1-1). ثابتة بقيمة 0.5، وبناءً عليه تم اعتماد النسب المبينة في الجدول (1-1).

الجدول (1-1) نسبة الملدن المعتمدة لكل نسبة استبدال

75%	25%	0%	نسبة الاستبدال
1	0.5	0.5	نسبة الملدن الى وزن الاسمنت%

#### 3-1-3-فولاذ التسليح:

يوضح الجدول (2-1) خصائص فولاذ التسليح حد المرونة وحد الانقطاع الوسطى لثلاث عينات من فولاذ التسليح تم اختبارها بمخبر مواد البناء -كلية الهندسة المدنية -جامعة حمص الشكل .(1-1)



الشكل (1-1)فولاذ التسليح المستخدم في العقد

دول(2-1) خصائص فولاذ التسليح
------------------------------

حد الانقطاع (MPa)	حد المرونة (MPa)	القطر (mm)
707.71	567.35	6
575.37	479.40	10
580.62	465.32	12
566.53	466.65	14

#### 3-1-4-الركام الطبيعي:

تم إجراء تجربة التحليل الحبي في مخبر مواد البناء -كلية الهندسة المدنية-جامعة حمص، وقمنا بتصميم الخلطة الخرسانية وفق الطريقة التخطيطية منحني (فوليير - تومسون) لتحديد نسب الخلط وكانت النتائج كما يلي: بحص خشن 37%، بحص ناعم 23%، رمل مكسر 27%، ورمل قرواني 13%.

#### 3-1-5-الركام المعاد تدويره:

تم انتقاء عينات بيتونية فقط (أعمدة – جوائز –بلاطات) من انقاض بعض المباني في مدينة حمص – سوريا وهناك تمت حمص – سوريا وهناك تمت عملية التكسير ومن ثم الفرز بمخبر مواد البناء – كلية الهندسة المدنية – جامعة حمص كما موضح في الشكل (2-1).





الشكل (2-1) عملية تكسير وفرز الركام المعاد تدويره

وبعدها تمت عملية الفرز بالمناخل في المخبر دون الغسيل بالماء ومن ثم الحصول على ثلاثة أنواع من البحص وتم تسميتها حسب مقاس المنخل كما يلي:

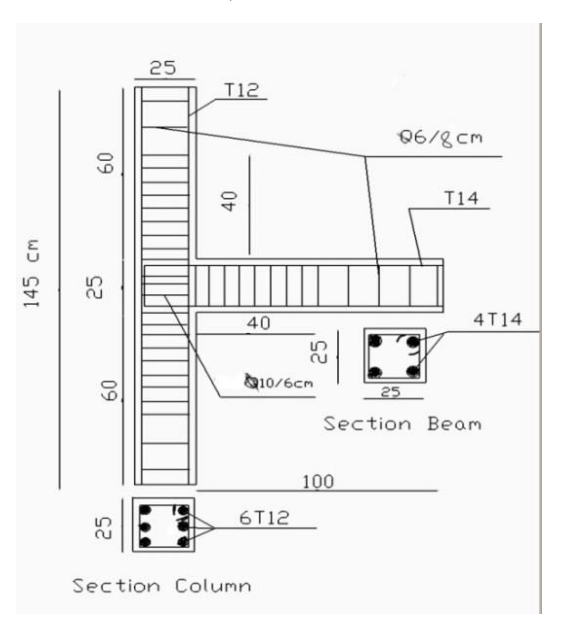
بحص خشن mm (غرداة) وبحص ناعم mm (4.75–16) ورمل مكسر (زرداة) –4.75) mm(1.18 وبعد إجراء التحليل الحبي للركام المعاد تدويره تم اعتماد النسب الآتية لتصميم الخلطة : 28% بحص خشن ، 34% بحص ناعم، 21% رمل مكسر (زرادة)، 17% رمل ناعم ويبين الجدول (1-3) الأوزان المستخدمة لكافة الخلطات.

الجدول (1-3) الأوزان المستخدمة بالكيلو غرام في المتر المكعب الواحد من البيتون

الركام	نسبة الاستبدال %				
	0%	25%	75%		
بحص طبيعي خشن	722.09	541.57	180.52		
بحص طبيعي ناعم	453.22	339.92	113.31		
زرادة طبيعية	521.63	391.22	130.41		
بحض خشن معاد تدويره	_	132.49	397.47		
بحص ناعم معاد تدويره	_	160.88	482.64		
زرادة معاد تدويرها	_	97.64	292.91		
رمل طبيعي	234.02	252.02	288.03		
اسمنت	400				
ماء	200				
نسبة الماء للإسمنت		0.5			

#### 1-3-العينات المختبرة:

تم تحضير وصب 6 عقد بيتونية مسلحة طرفية متشابهة بنفس نسبة التسليح والابعاد كما هو موضح في الشكل(1-1) ،الشكل(1-1) مع تغيير نسب الاستبدال حيث تم استخدام النسب التالية (0,25,75) % وكذلك 3 عينات بيتونية اسطوانية من كل نسبة، كما تم تحقيق العقد وفق الكود العربي السوري والتأكد من تحقيقها لكافة الاشتراطات وتم الكسر بعمر 272 يوماً.



الشكل (3-1) أبعاد وتسليح العينات المختبرة



الشكل (1-4) صب العينات المدروسة

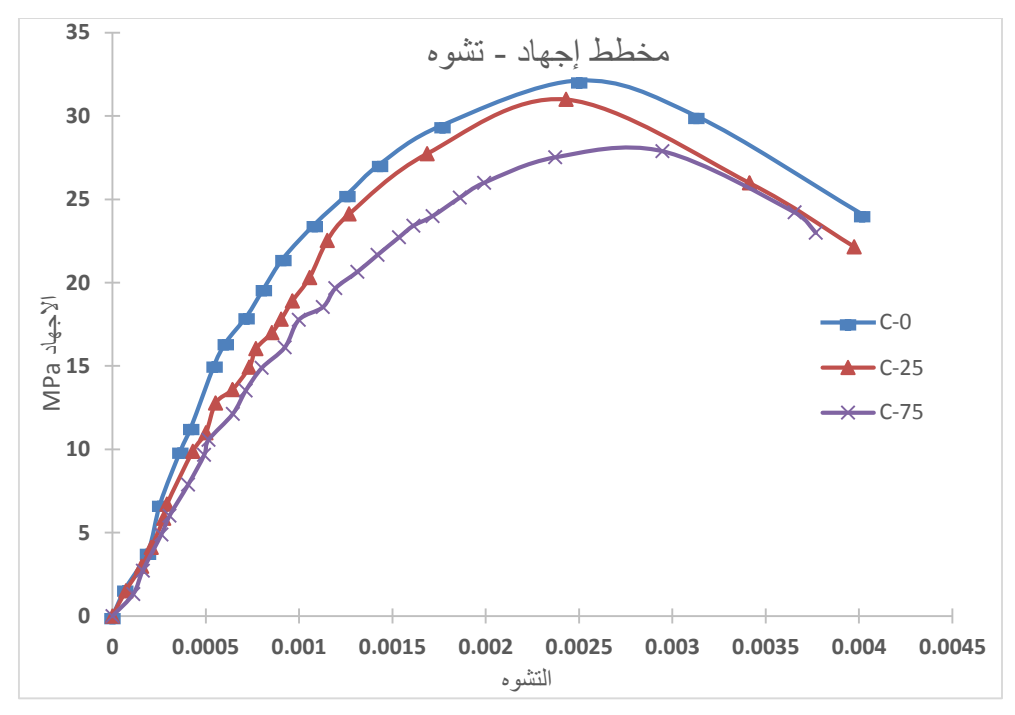
#### دم تراث غریب

#### 2-3-اختبار العينات البيتونية الاسطوانية:

تم كسر ثلاث عينات بعمر 272 يوم من كل نسبة لتحديد المقاومة على الضغط باستخدام جهاز الكسر الهيدروليكي الموجود في مخبر البيتون المسلح في كلية الهندسة المدنية بجامعة حمص والذي تبلغ حمولته القصوى 3000الشكل (5-1) وتم في النهاية رسم مخطط الاجهاد التشوه الموضح في الشكل (6-1).



الشكل (5-1) العينات الاسطوانية المختبرة



الشكل (6-1) مخطط الاجهاد – التشوه للعينات الاسطوانية بتغير نسبة الاستبدال تم ايجاد القيم الوسطية للمقاومة الاسطوانية على الضغط بعمر 272 يوم وتم حساب معامل المرونة كما هو موضح في الجدول(1-4).

الجدول(1-4) المقاومة الاسطوانية ومعامل المرونة للعينات البيتونية المدروسة

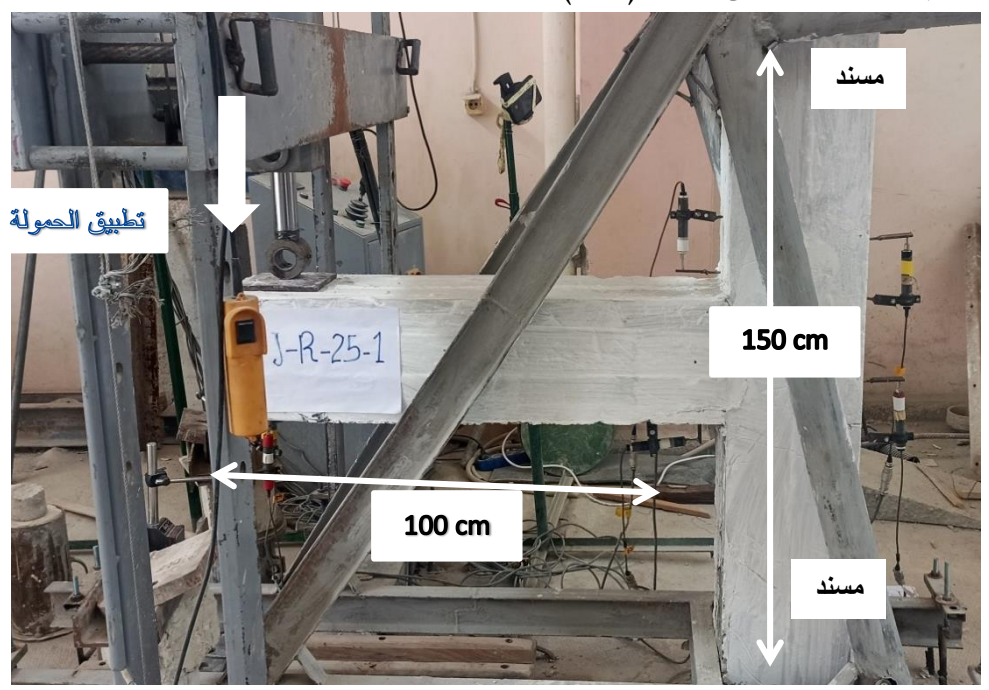
فعامل المرونة (MPa) E	<i>f'<sub>c</sub></i> MPa	نسبة الاستبدال
25680	32.13	0%
23086	30.99	25%
20860	27.89	75%

نلاحظ مما سبق أن المقاومة المميزة الاسطوانية بعمر 272 يوم تتخفض مع زيادة نسبة الركام المعاد تدويره وكانت نسبة الانخفاض على التتالى (%13.19-%3.54) وفقا لنسب الاستبدال

مقارنة بالمقاومة الاسطوانية لعينات الركام الطبيعي كما نلاحظ انخفاض معامل المرونة وفق النسب التالية (18.78%-10.10)على التتالي.

#### 3-3-الدراسة التجريبية على العقد البيتونية المسلحة:

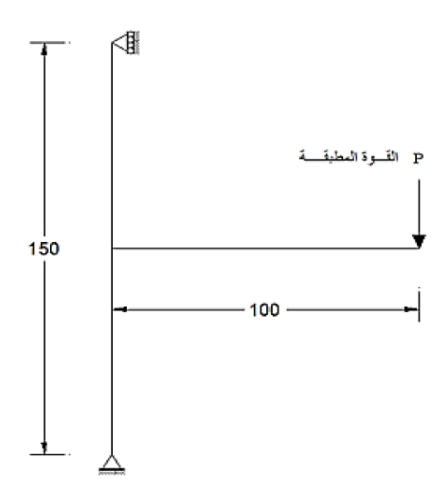
تم اجراء اختبارات التحميل لنماذج العقدة البيتونية المسلحة المدروسة من خلال هيكل معدني يتم تثبيته على جهاز كسر القساطل البيتونية الموجود في مخبر البيتون المسلح في كلية الهندسة المدنية – جامعة حمص الشكل (7-1).



الشكل(7-1)جهاز كسر القساطل مع الهيكل المعدني المثبت

#### 3-3-1-طريقة استناد النماذج التجريبية وردود الأفعال عند المساند:

يعيق تصميم الهيكل المعدني المثبت على جهاز كسر القساطل الحركة في الاتجاه الشاقولي والاتجاه الأفقي في المستوي الشاقولي الذي تحدده الحمولة الشاقولية المطبقة عند نهاية الجائز مع ضمان استقرار النموذج التجريبي عند اجراء تجارب التحميل الشكل(8-1)[6].

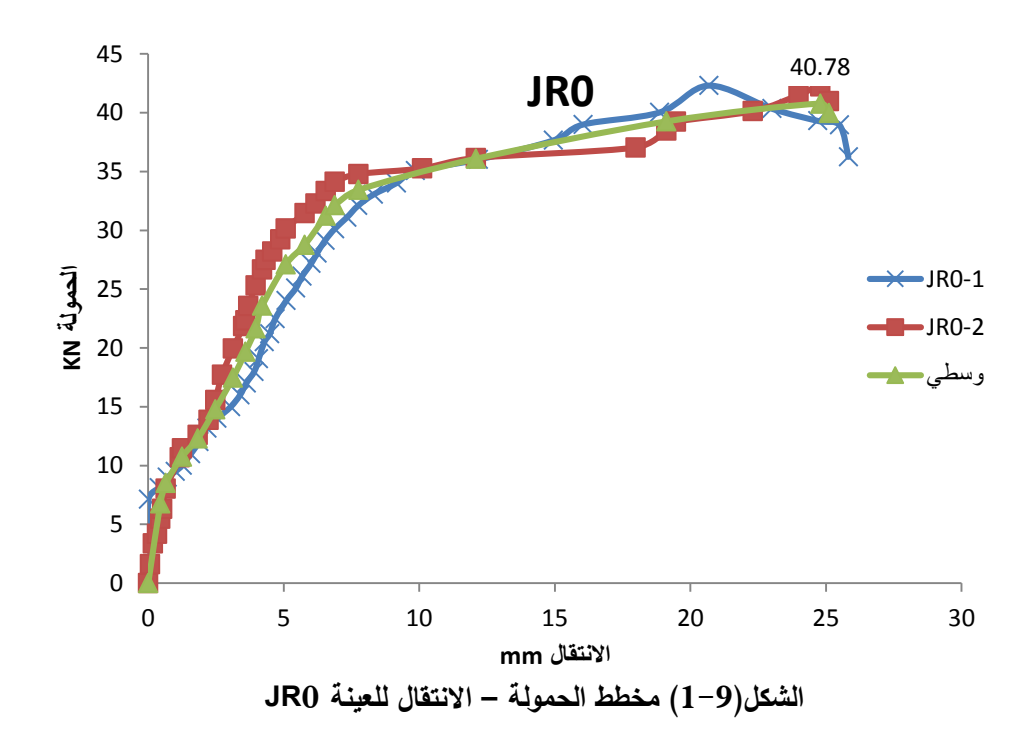


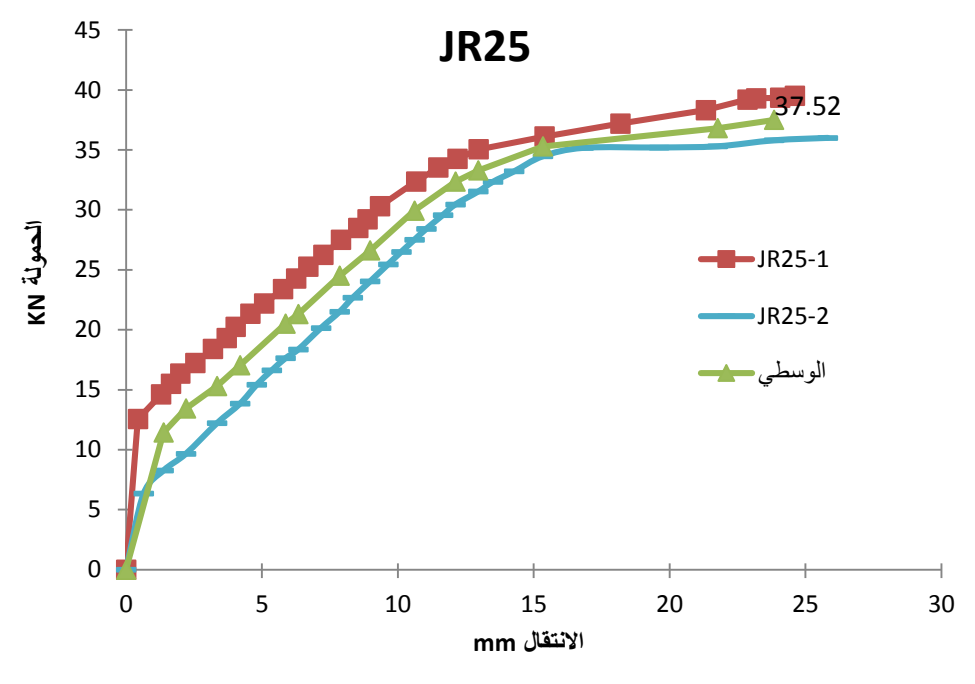
الشكل(8-1)استناد العقدة ضمن الهيكل المعدني

#### 4-النتائج ومناقشتها:

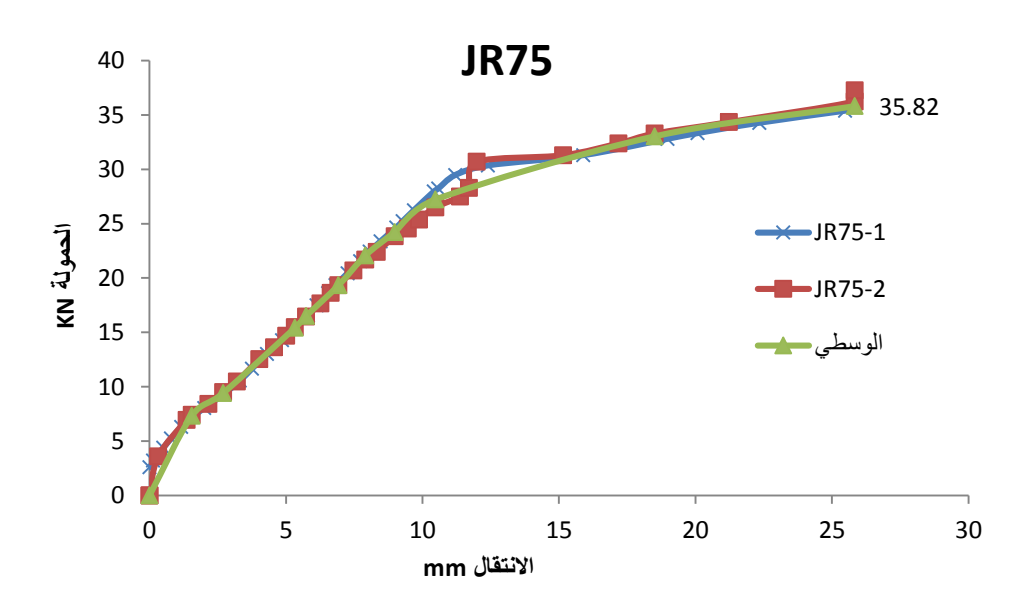
#### 4-1-الدراسة التجريبية:

تم اختبار العقد المنفذة بالركام RAC باستخدام جهاز كسر القساطل البيتونية الموجود في مخبر البيتون في كلية الهندسة المدنية بجامعة حمص، وقمنا بتسجيل الانتقال الشاقولي في نهاية الجائز وذلك باستخدام أجهزة LVDT الموصولة إلى جهاز تسجيل البيانات، بالإضافة إلى ملاحظة انتشار الشقوق والحمولات الموافقة لها والحمولة الموافقة لحدوث الشق الأول لجميع النماذج. تم رسم مخطط العلاقة بين الحمولة والانتقال الشاقولي في طرف الجائز (تحت الحمولة )للنماذج التجريبية للعقد باختلاف نسبة الاستبدال ، والمتوسط لكل عينتين من نفس النموذج كما في الاشكال (9-1)، (1-11)، (1-1).



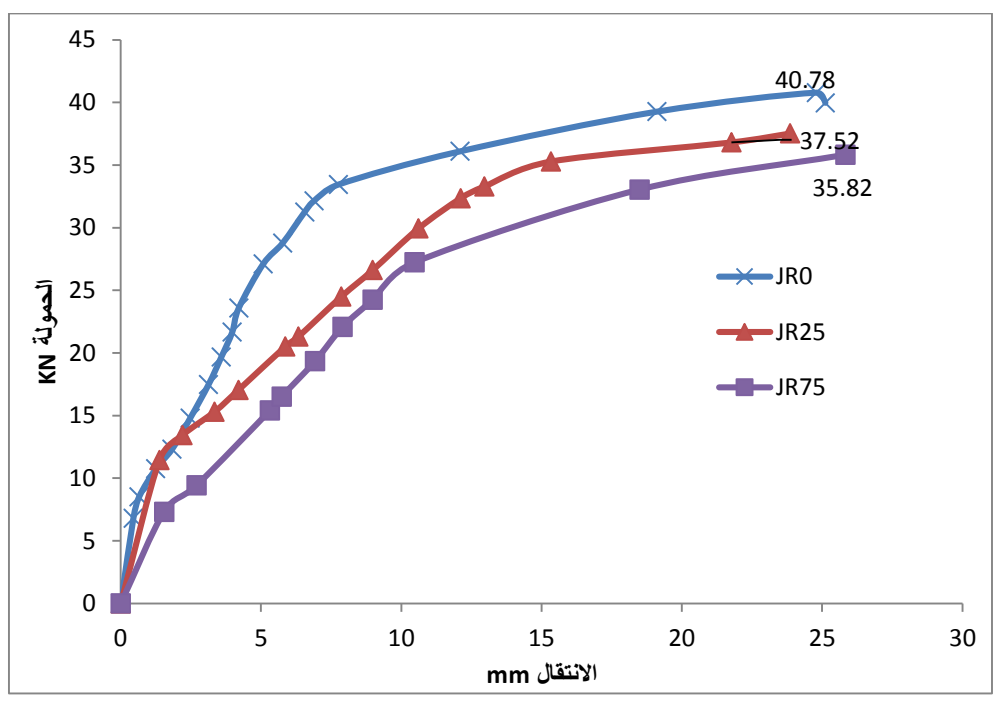


الشكل (1-10) مخطط الحمولة - الانتقال للعينة JR25



الشكل(11-11) مخطط الحمولة - الانتقال للعينة JR75

قمنا بتجميع النتائج الوسطية للعقد باختلاف نسبة الاستبدال كما في الشكل (1-1)، وتم المقارنة بينها من حيث قيمة الحمولة الأعظمية Pmax والحمولة الاستثمارية Pser والسهم الموافق لهاΔser.



الشكل (1-12) مخطط الحمولة - الانتقال للعقد 1R0-JR25-JR75 الشكل

يبين الجدول(1-5) انخفاض قيمة الحمولة العظمىPmax بنسبة %(12.16-7.99) لنسبتي الاستبدال %(75-25) على التتالي مقارنة بالحمولة العظمي التي تتحملها العقدة المرجعية.

الجدول(5-1) النتائج التجريبية للعقد باختلاف نسبة الاستبدال

Δser (mm)	Pmax(KN)	Pser(KN)	العينة
4.43	40.78		JR0
8.97	37.52	26.51	JR25
9.58	35.82		JR75

بمقارنة السهم عند الحمولة الاستثمارية مع السهم المسموح في الكود العربي السوري [6] والمقدر ب  $\frac{L}{180} = 5.55 mm$  ب JR25,JR75 السهم للعينة المرجعية محقق بينما في العينتين  $\frac{L}{180} = 5.55 mm$  زادت قيمة السهم تقريباً بنسبة 102%,116% على التتالي مقارنة بسهم العقدة المرجعية.

#### 4-1-1-عزم التشقق:

قمنا بحساب العزم عند بداية تشكل الشقوق في منطقة الانعطاف وفق الكود العربي السوري [6] من العلاقة التالية:

$$\begin{aligned} \mathbf{M}_{cr} &= \frac{\sigma b t_{Mcr} * I_g}{y_t} \\ \sigma b t_{Mcr} &= f_{cb} = 0.74 \sqrt{f_c'} \end{aligned}$$

كذلك وفق الكود ACI [4] وذلك من العلاقة:

$$M_{cr} = \frac{f_r * I_g}{y_t}$$

: [3] وفق الكود الهندي لمسبق الاجهاد ا $f_r = 0.75 \sqrt{f_c'}$ 

تجريبي	Mcr						91 591. **
Mcr	70				KN.m		نسبة الاستبدال %
KN.m	I	IS AC		السور <i>ي</i> CI			
11.5	10.1%	10.33	3.7%	11.07	5%	10.92	0%
10	1.4%	10.15	8.7%	10.87	7.2%	10.72	25%
9.5	1.3%	9.63	8.5%	10.31	7.1%	10.17	75%

$$M_{cr} = \frac{f_{cr} * I_g}{y_t}$$

$$f_{cr} = 0.7 \sqrt{f_c'}$$

الجدول(6-1) مقارنة عزم التشقق التجريبي مع عدة كودات

وفي النهاية تم مقارنة النتائج مع عزم التشقق التجريبي و نلاحظ من خلال الجدول (6-1) أن علاقات الكود الهندي لمسبق الاجهاد كانت الأقرب لعزم التشقق في العقد المنفذة بركام معاد تدويره حيث كان الفرق بين العزم التجريبي والعزم الناتج من علاقات الكود الهندي (-1.4-1.0) على النتالي.

#### 4-1-2-قدرة تحمل العقد البيتونية المسلحة:

قمنا بحساب أعظم عزم يمكن أن تتحمله العقدة وهو يساوي القوة الأعظمية حيث أن ذراع القوة 1m .تم حساب العزم MR لكافة نسب الاستبدال وذلك وفق العلاقات[6]:

$$M_{R} = R_{b} * b * d^{2} * K_{MR}$$

$$K_{MR} = \frac{R_{s}}{R_{b}} = \frac{\varsigma_{b} * \varsigma * f_{y}}{\varsigma_{b} * \varsigma * 0.85 * f_{c}'}$$

الجدول (7-1) العزم الاعظمي النظري والتجريبي

نسبة الفرق %	MR تجريب <i>ي</i>	MR (KN.m)	نسب الاستبدال %
14%	40.78	35	0%
6.7%	37.52	34	25%
2.3%	35.82	33	75%

يوضح الجدول (7-1) قيم العزوم الناتجة والفرق بين القيم النظرية والتجريبية حيث لم يتجاوز أكبر فرق قيمة 14% وأعطت العلاقة النظرية قيمة أقل من قيم التجارب .

#### 4-2-الدارسة التحليلية:

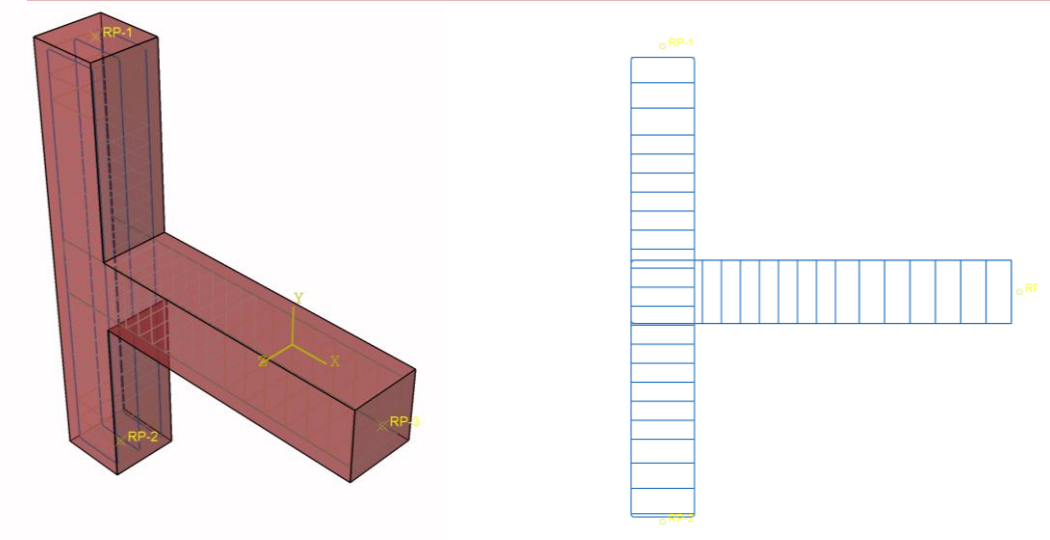
تم اجراء النمذجة العددية باستخدام برنامج ABAQUS الذي يعتمد على طريقة العناصر المحدودة في التحليل، من أجل محاكاة العقدة المدروسة تم استخدام العنصر المكعبي C3D8R لتمثيل العقدة البيتونية المسلحة حيث يتألف هذا العنصر من ثمان عقد وثلاث درجات حرية لكل عقدة بينما تم

تمثيل القضبان الفولاذية من خلال العنصر T3D2وهو مؤلف من عقدتين بثلاث درجات حرية لكل عقدة ويوضح الشكل (T-13) نموذج العقدة المدروس.

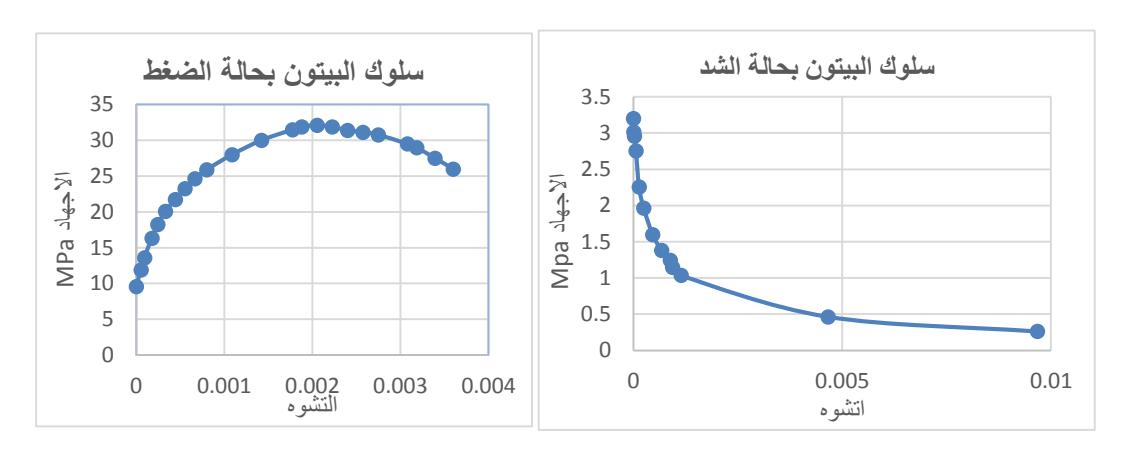
تم تمثیل مادة البیتون المسلح من خلال معاملات Concrete Damage Plasticity حیث تم اعتماد المعاملات المبینة في الجدول (8-1) و ووضح الشكل (1-14)سلوك مادة البیتون تحت تأثیر الضغط والشد المحوري.

ABAQUS المدخلة لبرنامج CDP المدخلة المرنامج

زاوية الاحتكاك Dilation Angel	اللامركزية Eccentricity	نسبة الضغط الثنائي إلى الاحادي Fb0/fc0	سطح التلدن <b>K</b>	اللزوجة Viscosity
30	0.1	1.16	0.667	0.006

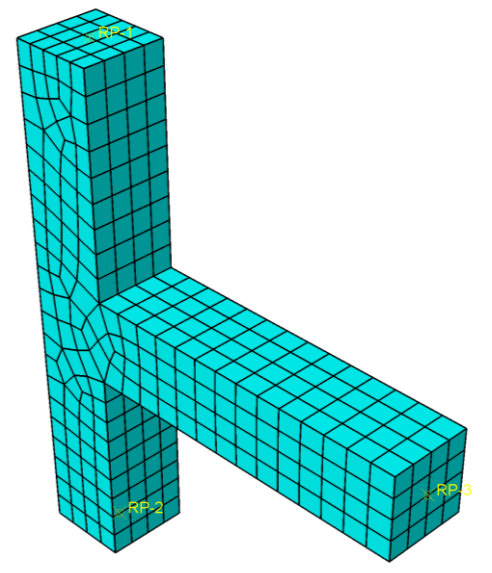


الشكل (13-1)نموذج العقدة في برنامج ABAQUS



الشكل (1-14) سلوك مادة البيتون تحت تأثير الضغط والشد المحوري

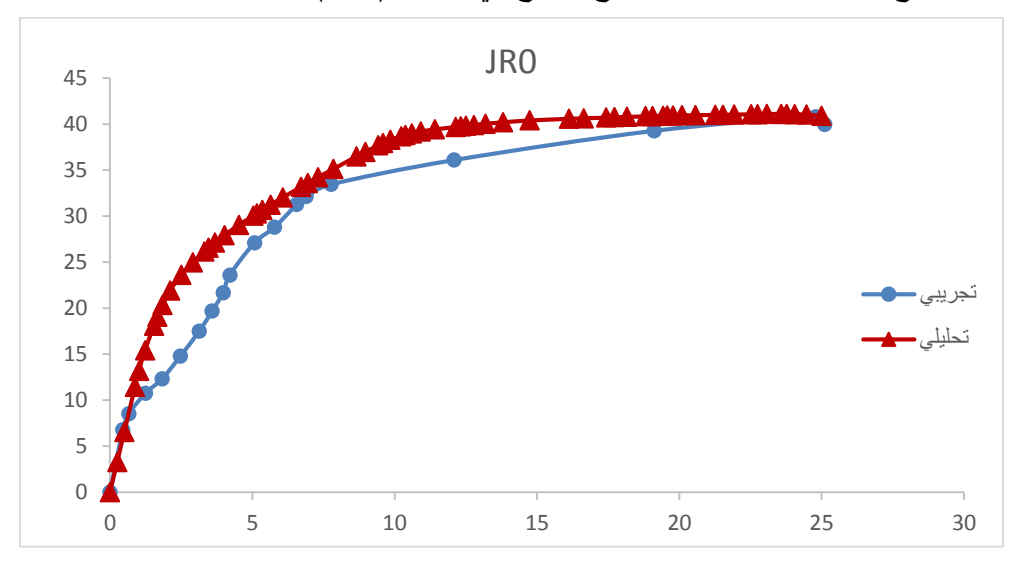
تم تقسيم العقدة الى عدد من العناصر المحدودة وتجريب عدة أبعاد للعنصر المحدود ومن خلال تقارب النتائج تبين أن التقسيم المناسب هو mesh=70mm كما هو موضح في الشكل (15-15).



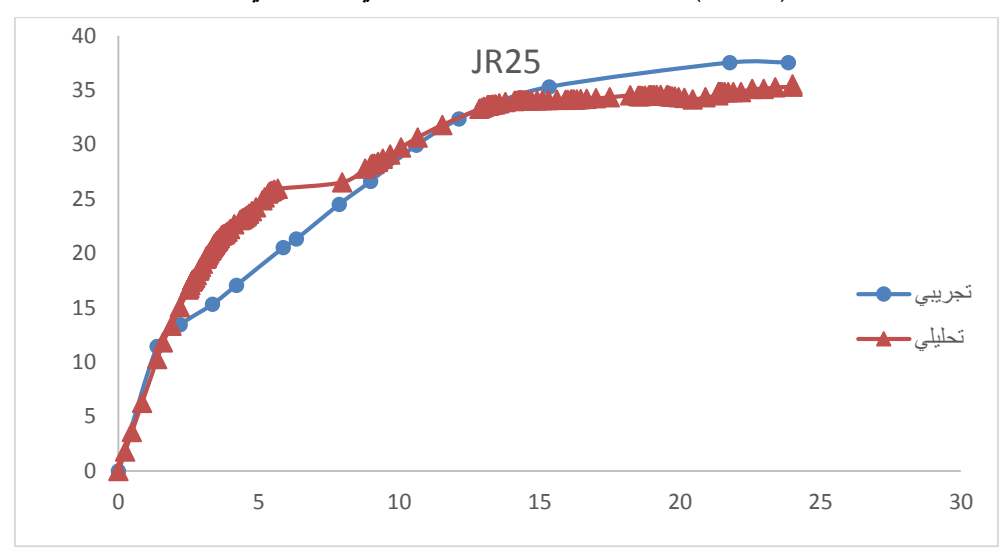
الشكل(15-1)تقسيم العنصر لمجموعة من العناصر المحدودة

#### 4-3-مقارنة مخطط الحمولة -الانتقال بين التحليلي والتجريبي:

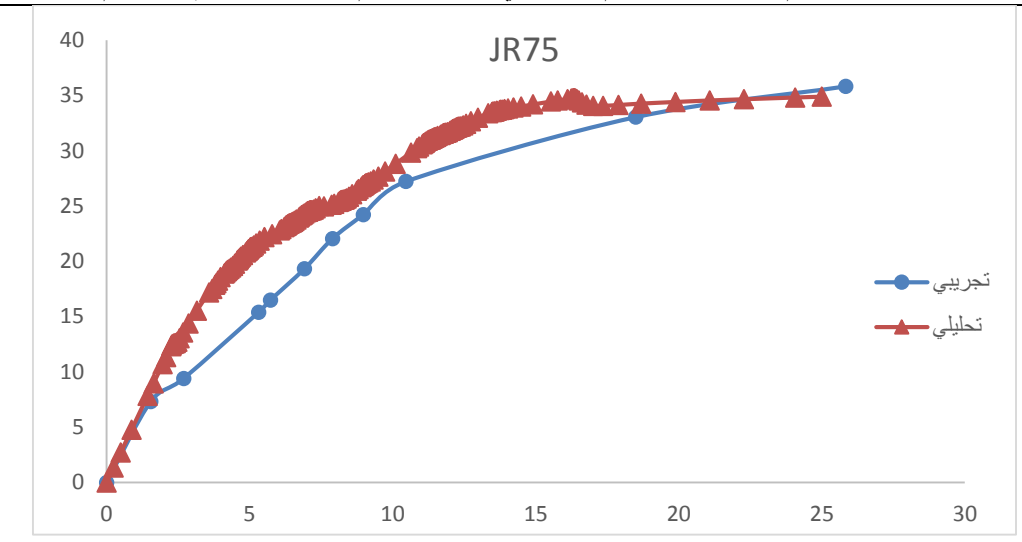
تم رسم مخططات الحمولة – الانتقال لجميع العقد بنسب الاستبدال (75-25-0) على النتالي الاشكال (1-16)، (1-17) و (1-18) ، ثم تم اجراء مقارنة القوة الأعظمية التي تتحملها العقدة بين النتائج التجريبية والتحليلية وتوضح النتائج في الجدول (1-8).



الشكل (16-1)مخطط حمولة-انتقال التجريبي والتحليلي للعقدة JR0



الشكل (1-17)مخطط حمولة-انتقال التجريبي والتحليلي للعقدة JR25



الشكل (1-18)مخطط حمولة-انتقال التجريبي والتحليلي للعقدة JR75

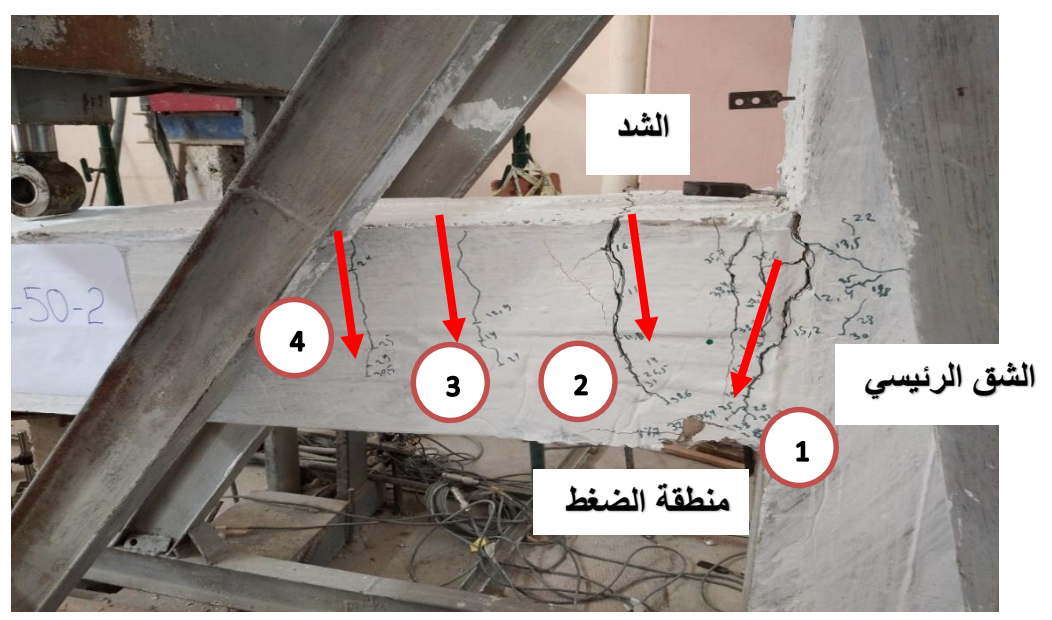
الجدول(9-1) مقارنة النتائج التجريبية والتحليلية

الفرق%	Δser (mm) تحلیلي	Δser (mm) تجریبي	الفرق%	Pmax التحليلية KN	Pmax التجريبية KN	العقدة
2.2	4.3	4.43	0.8	41.12	40.78	JR0
4.5	8.5	8.9	5	35.51	37.52	JR25
2.1	8.8	9	2.5	34.89	35.82	JR75

نلاحظ من خلال الجدول(9-1) تقارب النتائج التحليلية مع التجريبية بشكل مقبول مما يجعل النموذج التحليلي مقارب للعقدة المختبرة.

#### 4-4-توزع الشقوق:

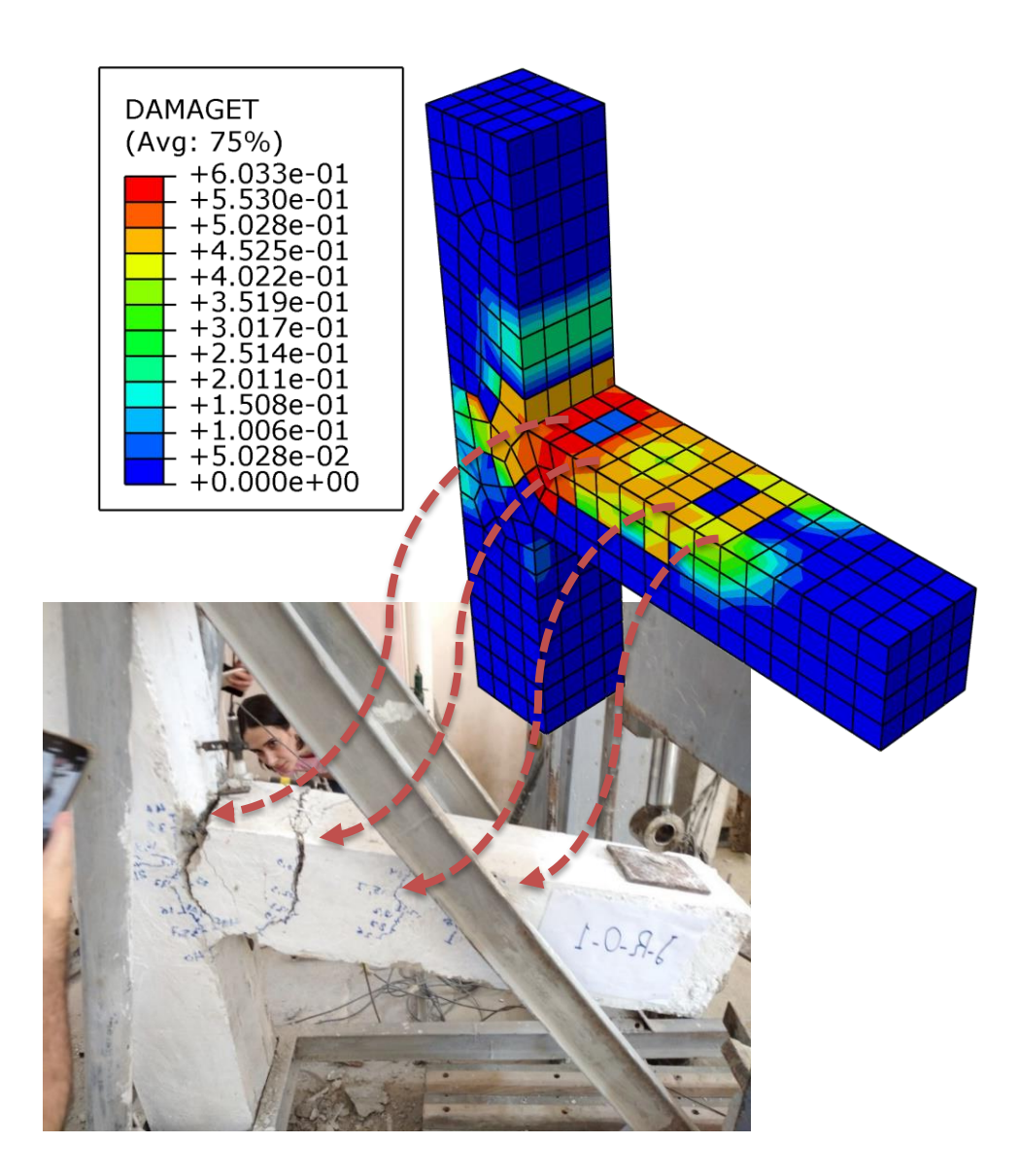
لوحظ تشكل عدة شقوق شعرية في الوجه العلوي وكان عددها 4في غالبية العقد وتباعدها متقارب نوعا ما كما هو موضح في الشكل (1-19).



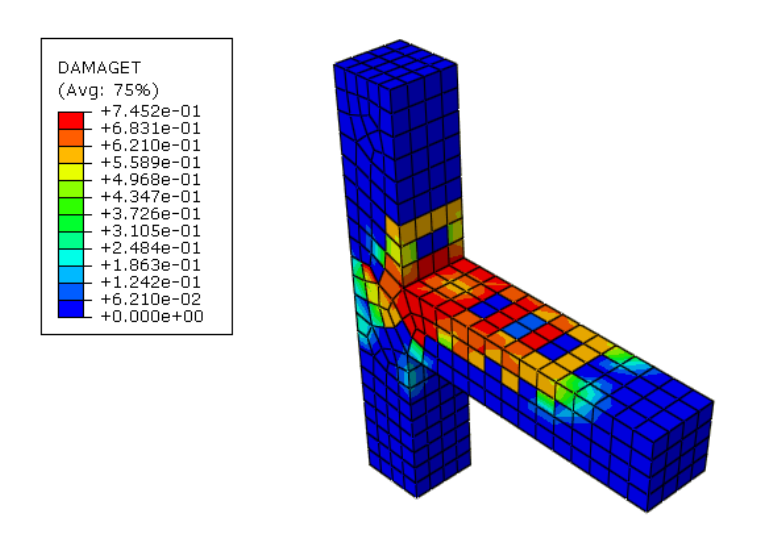
الشكل (18-1) توزع الشقوق وامتدادها في العقدة

بعد التحميل يبدأ الشق (1) بالظهور يتبعه الشق(2) و بعد ازدياد عمقهما ليصلا تقريبا لنصف ارتفاع الجائز يظهر الشق(3) ويليه الشق (4) ،مع استمرار توسع وامتداد الشقوق وتوسع عرض الشق الرئيسي إلى أن يصل امتداده لمنطقة الضغط حيث يحدث الانهيار دون الوصول لمنطقة العقدة .

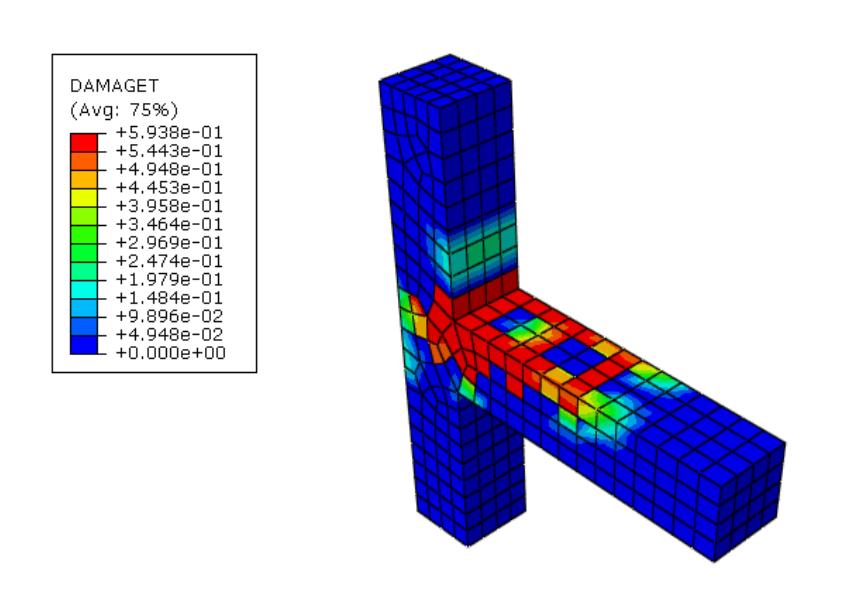
تظهر الاشكال (20-1)،(1-21) و (22-1) توزع الشقوق في العقد تجريبياً وتحليلياً للنسب -0) %(75-25 على التتالي.



الشكل(1-20) توزع الشقوق وامتدادها في العقدة JR0



الشكل(21-1) توزع الشقوق وامتدادها في العقدة JR25



الشكل (22-1) توزع الشقوق وامتدادها في العقدة 3R75

#### د م تراث غریب

#### 5-الاستنتاجات والتوصيات:

#### 1-5-الاستنتاجات:

- 1- لم يتغير نمط التشقق بتغير نسبة الاستبدال لكافة العينات وكان يبدأ بظهور عدة شقوق على الوجه العلوي للجائز مع استمرار توسعها والوصول للانهيار دون وصول الانهيار لداخل العقدة.
- 2- انخفاض قيمة الحمولة العظمى Pmax بنسبة %(7.20-12.16) لنسبتي الاستبدال %(7.50-25) على النتالي مقارنة بالحمولة العظمى التي تتحملها العقدة المرجعية. مع زيادة قيمة السهم تقريباً بنسبة %116, 102% على النتالي مقارنة بسهم العقدة المرجعية.
  - 3- بعد حساب عزم التشقق من عدة كودات تبين أن الكود الهندي هو الأقرب وكان الفرق بين العزم التجريبي والعزم الناتج من علاقات الكود الهندي %(1.33-1.4) للعقد المنفذة بنسبة استبدال %(75-25) على التتالي.
- -4 تقارب النتائج التحليلية مع التجريبية بشكل مقبول مما يجعل النموذج التحليلي مقارب للعقدة المختبرة حيث كان الفرق بينهما بنسبة (2.5-5-8.0) لنسب الاستبدال (75-2-8.0) لنتالي.
- 5- أوضحت التجارب والنتائج إمكانية استخدام الركام المعاد تدويره في العناصر الانشائية وتحديدا" العقد البيتونية المسلحة حيث أبدت نسبة الاستبدال %25 تقارباً واضحاً مع العقدة المرجعية سواء من ناحية قدرة التحمل أو آلية التشقق وكذلك الحمولة عند بداية ظهور الشقوق وكان سلوكها أفضل من العقدة ذات نسبة الاستبدال %75.

#### 2-5- التوصيات:

1-دراسة أنواع أخرى من العقد البيتونية المسلحة.

2-دراسة أشكال تحميل أخرى (حمل دوري مثلاً) لنفس العقدة المدروسة.

3-دراسة تأثير تغير التسليح (أقطار -عدد القضبان-تباعدات)على النتائج.

6-المراجع:

1-LI FU J,KANG LIU B and WEI MA J,2017<u>- Experimental Research on Longitudinal Steel Bar Bond Properties in Modified Recycled Aggregate Concrete Beam-Column Interior Joint under Cyclic Loading</u>. eMarefa Database,Egypt,14P.

- 2- Muhammed Muneer E K and Gokul Raveendran K ,2020-<u>Beam-Column Connection with Core Reinforcement and Recycled Concrete Aggregate: An Overview</u>.International Journal of Scientific & Engineering Research, Volume 11, Issue 10, India,5P.
- 3- Indian Standard IS 456:2000 "Plain And Reinforced Concrete -Code Of Practice"-Fourth Revision-New Delhi.
- 4-ACI 318-19,-"Building Code Requirements for structural concrete and Commentary"-ACI Manual of Concrete Practice ,Part3.

5-تماضر مقبل، د. قاسم الزحيلي ،2014. "دراسة تجريبية على الخرسانة المنتجة من ركام معاد تدويره". مجلة جامعة تشرين-المجلد36-العدد4.

6-"الكود العربي السوري لتصميم وتنفيذ المنشآت بالخرسانة المسلحة" (2018) - الطبعة الخامسة - دمشق.

7-رسالة دكتوراه في الهندسة الانشائية "دراسة فعالية الفير وسمنت في تدعيم عقدة جائز -عمود بيتونية طرفية "(2023) م.حيدر خضور، د.سليمان العامودي ،د.إحسان الطرشة-جامعة حمص-كلية الهندسة المدنية-قسم الهندسة الانشائية-حمص-2023.

# تأثير تغير التخامد مع تسارع الإستجابة على تحليل الإطارات البيتونية المسلحة متعددة الطوابق باستخدام طريقة طيف الإستجابة

الطالبة: مريم الإبراهيم 1

المشرف العلمي: د سليمان العامودي 2

- 1 طالبة دكتوراه في قسم الهندسة الإنشائية جامعة حمص
- 2 أستاذ مساعد في قسم الهندسة الإنشانية في جامعة حمص

#### <u>ملخص :</u>

يهدف هذا البحث إلى دراسة تأثير التخامد المتغير المرتبط بتسارع الاستجابة على تحليل الإطارات البيتونية المسلحة متعددة الطوابق باستخدام طريقة طيف الإستجابة .

تم تحليل نماذج إطارات بيتونية مسلحة مؤلفة من فتحة واحدة ، مع تغيير عدد الطوابق من طابق واحد وحتى خمسة عشر طابقاً ، وقد أجري التحليل مرتين :

الاولى: باستخدام أطياف إستجابة مستنتجة من شدات زلزالية مختلفة لزلزال El Centro بافتراض نسبة تخامد ثابتة وقدرها %5.

والثانية: باستخدام أطياف إستجابة مستنتجة من نفس الشدات الزلزالية، ولكن مع اعتماد نسبة تخامد متغيرة مرتبطة بتسارع الاستجابة في كل لحظة زمنية.

أظهرت نتائج التحليل زيادة ملحوظة في قيم الانتقالات وقوى القص القاعدية عند استخدام التخامد المتغير مقارنة باستخدام التخامد الثابت. وقد كانت هذه الزيادة متقاربة نسبياً مع اختلاف عدد الطوابق، وتراوحت بشكل وسطي بين %31 عند الشدة الزلزالية %10 وحتى %17 عند الشدة الزلزالية %10 .

#### تأثير تغير التخامد مع تسارع الإستجابة على تحليل الإطارات البيتونية المسلحة متعددة الطوابق باستخدام طريقة طيف الاستجابة

كلمات مفتاحية: تخامد متغير - طيف الاستجابة- الإطارات البيتونية المسلحة متعددة الطوايق

#### Abstract:

The Study aims to investigate the effect of variable damping, which is dependent on response acceleration, on the analysis of multi-story reinforced concrete frames using the response spectrum method.

Reinforced concrete frame models with a single bay and varying numbers of stories (from one to fifteen) were analyzed twice :

First, using response spectra derived from different intensity levels of El Centro earthquake, assuming a constant damping ratio of 5%.

Second, using response Spectra derived from the same seismic intensities incorporating the effect of variable damping that changes with the response acceleration of each material point at every moment in time

The analysis results demonstrated an increase in displacements , and base shear forces when using variable damping compared to constant damping .

This increase was relatively consistent across different story heights , ranging on average from 31% at 10% intensity to 17% at 120% intensity

Key words: Variable Damping -Response Spectrum- Multi-story

Reinforced Concrete Frames

#### <u>[1] مقدمة:</u>

تعد الخصائص الديناميكية مثل نسبة التخامد ، من العوامل المؤثرة بشكل كبير على السلوك الديناميكي للمنشآت البيتونية المسلحة . وقد أثبتت الدراسات التجريبية والمشاهدات الحقلية أن هذه الخصائص ترتبط ارتباطاً وثيقاً بسعة استجابة المنشآت تحت تأثير الأحمال الزلزالية (Chopra, A.K. (1995).

تشير الدراسات إلى أن الخصائص الديناميكية للمنشآت الفعلية تختلف حتماً عن القيم التصميمية المفترضة مما يستوجب أخذها بعين الاعتبار بدقة عند إجراء التحليل الديناميكي للحصول على نتائج واقعية تعكس أداء المنشآت تحت تأثير الأحمال الزلزالية .أظهرت العديد من الأبحاث تغير قيم التخامد مع تغير السعة حيث أظهرت دراسة [1](Al Sehnawi et al. (2014) أن التخامد في المرحلة المرنة كان بحدود 3%-2 بينما ارتفع تدريجياً مع زيادة السعة واللاخطية . وجد ايضاً وقد تزداد حتى 6-2 مع التشققات الكبيرة والدخول في اللاخطية . بينما أشار Priestley et أن استخدام نسبة ثابتة للتخامد وهي 5% في التحليل الزلزالي يبالغ في التخميد الفعلي ويؤدي إلى تقليل غير واقعي في الاستجابة الديناميكية .

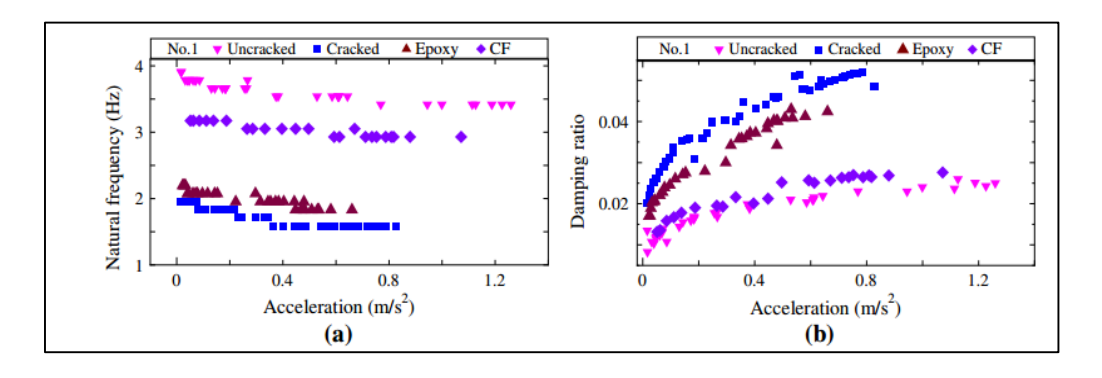
أجرى الباحثون [2] Chen, G. – W., Beskhyroun, S., & Omenzetter, P. (2016) [2] أجرى الباحثون الباحثون من أحد عشر مجازاً ، باستخدام هزازات الختبارات ديناميكية على جسر بيتوني مسبق الإجهاد ومكون من أحد عشر مجازاً ، باستخدام هزازات كتلية لتطبيق مستويات مختلفة من الإثارة . أظهرت النتائج أن الترددات الطبيعية انخفضت بشكل ملحوظ مع زيادة سعة الاستجابة ، بينما زادت نسب التخامد ، مما يؤثر على أهمية مراعاة تأثير سعة الاهتزاز عند تقبيم الخصائص الديناميكية للمنشآت .

هدفت دراسة Sadeq,H.(2014)[1] إلى التحقق من اعتماد الخصائص الديناميكية على سعة الاهتزاز في المراحل المرنة وغير المرنة من خلال تطبيق اختبارات الاهتزاز الحر على نماذج ركائز بيتونية مسلحة .

تم إجراء سلسلة من قياسات الاهتزاز الحر على نطاق واسع من السعات باستخدام إثارة ذات سعة صغيرة نسبياً على نماذج سليمة ، ثم تكرار هذه القياسات بعد أن تم اختبار النموذج تدريجياً حتى الانهيار على طاولة اهتزاز ، ومرة أخرى بعد إصلاحها باستخدام الايبوكسي وشرائح ألياف الكربون

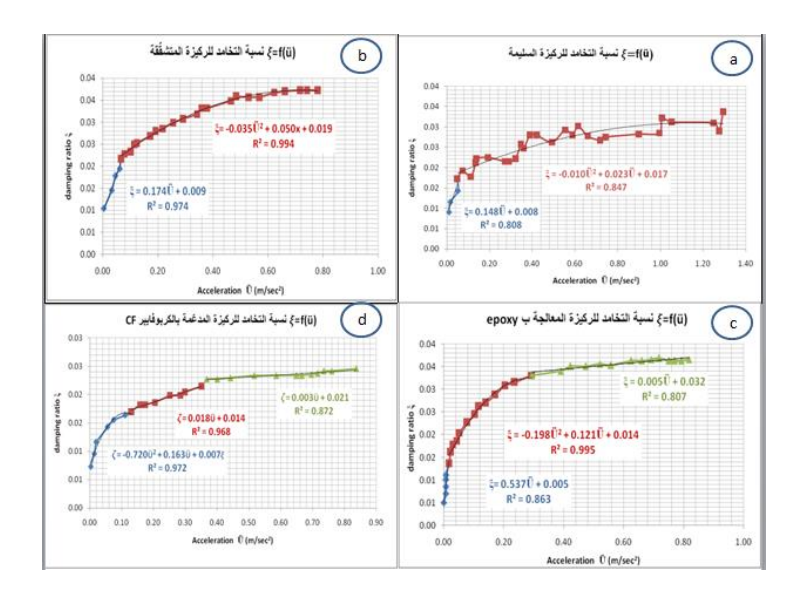
أشارت نتائج الدراسة أن التردد الطبيعي ونسبة التخامد حساسين جداً لمستوى سعة الاهتزاز .فكلما زادت سعة التسارع ، زادت نسبة التخامد بشكل ملحوظ بينما انخفض التررد الطبيعي قليلاً

يبين الشكل [1] التغيرات في نسب التخامد والتردد الطبيعي مع زيادة تسارع الاستجابة الأعظمي الناتج عن الاهتزاز الحر للعينات المختبرة حيث بينت النتائج زيادة ملحوظة في نسبة التخامد مع زيادة التسارع بينما تتخفض قليلا قيم التردد الطبيعي .



الشكل 1: تغيرات قيم التردد الطبيعي (a) ونسبة التخامد (b) مع تسارع الاستجابة الأعظمي الناتج عن الاهتزاز الحر للنموذج المختبر في الدراسة المرجعية [1].

ركزت الدراسة غصون ، ميس . (2020) [8] على معالجة النتائج التجريبية للبحث [1] بهدف الحصول على علاقات تربط بين الخصائص الديناميكية (التردد الطبيعي ونسبة التخامد ) مع تسارع الاستجابة الأعظمي الناتج عن تجربة الاهتزاز الحر وذلك خلال مراحل عمل النموذج (العينة سليمة ، العينة متشققة ، عينة تم إصلاحها عن طريق الحقن بالإيبوكسي ، عينة تم إصلاحها باستخدام شرائح ألياف الكربون ) وتوضح الأشكال التالية العلاقات المقترحة لكل حالة من الحالات المدروسة :



الشكل 2: العلاقات المقترحة لربط نسبة التخامد مع تسارع الاستجابة للعينات السليمة (a) ، العينات المتشققة (b) ، العينات بعد إصلاحها بالايبوكسي (c) ، العينات بعد إصلاحها بألياف العينات المتشققة (b) ، العربون (c) في الدراسة المرجعية [8] .

العلاقة المقترحة في حالة العينات السليمة (غير المتشققة) هي بالشكل التالي:

$$0.01 \le |u''(t)| \le 0.05 \implies \xi(t) = 0.148 \times |u''(t)| + 0.008$$
  

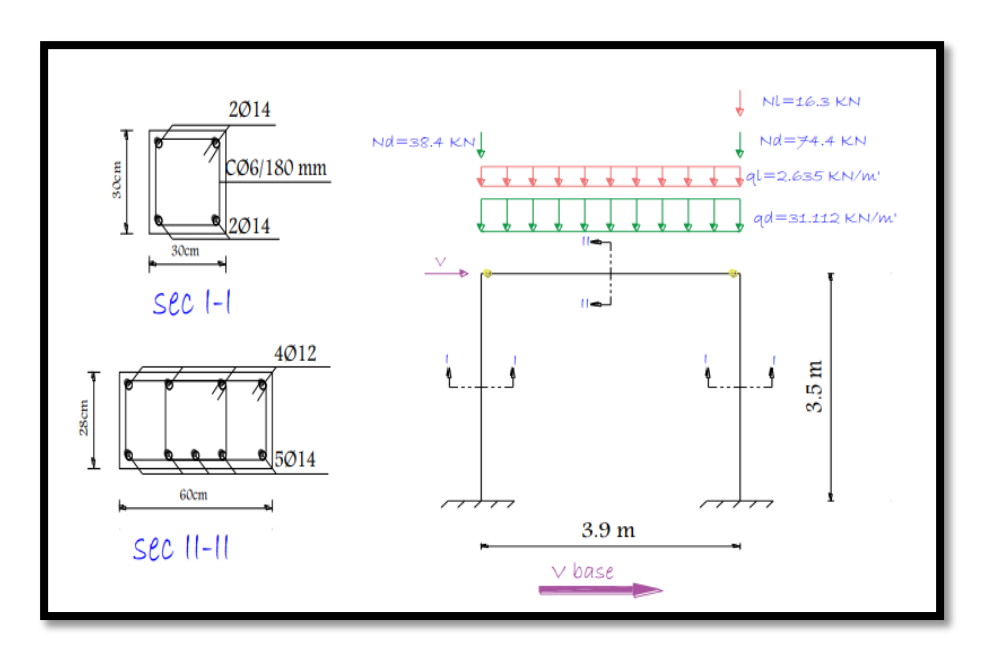
$$0.05 < |u''(t)| \le 1.27 \implies \xi(t) = -0.01 \times |u''(t)|^2 + 0.023 \times |u''(t)| + 0.017$$
  

$$|u''(t)| > 1.27 \implies \xi(t) = 0.0338$$

#### [2] نموذج الإطارات المدروسة:

## تأثير تغير التخامد مع تسارع الإستجابة على تحليل الإطارات البيتونية المسلحة متعددة الطوابق باستخدام طريقة طريقة طريقة الإستجابة

تم في هذا البحث تحليل إطارات بيتونية مسلحة مؤلفة من فتحة واحدة بعرض 3.9m وبارتفاع 3.5m كل طابق . تم دراسة تأثير عدد الطوابق على سلوك هذه الإطارات من خلال نماذج متعددة بعدد طوابق مختلف ، وهي كما يلي : 1 - 2 - 3 - 4 - 6 - 9 - 12 - 15 طابقاً .تم تصميم المقاطع الأولية للأعمدة والجوائز بناءً على الحمولات الشاقولية ، ويوضح الشكل [3] التفاصيل الإنشائية للإطار المدروس بطابق واحد .



الشكل 3: التفاصيل الإنشائية للإطار المدروس من طابق واحد

#### [3] - استنتاج أطباف الاستجابة من السجل الزمني لزلزال ELCentro

تم استنتاج أطياف الاستجابة باستخدام سجل زلزالي لزلزال El Centro بلغت شدته الأعظمية -50% - 30% - 20% - 10% عند عدة مستويات من الشدة الزلزالية وهي -0.31g - 0.05g - 0.093g - 0.062g - 0.031g ( أي مايعادل 0.372g - 0.062g - 0.031g ).

وذلك بهدف دراسة تأثير التخامد المتغير على الاستجابة الديناميكية للإطارات المدروسة بطريقة طيف الاستجابة .تم توليد طيف الاستجابة لكل شدة زلزالية بطريقتين:

الطريقة الأولى: بافتراض نسبة تخامد ثابتة وهي %5 وهو الاجراء التقليدي المعتمد في معظم طرق التحليل الزلزالي.

الطريقة الثانية: تضمنت إدخال نموذج للتخامد المتغير بحيث تحسب نسبة التخامد بشكل لحظي خلال التحليل وبالاعتماد على طريقة الاستهداف وتكون مرتبطة بقيمة تسارع الاستجابة للنقطة المادية عبر العلاقة التحليلية المقترحة في الدراسة [7] للعينات السليمة.

تم توليد الاطياف لكل حالة عن طريق تحليل استجابة مجموعة من الأنظمة وحيدة درجة الحرية  $S_a$  ذات أدوار اهتزاز مختلفة وباستخدام تكامل عددي دقيق لحساب الانتقالات الأعظمية الناتجة عند كل دور اهتزاز شم الحصول على كل من السرعة الزائفة والتسارع الزائف حيث:

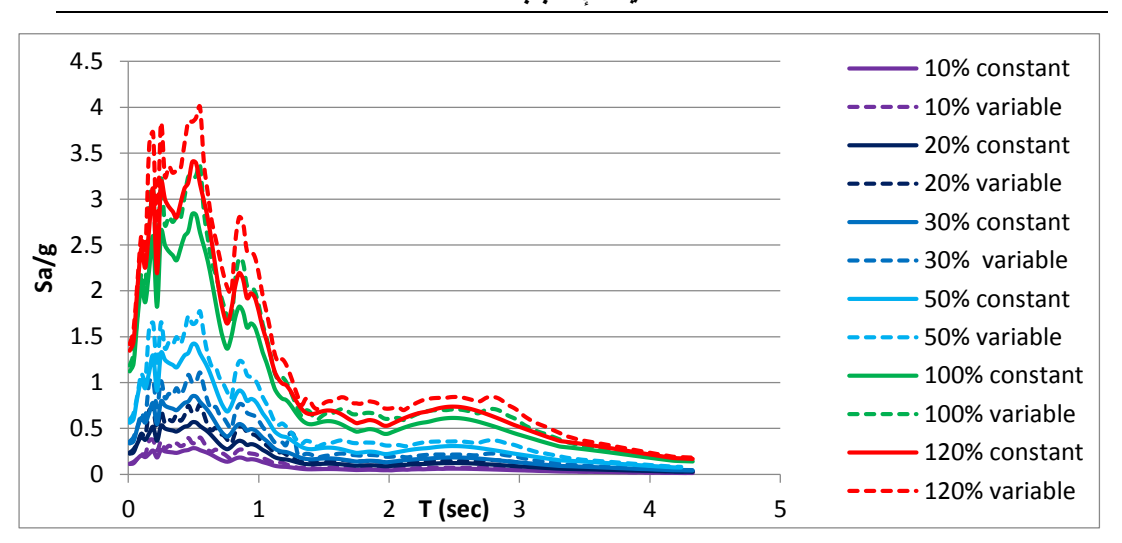
$$S_v = W_n.S_d$$

$$S_a = W_n^2 . S_d$$

يتم تمثيل العلاقة بين أدوار الاهتزاز المدروسة وقيم التسارع الزائف للحصول على طيف الاستجابة المطلوب ، وذلك بالاعتماد على برامج خاصة تم تصميمها في بيئة VBA Excel لهذا الهدف .

يوضح الشكل التالي أطياف الإستجابة المستنتجة عن الشدات المختلفة:

تأثير تغير التخامد مع تسارع الإستجابة على تحليل الإطارات البيتونية المسلحة متعددة الطوابق باستخدام طريقة طيف الاستجابة



الشكل 4: أطياف الاستجابة المستنتجة عند شدات مختلفة من زلزال ELCentro

#### [4] - نتائج تحليل الإطارات المدر وسة:

#### ♦ الاطار المؤلف من طابق واحد :

تم إجراء تحليل للإطار المدروس المؤلف من طابق واحد باستخدام برنامج ETABS ، وذلك بالاعتماد على طريقة طيف الاستجابة (Response Spectrum) ، وقد نفذ التحليل بطريقتين الأولى باعتماد أطياف الاستجابة الناتجة عن افتراض نسبة تخامد ثابتة ، والثانية باعتماد أطياف الاستجابة المستتجة عند نفس الشدات الزلزالية ، ولكن مع افتراض نسبة تخامد متغيرة مع الزمن ومرتبطة بتسارع الاستجابة . أجري التحليل لكلتا الحالتين عند ست شدات مختلفة لزلزال EI وحرتبطة بتسارع الاستجابة . أجري التحليل لكلتا الحالتين عند ست شدات مختلفة لزلزال الإنتقالات القصوى الناتجة لكل حالة ، كما تم حساب نسبة الزيادة في الانتقالات عند اعتماد التخامد المتغير مع استخدام الحالة التقليدية ذات التخامد الثابت . يبين الجدول التالى قيم الانتقالات عند كل شدة زلزالية :

الجدول (1): قيم الانتقالات الأعظمية للإطار بطابق واحد عند الشدات الزلزالية المختلفة بواحدة (m):

الشدة الزلز الية	$\xi = 5\%$	$\xi(u'')$	<i>ξ(u'')</i> /5%
10%	0.008466	0.011713	1.384
20%	0.016931	0.022408	1.323
30%	0.025395	0.032784	1.291
50%	0.042328	0.052659	1.244
100%	0.084654	0.099879	1.18
120%	0.101585	0.11844	1.166

بشكل مشابه تم في الجدول (2) مقارنة قيم قوى القص القاعدي الناتجة عن التحليل عند كل شدة من الشدات الزلزالية .

الجدول(2): قيم قوة القص القاعدي للإطار بطابق واحد عند الشدات الزلزالية المختلفة بواحدة (KN):

الشدة	ζ <b>_</b> Ε0/	7(011)	ζ(a,!!\)/ <b>E</b> 0/
الزلزالية	$\xi = 5\%$	$\xi(u'')$	$\xi(u'')/5\%$
10%	60.978	84.365	1.384
20%	121.948	161.403	1.324
30%	182.919	236.137	1.291
50%	304.879	379.294	1.244
100%	609.749	719.413	1.18
120%	731.7	853.107	1.166

من خلال الجداول السابقة نلاحظ أن اعتماد نسبة تخامد متغيرة مع الزمن  $\xi(u'')$  أدى لزيادة في قوى القص ، والانتقالات الطابقية مقارنة مع الحالة التقليدية . وقد تراوحت هذه الزيادة بين %38.4 عند الشدة %10 و %16.6 عند الشدة %120 ، وهذا يعكس التأثير المهم للتخامد المتغير في التحليل الديناميكي ، وخاصة عند الشدات المنخفضة مما يستدعي النظر بجدية في قيم التخامد المعتمدة عند تحليل و تصميم المنشآت المقاومة للزلازل .

# تأثير تغير التخامد مع تسارع الإستجابة على تحليل الإطارات البيتونية المسلحة متعددة الطوابق باستخدام طريقة طريقة طريقة

### ♦ الاطار المؤلف من طابقين :

تم تحليل الاطار المؤلف من طابقين باستخدام طريقة طيف الاستجابة وبنفس الآلية المعتمدة في تحليل الإطار من طابق واحد . تبين أن الاعتماد على طيف استجابة مستنتج من نسبة تخامد متغيرة مرتبطة بتسارع الاستجابة أدى إلى زيادة في قيم الانتقالات الطابقية وقوى القص القاعدية . وقد تراوحت هذه الزيادة بين %39.9 عند الشدة الزلزالية %10 و %19 عند الشدة %120 مقارنة بالتحليل الذي اعتمد تخامد ثابت . وسوف نستعرض نتائج التحليل بشكل مفصل في الجداول التالية:

الجدول (3): قيم الانتقالات الأعظمية للإطار بطابقين عند الشدات الزلزالية المختلفة بواحدة (m):

الشدة الزلز الية	Story	$\xi = 5\%$	$\xi(u'')$	<i>ξ</i> ( <i>u</i> ′′)/5%
	2 <sup>nd</sup>	0.024111	0.033742	1.399
10%	1 <sup>st</sup>	0.012437	0.017404	1.399
	Base	0	0	
	2 <sup>nd</sup>	0.048204	0.065229	1.353
20%	1 <sup>st</sup>	0.024864	0.033645	1.353
	Base	0	0	
	2 <sup>nd</sup>	0.072268	0.095699	1.324
30%	1 <sup>st</sup>	0.037277	0.049361	1.324
	Base	0	0	
	2 <sup>nd</sup>	0.120489	0.153893	1.277
50%	1 <sup>st</sup>	0.062151	0.079379	1.277
	Base	0	0	
	2 <sup>nd</sup>	0.240982	0.29311	1.216
100%	1 <sup>st</sup>	0.124303	0.151197	1.216
	Base	0	0	
	2 <sup>nd</sup>	0.289172	0.346739	1.199
120%	1 <sup>st</sup>	0.149161	0.17886	1.199
	Base	0	0	

الجدول (4): قيم قوة القص القاعدي للإطار بطابقين عند الشدات الزلزالية المختلفة بواحدة (KN):

الشدة الزلزالية	$\xi = 5\%$	$\xi(u^{\prime\prime})$	<i>ξ(u'')</i> /5%
10%	79.0276	110.5831	1.399
20%	157.995	213.778	1.353
30%	236.8722	313.6302	1.324
50%	394.9239	504.3839	1.277
100%	789.8572	960.7833	1.216
120%	947.8104	1136.576	1.199

#### ♦ الاطار المؤلف من ثلاث طوابق :

تم دراسة الإطار المؤلف من ثلاث طوابق حيث يوضح الجدول (5) أن قيم الانتقالات الطابقية العظمى تزداد بوضوح عند استخدام نسبة تخامد متغيرة مقارنة بنسبة تخامد ثابتة . تتركز هذه الزيادة عند الشدات الزلزالية المنخفضة حيث وصلت نسبة الزيادة الى حوالي %34 عند الشدة %10 . ومع تزايد الشدة الزلزالية تتخفض نسبة الزيادة تدريجياً لتصل إلى حوالي %22 عند الشدة %120 . وهذا يعكس سلوكاً مماثلاً لما لوحظ في الإطارات ذات الطابق الواحد والطابقين ، حيث أن تأثير نسبة التخامد المتغيرة يكون أوضح في الزلازل الضعيفة ، بينما يتقلص تأثيرها تدريجياً مع زيادة الشدة الزلزالية .

الجدول (5) : قيم الانتقالات الأعظمية للإطار بثلاث طوابق عند الشدات الزلزالية المختلفة بواحدة (m) :

الشدة الزلزالية	story	$\xi = 5\%$	$\xi(u'')$	<i>ξ(u'')</i> /5%
	3rd	0.043786	0.058981	1.347
10%	2nd	0.032791	0.044169	1.347
10%	1st	0.015203	0.020444	1.345
	Base	0	0	
20%	3rd	0.087683	0.115026	1.312
20%	2nd	0.065665	0.086139	1.312

تأثير تغير التخامد مع تسارع الإستجابة على تحليل الإطارات البيتونية المسلحة متعددة الطوابق باستخدام طريقة طريقة طيف الإستجابة

	1st	0.030444	0.039868	1.310
	Base	0	0	
	3rd	0.131499	0.170062	1.293
30%	2nd	0.098478	0.127353	1.293
30%	1st	0.045657	0.058941	1.291
	Base	0	0	
	3rd	0.219004	0.277586	1.267
50%	2nd	0.164009	0.207872	1.267
50%	1st	0.07604	0.096214	1.265
	Base	0	0	
	3rd	0.438228	0.539099	1.230
100%	2nd	0.328184	0.403709	1.230
100%	1st	0.152155	0.186875	1.228
	Base	0	0	
	3rd	0.525851	0.642281	1.221
4000/	2nd	0.393804	0.480979	1.221
120%	1st	0.182579	0.222657	1.220
	Base	0	0	

كما يبين الجدول (6) أن استخدام نسبة تخامد متغيرة يؤدي على زيادة واضحة في قيم قوة القص القاعدي مقارنة بنسبة تخامد ثابتة %5 ، وذلك في جميع مستويات الشدة الزلزالية . حيث تظهر أعلى نسبة زيادة عند الشدة \100 بمقدار حوالي \34.3% بينما تقل تدريجيا مع ارتفاع الشدة لتصل إلى \21.8% عند الشدة القصوى \120% .

الجدول (6) : قيم قوة القص القاعدي للإطار بثلاث طوابق عند الشدات الزلزالية المختلفة بواحدة (KN) :

الشدة الزلز الية	$\xi = 5\%$	$\xi(u'')$	<i>ξ(u'')</i> /5%
10%	92.6736	124.4699	1.343
20%	185.5746	242.6978	1.308
30%	278.3061	358.7939	1.289
50%	463.5209	585.7012	1.264

100%	927.4867	1137.645	1.227
120%	1112.938	1355.548	1.218

# ♦ الإطار المؤلف من أربع طوايق :

تظهر النتائج في الجدولين (7) و (8) أن استخدام نسبة تخامد متغيرة في تحليل الإطارات المؤلفة من أربع طوابق بدلاً من استخدام نسبة ثابتة %5 يؤثر بشكل واضح على قيم الانتقالات الطابقية وقوى القص القاعدي ، ولكن بشكل أقل مقارنة بالاطارات ذات عدد الطوابق الأقل .

يبين الجدول (7) أن نسبة الزيادة في الانتقالات الطابقية نقل تدريجياً مع ازدياد الشدة الزلزالية ، حيث بلغت قيم الزيادة حوالي %22 عند الشدة %10 وتتخفض الى %9 عند الشدة %120 .

أما الجدول (8) فيظهر أن قوة القص القاعدي تتأثر بشكل مشابه ، حيث نلاحظ ارتفاعاً في القوة عند استخدام نسبة تخامد متغيرة ، إلا أن نسبة الزيادة تتخفض مع زيادة الشدة الزلزالية .

بالمقارنة مع الإطارات السابقة ، يمكن القول أن الاطار من أربع طوابق يظهر تأثراً أقل بنسبة التخامد المتغيرة .

الجدول (7): قيم الانتقالات الأعظمية للإطار بأربع طوابق عند الشدات الزلزالية المختلفة بواحدة (m):

الشدة الزلز الية	story	$\xi = 5\%$	$\xi(u'')$	<i>ξ</i> ( <i>u</i> ")/5%
	4th	0.03372	0.040718	1.208
	3rd	0.027984	0.033772	1.207
10%	2nd	0.019341	0.023411	1.210
	1st	0.008052	0.00982	1.220
	Base	0	0	
	4th	0.067248	0.079453	1.181
20%	3rd	0.055805	0.065899	1.181
	2nd	0.038579	0.045681	1.184

تأثير تغير التخامد مع تسارع الإستجابة على تحليل الإطارات البيتونية المسلحة متعددة الطوابق باستخدام طريقة طريقة طيف الإستجابة

	1st	0.016068	0.019158	1.192
	Base	0	0	
	4th	0.100937	0.115969	1.149
	3rd	0.083762	0.096162	1.148
30%	2nd	0.057903	0.06673	1.152
	1st	0.024114	0.028035	1.163
	Base	0	0	
	4th	0.168186	0.187991	1.118
	3rd	0.139567	0.155859	1.117
50%	2nd	0.096482	0.108231	1.122
	1st	0.040183	0.045521	1.133
	Base	0	0	
	4th	0.33622	0.362393	1.078
	3rd	0.279008	0.300392	1.077
100%	2nd	0.192883	0.20878	1.082
	1st	0.080336	0.087935	1.095
	Base	0	0	
	4th	0.403435	0.430026	1.066
	3rd	0.334784	0.356416	1.065
120%	2nd	0.231444	0.247833	1.071
	1st	0.096398	0.104458	1.084
	Base	0	0	

الجدول (8) : قيم قوة القص القاعدي للإطار بأربع طوابق عند الشدات الزلزالية المختلفة بواحدة (KN) :

الشدة الزلزالية	$\xi = 5\%$	$\xi(u^{\prime\prime})$	<i>ξ(u'')</i> /5%
10%	62.064	76.1945	1.228
20%	123.8768	148.6064	1.200
30%	185.9002	217.6726	1.171
50%	309.7828	353.6391	1.142
100%	619.3673	683.646	1.104
120%	743.2026	812.4279	1.093

### ♦ الإطارالمؤلف من ستة طوابق :

يبين الجدول (9) تأثير استخدام نسبة تخامد متغيرة على قيم الانتقالات الطابقية لإطارمؤلف من ستة طوابق . نلاحظ من خلال النسبة بين قيم الانتقالات الناتجة عن التخامد المتغير إلى التخامد الثابت أن تأثير التخامد المتغير على الانتقالات يكون اكبر عند الزلازل الضعيفة ، ويقل تدريجياً مع زيادة الشدة الزلزالية . عند شدة زلزالية %10 ، تكون نسبة الزيادة في معظم الطوابق أكبر من 40% ، مما يشير إلى أن التخامد المتغير يؤدي إلى زيادة كبيرة في الانتقالات .أما عند الشدة العالية %120 ، فإن النسبة تتخفض لتصل الى %29 ، مما يعني تأثيراً أقل للتخامد المتغير .

الجدول (9): قيم الانتقالات الأعظمية للإطار من ستة طوابق عند الشدات الزلزالية المختلفة بواحدة (m):

الشدة	otory	ζ <b>_ Γ</b> 0/	ζ(a,!!)	ζ(α,!!\)/Ε0/
الزلزالية	story	$\xi = 5\%$	$\xi(u'')$	$\xi(u^{\prime\prime})/5\%$
	6th	0.052464	0.077837	1.484
	5th	0.04644	0.069199	1.490
	4th	0.038171	0.056702	1.485
10%	3rd	0.028187	0.041207	1.462
	2nd	0.01674	0.024009	1.434
	1st	0.005847	0.008278	1.416
	Base	0	0	
	6th	0.104919	0.15497	1.477
	5th	0.092872	0.137867	1.484
	4th	0.076336	0.112914	1.479
20%	3rd	0.056371	0.081839	1.452
	2nd	0.033478	0.047536	1.420
	1st	0.011694	0.016355	1.399
	Base	0	0	
	6th	0.157348	0.228236	1.451
30%	5th	0.139282	0.203062	1.458
	4th	0.114482	0.166302	1.453
	3rd	0.084538	0.120497	1.425
	2nd	0.050205	0.069973	1.394

تأثير تغير التخامد مع تسارع الإستجابة على تحليل الإطارات البيتونية المسلحة متعددة الطوابق باستخدام طريقة طريقة طريقة طريقة الإستجابة

	1st	0.017537	0.024072	1.373
	Base	0	0	
	6th	0.262161	0.372112	1.419
	5th	0.23206	0.331109	1.427
	4th	0.190742	0.271149	1.422
50%	3rd	0.140851	0.196367	1.394
	2nd	0.083649	0.113977	1.363
	1st	0.029219	0.039199	1.342
	Base	0	0	
	6th	0.524123	0.717616	1.369
100%	5th	0.463937	0.638574	1.376
	4th	0.381337	0.522923	1.371
	3rd	0.281607	0.378617	1.344
	2nd	0.167251	0.219736	1.314
	1st	0.058425	0.075575	1.294
	Base	0	0	
	6th	0.628939	0.85308	1.356
	5th	0.556717	0.759088	1.364
	4th	0.457598	0.621631	1.358
120%	3rd	0.337923	0.450146	1.332
	2nd	0.200698	0.261304	1.302
	1st	0.070108	0.089887	1.282
	Base	0	0	

يبين الجدول (10) تأثير التخامد المتغير على قوة القص القاعدي ، حيث نلاحظ أن استخدام التخامد المتغير يؤدي الى زيادة ملحوظة في القص القاعدي مقارنة باستخدام نسبة تخامد ثابتة .

الجدول (10): قيم قوة القص القاعدي للإطار من ستة طوابق عند الشدات الزلزالية المختلفة بواحدة (KN):

الشدة الزلزالية	$\xi = 5\%$	$\xi(u^{\prime\prime})$	<i>ξ(u'')</i> /5%
10%	79.9503	111.5093	1.395
20%	159.9044	219.7488	1.374

30%	239.7801	323.3776	1.349
50%	399.5384	526.48	1.318
100%	798.9166	1015.258	1.271
120%	958.6821	1207.77	1.260

مما سبق نستطيع القول أن الاطار من ستة طوابق يظهر نفس الاتجاه الذي تم ملاحظته في الإطارات الأخرى: يزداد تأثير التخامد المتغير في الزلازل الضعيفة ويقل تدريجياً مع زيادة الشدة الزلزالية ، ومع ذلك تبقى القيم أعلى مقارنة بالاطارات ذات عدد الطوابق الأقل.

### الإطار المؤلف من تسعة طوايق:

يوضح الجدول (11) قيم الانتقالات الطابقية للاطار من تسعة طوابق تحت تأثير الشدات الزلزالية المختلفة ، ومقدار الزيادة الناتجة عن استخدام التخامد المتغير . يظهر من خلال الجدول زيادة في قيم الانتقالات الطابقية مع زيادة الشدة الزلزالية سواء باستخدام تخامد ثابت او متغير ، حيث تراوحت نسبة الزيادة في الانتقالات بين التخامد المتغير والثابت بين %24.9 في الطابق الأول عند الشدة المنخفضة %10، وتناقصت تدريجياً لتصل إلى %17 في نفس الطابق عند الشدة %120 .

الجدول (11) : قيم الانتقالات الأعظمية للإطار من تسعة طوابق عند الشدات الزلزالية المختلفة بواحدة (m) :

الشدة الزلزالية	story	$\xi = 5\%$	$\xi(u'')$	<i>ξ(u'')</i> /5%
	9th	0.133324	0.159551	1.197
	8th	0.124035	0.147999	1.193
	7th	0.110301	0.131357	1.191
	6th	0.094564	0.112916	1.194
10%	5th	0.076214	0.0918	1.205
1076	4th	0.058325	0.071032	1.218
	3rd	0.040488	0.049824	1.231
	2nd	0.022651	0.028113	1.241
	1st	0.00737	0.009206	1.249
	Base	0	0	
20%	9th	0.267682	0.317659	1.187

تأثير تغير التخامد مع تسارع الإستجابة على تحليل الإطارات البيتونية المسلحة متعددة الطوابق باستخدام طريقة طريقة طريقة الإستجابة

	8th	0.249041	0.294803	1.184
	7th	0.22147	0.26173	1.182
	6th	0.189866	0.22489	1.184
	5th	0.153006	0.182584	1.193
	4th	0.117074	0.141032	1.205
	3rd	0.081258	0.098754	1.215
	2nd	0.045451	0.055636	1.224
	1st	0.014787	0.018195	1.230
	Base	0	0	
	9th	0.401699	0.474729	1.182
	8th	0.373728	0.440722	1.179
	7th	0.332354	0.391363	1.178
	6th	0.284925	0.336173	1.180
200/	5th	0.229607	0.272666	1.188
30%	4th	0.175682	0.210351	1.197
	3rd	0.121932	0.147115	1.207
	2nd	0.068201	0.082796	1.214
	1st	0.022188	0.027056	1.219
	Base	0	0	
	9th	0.670424	0.784922	1.171
	8th	0.623751	0.728962	1.169
	7th	0.554703	0.647464	1.167
	6th	0.475536	0.555976	1.169
50%	5th	0.383193	0.450482	1.176
30%	4th	0.29318	0.347063	1.184
	3rd	0.203468	0.24241	1.191
	2nd	0.113799	0.136272	1.197
	1st	0.037021	0.044492	1.202
	Base	0	0	
	9th	1.341392	1.546832	1.153
	8th	1.248015	1.437212	1.152
100%	7th	1.109865	1.276898	1.150
	6th	0.951461	1.096017	1.152
	5th	0.76669	0.886879	1.157

ع ،ــدبوــي	J- <del></del>	يرتيا الأندابي	2020	, ,
	4th	0.586582	0.682108	1.163
	3rd	0.407082	0.475639	1.168
	2nd	0.227675	0.267011	1.173
	1st	0.074066	0.087086	1.176
	Base	0	0	
	9th	1.609665	1.848849	1.149
	8th	1.497613	1.717944	1.147
	7th	1.331832	1.526381	1.146
	6th	1.141749	1.310077	1.147
120%	5th	0.920025	1.059885	1.152
120%	4th	0.703896	0.814957	1.158
	3rd	0.488496	0.568132	1.163
	2nd	0.273209	0.318865	1.167
	1st	0.088879	0.103981	1.170
	Base	0	0	

يظهر الجدول (12) قيم قوة القص القاعدي للاطار عند الشدات الزلزالية المختلفة . ونلاحظ من الجدول أن استخدام التخامد المتغير يؤدي إلى زيادة في قوة القص القاعدي بنسبة تراوحت بين 26% عند الشدة %120 ، وتتخفض تدريجياً إلى \$17.5 عند الشدة %120.

الجدول (12) : قيم قوة القص القاعدي للإطار من تسعة طوابق عند الشدات الزلزالية المختلفة بواحدة (KN) :

الشدة الزلزالية	$\xi = 5\%$	$\xi(u^{\prime\prime})$	<i>ξ(u'')</i> /5%
10%	131.513	166.1573	1.263
20%	263.7735	327.6129	1.242
30%	395.7749	486.3919	1.229
50%	660.2661	798.5052	1.209
100%	1320.917	1559.882	1.181
120%	1585.094	1861.927	1.175

### ♦ الاطار المؤلف من إثنا عشر طابقاً:

# تأثير تغير التخامد مع تسارع الإستجابة على تحليل الإطارات البيتونية المسلحة متعددة الطوابق باستخدام طريقة طريقة طريقة

تم دراسة الإطار المؤلف من إثنا عشر طابقاً و يوضح الجدول (13) قيم الانتقالات الطابقية الاعظمية عند الشدات الزلزالية المختلفة . نلاحظ من خلال الجدول السابق أن التحليل باستخدام طيف استجابة ناتج عن تخامد متغير يعطي زيادة في الانتقالات عن التحليل باستخدام نسبة تخامد ثابتة %5 ، حيث تراوحت نسبة الزيادة في الطابق الأخير بين %30 عند الشدة %10 ، وانخفضت لتصل إلى %18.9 عند الشدة %10 .

الجدول (13) : قيم الانتقالات الأعظمية للإطار من اثنا عشر طابقاً عند الشدات الزلزالية المختلفة بواحدة (m) :

الشدة الزلز الية	story	$\xi = 5\%$	$\xi(u'')$	<i>ξ(u'')</i> /5%
. 33	12th	0.116763	0.151742	1.300
	11th	0.110585	0.143591	1.298
	10th	0.102166	0.132476	1.297
	9th	0.091865	0.119023	1.296
	8th	0.080867	0.104915	1.297
	7th	0.07002	0.091138	1.302
10%	6th	0.059149	0.077295	1.307
	5th	0.047957	0.062892	1.311
	4th	0.036559	0.048045	1.314
	3rd	0.025039	0.03292	1.315
	2nd	0.013872	0.018229	1.314
	1st	0.004387	0.005762	1.313
	Base	0	0	
	12th	0.234316	0.297531	1.270
	11th	0.221924	0.281671	1.269
	10th	0.205031	0.259991	1.268
20%	9th	0.184357	0.233614	1.267
2070	8th	0.162283	0.205817	1.268
	7th	0.140511	0.178611	1.271
	6th	0.118691	0.151277	1.275
	5th	0.096224	0.122892	1.277

4th         0.073345         0.093733         1.278           3rd         0.050226         0.064139         1.277           2nd         0.02782         0.035477         1.275           1st         0.008797         0.011204         1.274           Base         0         0           12th         0.351792         0.439082         1.248           11th         0.333191         0.415757         1.248           10th         0.307829         0.383855         1.247           9th         0.276788         0.34495         1.246           8th         0.243646         0.303826         1.247           7th         0.210957         0.263511         1.249           6th         0.178196         0.223019         1.252           5th         0.144462         0.181037         1.253           4th         0.110109         0.138         1.253	
2nd 0.02782 0.035477 1.275  1st 0.008797 0.011204 1.274  Base 0 0  12th 0.351792 0.439082 1.248  11th 0.333191 0.415757 1.248  10th 0.307829 0.383855 1.247  9th 0.276788 0.34495 1.246  8th 0.243646 0.303826 1.247  7th 0.210957 0.263511 1.249  6th 0.178196 0.223019 1.252  5th 0.144462 0.181037 1.253	
1st 0.008797 0.011204 1.274  Base 0 0  12th 0.351792 0.439082 1.248  11th 0.333191 0.415757 1.248  10th 0.307829 0.383855 1.247  9th 0.276788 0.34495 1.246  8th 0.243646 0.303826 1.247  7th 0.210957 0.263511 1.249  30% 6th 0.178196 0.223019 1.252  5th 0.144462 0.181037 1.253	
Base 0 0 1.248 12th 0.351792 0.439082 1.248 11th 0.333191 0.415757 1.248 10th 0.307829 0.383855 1.247 9th 0.276788 0.34495 1.246 8th 0.243646 0.303826 1.247 7th 0.210957 0.263511 1.249 6th 0.178196 0.223019 1.252 5th 0.144462 0.181037 1.253	
12th 0.351792 0.439082 1.248 11th 0.333191 0.415757 1.248 10th 0.307829 0.383855 1.247 9th 0.276788 0.34495 1.246 8th 0.243646 0.303826 1.247 7th 0.210957 0.263511 1.249 6th 0.178196 0.223019 1.252 5th 0.144462 0.181037 1.253	
11th 0.333191 0.415757 1.248 10th 0.307829 0.383855 1.247 9th 0.276788 0.34495 1.246 8th 0.243646 0.303826 1.247 7th 0.210957 0.263511 1.249 6th 0.178196 0.223019 1.252 5th 0.144462 0.181037 1.253	
10th 0.307829 0.383855 1.247 9th 0.276788 0.34495 1.246 8th 0.243646 0.303826 1.247 7th 0.210957 0.263511 1.249 6th 0.178196 0.223019 1.252 5th 0.144462 0.181037 1.253	
9th 0.276788 0.34495 1.246 8th 0.243646 0.303826 1.247 7th 0.210957 0.263511 1.249 6th 0.178196 0.223019 1.252 5th 0.144462 0.181037 1.253	
8th 0.243646 0.303826 1.247 7th 0.210957 0.263511 1.249 6th 0.178196 0.223019 1.252 5th 0.144462 0.181037 1.253	
7th 0.210957 0.263511 1.249 6th 0.178196 0.223019 1.252 5th 0.144462 0.181037 1.253	
30% 6th 0.178196 0.223019 1.252 5th 0.144462 0.181037 1.253	
5th 0.144462 0.181037 1.253	
4th 0.110109 0.138 1.253	
3rd 0.075397 0.094395 1.252	
2nd 0.041759 0.052201 1.250	
1st 0.013204 0.016483 1.248	
Base 0 0	
12th 0.584008 0.719183 1.231	
11th 0.553102 0.68115 1.232	
10th 0.510982 0.629078 1.231	
9th 0.459456 0.565386 1.231	
8th 0.40446 0.497822 1.231	
7th 0.350225 0.43146 1.232	
50% 6th 0.295871 0.36483 1.233	
5th 0.239899 0.295869 1.233	
4th 0.182889 0.225344 1.232	
3rd 0.125262 0.154045 1.230	
2nd 0.069394 0.085151 1.227	
1st 0.021946 0.026879 1.225	
Base 0 0	
12th 1.16759 1.400316 1.199	
11th 1.105795 1.326397 1.199	
11th 1.105795 1.326397 1.199	

تأثير تغير التخامد مع تسارع الإستجابة على تحليل الإطارات البيتونية المسلحة متعددة الطوابق باستخدام طريقة طيف الإستجابة

	7th	0.700195	0.839954	1.200
	6th	0.59153	0.709943	1.200
	5th	0.479632	0.575517	1.200
	4th	0.365656	0.438199	1.198
	3rd	0.250445	0.299502	1.196
	2nd	0.138747	0.165539	1.193
	1st	0.04388	0.05225	1.191
	Base	0	0	
	12th	1.401357	1.666017	1.189
	11th	1.327193	1.578079	1.189
	10th	1.226123	1.457681	1.189
	9th	1.102484	1.310221	1.188
	8th	0.97052	1.15346	1.188
	7th	0.840382	0.999301	1.189
120%	6th	0.709959	0.844569	1.190
	5th	0.575656	0.684626	1.189
	4th	0.438858	0.521287	1.188
	3rd	0.300579	0.356321	1.185
	2nd	0.166519	0.196967	1.183
	1st	0.052663	0.062177	1.181
	Base	0	0	

بينما يوضح الجدول (14) مقارنة لقيم قوة القص القاعدي ، حيث انخفضت نسبة الزيادة الناتجة عن استخدام التخامد المتغير من %31 عند الشدة %17.5 عند الشدة %120 .

الجدول (14): قيم قوة القص القاعدي للإطار من اثنا عشرطابقاً عند الشدات الزلزالية المختلفة بواحدة (KN):

الشدة الزلزالية	$\xi = 5\%$	$\xi(u'')$	<i>ξ(u'')</i> /5%
10%	95.7791	125.5636	1.311
20%	191.9695	243.724	1.270
30%	288.1104	358.4539	1.244
50%	479.1129	584.1143	1.219

<u>ص</u>	عة حم	لة جام	مجا	
2025 ۽	8 عا	العدد	47	المجلد

سلسلة العلوم الهندسية المدنية والمعمارية مريم الإبراهيم ديسليمان العامودي

100%	958.0082	1135.25	1.185
120%	1149.733	1351.305	1.175

# ♦ الاطار المؤلف من خمسة عشر طابقاً:

بشكل مشابه لما سبق تم دراسة الإطار المؤلف من خمسة عشر طابقاً ، حيث يعرض الجدول (15) قيم الانتقالات الطابقية للاطار عند الشدات المختلفة مع مقارنة بين التخامد الثابت والمتغير .

نلاحظ من خلال الجدول السابق أن نسبة الزيادة في قيم الانتقالات تتناقص تدريجياً عند الشدة الزلزالية 10% من 13% عند الطابق الأول حتى 4.7% عند الطابق الخامس عشر ، مما يؤكد تناقص أثر التخامد المتغير على ارتفاع الطوابق . أيضاً نلاحظ تناقص في نسبة الزيادة مع انخفاض الشدة الزلزالية حيث وصلت نسبة الزيادة إلى 10% في الطابق الأول عند الشدة 120% .

الجدول (15): قيم الانتقالات الأعظمية للإطار من خمسة عشر طابقاً عند الشدات الزلزالية المختلفة بواحدة (m):

الشدة الزلزالية	story	$\xi = 5\%$	$\xi(u'')$	<i>ξ(u'')</i> /5%
	15th	0.100166	0.104834	1.047
	14th	0.095468	0.09968	1.044
	13th	0.08962	0.093451	1.043
	12th	0.082842	0.086342	1.042
	11th	0.075704	0.078887	1.042
	10th	0.068692	0.071684	1.044
10%	9th	0.061677	0.064579	1.047
	8th	0.05442	0.057235	1.052
	7th	0.046967	0.049622	1.057
	6th	0.039399	0.041842	1.062
	5th	0.031822	0.034067	1.071
	4th	0.024102	0.026119	1.084
	3rd	0.016307	0.017934	1.100

تأثير تغير التخامد مع تسارع الإستجابة على تحليل الإطارات البيتونية المسلحة متعددة الطوابق باستخدام طريقة طريقة

	2nd	0.008802	0.009828	1.117
	1st	0.002698	0.003052	1.131
	Base	0	0	
	15th	0.189798	0.207972	1.096
	14th	0.180742	0.197766	1.094
	13th	0.169558	0.185397	1.093
	12th	0.156709	0.171295	1.093
	11th	0.143234	0.15652	1.093
	10th	0.130044	0.142226	1.094
	9th	0.116878	0.128109	1.096
200/	8th	0.10327	0.113518	1.099
20%	7th	0.089293	0.098411	1.102
	6th	0.075093	0.082986	1.105
	5th	0.060862	0.067562	1.110
	4th	0.046295	0.051767	1.118
	3rd	0.03146	0.035498	1.128
	2nd	0.01705	0.01942	1.139
	1st	0.005242	0.006021	1.149
	Base	0	0	
	15th	0.283212	0.312552	1.104
	14th	0.269673	0.29729	1.102
	13th	0.252968	0.278735	1.102
	12th	0.233792	0.257547	1.102
	11th	0.213694	0.235339	1.101
	10th	0.194028	0.213813	1.102
	9th	0.174404	0.19252	1.104
30%	8th	0.154123	0.170512	1.106
	7th	0.133292	0.14775	1.108
	6th	0.112125	0.124525	1.111
	5th	0.090908	0.101296	1.114
	4th	0.069181	0.077519	1.121
	3rd	0.047033	0.053079	1.129
	2nd	0.0255	0.028996	1.137
	1st	0.007842	0.008978	1.145

		La . 2. 5. La 2.		,
	Base	0	0	
	15th	0.472527	0.515952	1.092
	14th	0.449948	0.490847	1.091
	13th	0.422084	0.460275	1.090
	12th	0.390091	0.425336	1.090
	11th	0.356556	0.388682	1.090
	10th	0.323737	0.353077	1.091
	9th	0.290984	0.317795	1.092
50%	8th	0.257137	0.281324	1.094
30%	7th	0.22237	0.243657	1.096
	6th	0.187046	0.205277	1.097
	5th	0.151639	0.166906	1.101
	4th	0.115387	0.127643	1.106
	3rd	0.07844	0.08733	1.113
	2nd	0.042524	0.047666	1.121
	1st	0.013077	0.014747	1.128
	Base	0	0	
	15th	0.941663	1.018647	1.082
	14th	0.896611	0.969329	1.081
	13th	0.841044	0.90915	1.081
	12th	0.777282	0.840293	1.081
	11th	0.710471	0.767938	1.081
	10th	0.645105	0.697427	1.081
	9th	0.579884	0.627389	1.082
100%	8th	0.512487	0.554983	1.083
100%	7th	0.443256	0.480337	1.084
	6th	0.372912	0.404431	1.085
	5th	0.302397	0.328615	1.087
	4th	0.230172	0.251092	1.091
	3rd	0.156517	0.171614	1.096
	2nd	0.084874	0.093568	1.102
	1st	0.026106	0.02892	1.108
	Base	0	0	
	15th	1.128759	1.217709	1.079
120%	14th	1.074737	1.158831	1.078
	13th	1.008117	1.086961	1.078

تأثير تغير التخامد مع تسارع الإستجابة على تحليل الإطارات البيتونية المسلحة متعددة الطوابق باستخدام طريقة طريقة طيف الإستجابة

12th	0.931685	1.004692	1.078
11th	0.851606	0.918194	1.078
10th	0.773265	0.83383	1.078
9th	0.695101	0.749983	1.079
8th	0.614331	0.663296	1.080
7th	0.531363	0.573965	1.080
6th	0.447059	0.483173	1.081
5th	0.362549	0.392522	1.083
4th	0.275981	0.299864	1.087
3rd	0.187685	0.20491	1.092
2nd	0.101783	0.1117	1.097
1st	0.031309	0.034519	1.103
Base	0	0	

يعرض الجدول (16) قيم قوة القص القاعدي للاطار من خمسة عشر طابقاً مع اختلاف الشدة الزلزالية . ونلاحظ من خلال الجدول السابق أن نسبة الزيادة تتخفض من %17.6 حتى %11.8 مع زيادة الشدة الزلزالية من %10 حتى %120 .

الجدول (16) : قيم قوة القص القاعدي للإطار من خمسة عشر طابقاً عند الشدات الزلزالية المختلفة بواحدة (KN) :

الشدة الزلزالية	$\xi = 5\%$	$\xi(u'')$	<i>ξ</i> ( <i>u</i> '')/5%
10%	80.3117	94.4229	1.176
20%	157.446	185.3745	1.177
30%	235.7438	275.4018	1.168
50%	393.0469	451.3087	1.148
100%	785.1062	882.3935	1.124
120%	941.7489	1052.679	1.118

من خلال ماسبق يمكن تلخيص النتائج كما يلي:

# سلسلة العلوم الهندسية المدنية والمعمارية مريم الإبراهيم ديسليمان العامودي

-1 يعطي استخدام أطياف إستجابة مستنجة مع افتراض نموذج التخامد المتغير  $\xi(u'')$  زيادة في قيم الانتقالات وقوى القص القاعدي ، مقارنة مع القيم المحسوبة بالاعتماد على أطياف الاستجابة المستنجة مع افتراض نسبة تخامد ثابتة  $\xi=5$  .

يتناقص هذا الفرق تدريجياً مع زيادة الشدة الزلزالية ، مما يعني أن تأثير التخامد المتغير يكون اكثر وضوحاً في الزلازل الضعيفة حيث تكون الاستجابات غير الخطية محدودة ، أما في الزلازل القوية يصبح السلوك اللاخطي هو المسيطر مما يقلل من تأثير التخامد المتغير .

2- نلاحظ أن الأبنية القليلة الارتفاع (عدد الطوابق من 1 الى 4) نتأثر بشكل أكبر بتغيير نسبة التخامد حيث وصلت نسبة الزيادة في قوة القص الى 38.4% عند الشدة %10.

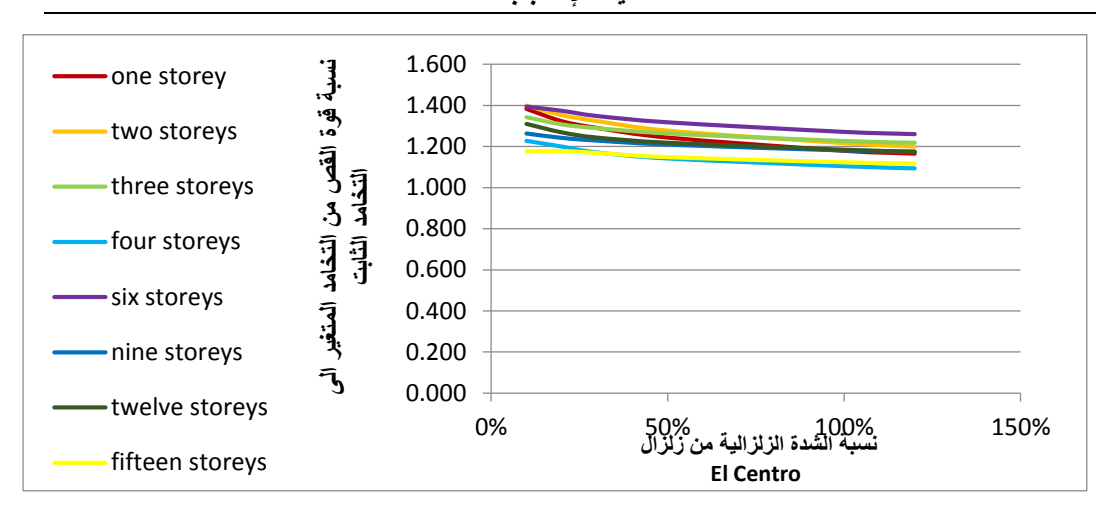
مع زيادة عدد الطوابق ، ينخفض هذا الأثر تدريجياً ، حيث وصلت نسبة الزيادة الى %17.6 عند نفس الشدة للإطار من خمسة عشر طابقاً .ومع ذلك نلاحظ أن تأثير زيادة عدد الطوابق كان متقارب نسبياً ، بينما الاختلاف الأكبر يكون مع تغير الشدة الزلزالية .

يلخص الجدول التالي الفرق بقيمة قوة القص القاعدي بين التخامد المتغير والثابت مع تغير كل من عدد الطوابق والشدة الزلزالية:

الجدول (17): الفرق بين قوى القص القاعدي بحالتي التخامد المتغير والثابت:

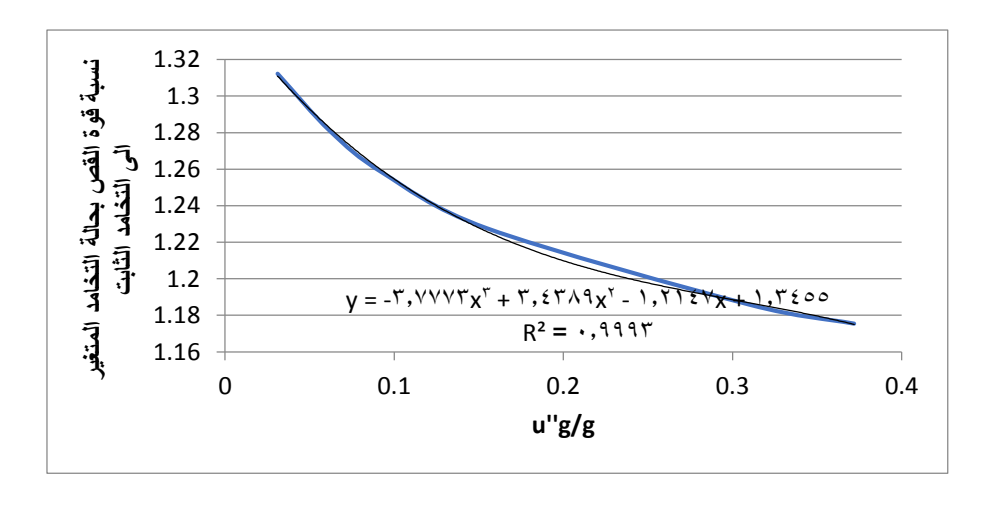
that at a str	عدد الطوابق							
الشدة الزلزالية	1	2	3	4	6	9	12	15
10%	1.384	1.399	1.343	1.228	1.395	1.263	1.311	1.176
20%	1.324	1.353	1.308	1.200	1.374	1.242	1.270	1.177
30%	1.291	1.324	1.289	1.171	1.349	1.229	1.244	1.168
50%	1.244	1.277	1.264	1.142	1.318	1.209	1.219	1.148
100%	1.180	1.216	1.227	1.104	1.271	1.181	1.185	1.124
120%	1.166	1.199	1.218	1.093	1.260	1.175	1.175	1.118

تأثير تغير التخامد مع تسارع الإستجابة على تحليل الإطارات البيتونية المسلحة متعددة الطوابق باستخدام طريقة طيف الاستجابة



الشكل5: نسبة قوة القص القاعدي بحالة التخامد المتغير الى القوة بحالة التخامد الثابت مع اختلاف عدد الطوابق واختلاف الشدة الزلزالية

من خلال الشكل 5 نلاحظ أن الفروقات متقاربة بغض النظر عن عدد الطوابق وبالتالي يمكن التعبير عن هذه الفروقات بحزمة وسطية وفق الشكل التالي:



الشكل 6: متوسط الفرق بين قوة القص القاعدي بحالة التخامد المتغير الى القوة بحالة التخامد الشكل 6: متوسط الفرق بين قوة القابت مع تغير الشدة الزلزالية

تم اقتراح علاقة رياضية تربط بين الشدة الأعظمية للسجل الزلزالي المطبق منسوبة الى تسارع المجاذبية الأرضية والمعامل m والذي يمثل مقدار الزيادة في القيم التصميمية بين التخامد المتغير والثابت وتوصف هذه العلاقة بالمعادلة التالية:

$$m = -3.7773(U_g''/g)^3 + 3.4389(U_g''/g)^2 - 1.2147(U_g''/g) + 0.3455 \dots [1]$$

وبالتالي من خلال العلاقة السابقة يمكن الحصول على نسبة تخامد مكافئة بحيث أن اعتمادها في التحليل سوف يعطي نتائج متقاربة مع النتائج في حال تم التحليل باعتماد نسبة تخامد متغيرة ومتعلقة بتسارع الاستجابة:

$$\xi_{eq} = 0.05 \times (1 - m) \dots [2]$$

بهدف التحقق من إمكانية استخدام العلاقة السابقة تم تحليل الإطار التجريبي الوارد في الدراسة المرجعية رقم [4] عند الشدات الزلزالية 0.07g و 0.014g و 0.19g .

الإطار المدروس هو عبارة عن اطار مستوي من البيتون المسلح مؤلف من فتحتين وثلاثة طوابق ((ارتفاع الطوابق 3.5m والمجازات 5m)، تم تصغير الإطار السابق بمقياس 3.5m للحصول على نموذج مخبري يتناسب مع قدرة طاولة الاهتزاز المتوفرة ويظهر الشكل [7] الأبعاد الهندسية للنموذج المخبري.

مقاطع الأعمدة كانت ( الارتفاع mm 150 mm والعرض mm 105 ) ومسلحة بتسليح طولي (3+3) قطر 4mm وتسليح عرضي قطر 4mm بتباعدات 50mm .

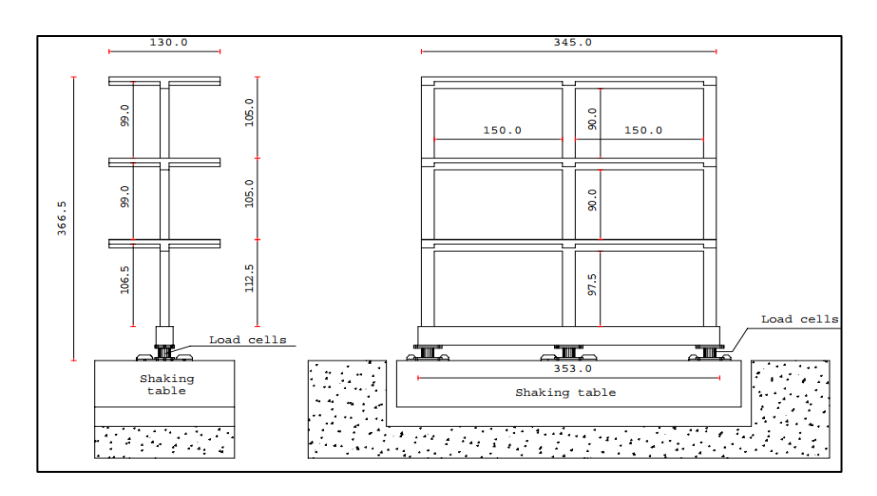
مقاطع كافة الجوائز كانت بشكل Tee أبعادها (60+90 ) ارتفاع، و (50+105+50) عرض.

تسليح الجوائز بمنطقة العقد كان (TTop+5Bottom) بقطر 4mm كتسليح طولي ، بينما التسليح العرضي فكان بقطر 4mm وبتباعدات 50mm .

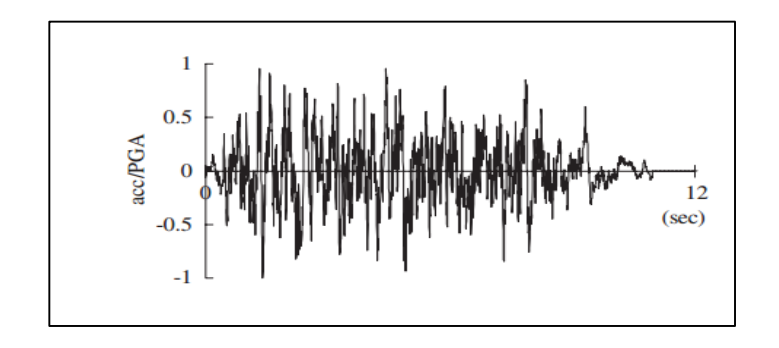
# تأثير تغير التخامد مع تسارع الإستجابة على تحليل الإطارات البيتونية المسلحة متعددة الطوابق باستخدام طريقة طريقة طريقة

صمم الإطار وفق الكود الأوربي Ec8 مع الأخذ بعين الاعتبار تصنيف الاطارات منخفضة المطاوعة والتي تبدي آلية انهيار عمود ضعيف-جائز قوي .

تم تعريض النموذج الى سجل زلزالي متوافق مع طيف الاستجابة الخاص بالكود الأوربي مع تغيير نسبة الشدة الزلزالية بشكل تدريجي حتى الانهيار (0.28g ، 0.19g ، 0.14g ، 0.07g) حيث انهار النموذج عند شدة 0.28g .



الشكل 7: الأبعاد الهندسية للإطار المختبر في الدراسة المرجعية [4].



الشكل 8: سجل الحركة لطاولة الاهتزاز في الدراسة المرجعية [4].

يوضح الجدول (18) قيم نسبة التخامد المكافئة المعتمدة في التحليل باستخدام برنامج ETABS . والمحسوبة من العلاقة المقترحة اعتماداً على قيمة الشدة الزلزالية المطبقة على النموذج .

الجدول (18): قيم نسبة التخامد المكافئة المستنتجة من العلاقة المقترحة

الشدة الأعظمية للسجل المطبق منسوبة الى تسارع الجاذبية	قيمة معامل التصحيح	نسبة التخامد المكافئة المقترحة
$U_g^{\prime\prime}/g$	m	$\xi_{eq}$
0.07	0.276	3.62%
0.14	0.232	3.84%
0.19g	0.213	3.9%

تم اجراء التحليل المرن للاطار التجريبي عند الشدة الزلزالية 0.07g باعتماد طريقة Modal Time تم اجراء التحليل المرن للاطار التجريبية أن سلوك الاطار عند هذه الشدة يبقى مرناً.

تم تحليل الاطار باستخدام برنامج ETABS مرة بإدخال نسبة تخامد ثابتة %5 ومرة بإدخال نسبة التخامد المكافئة ، وتم في الجدولين (19) و (20) مقارنة الانتقالات الأعظمية الناتجة مع القيم التجريبية ومع قيم الانتقالات الناتجة عن تحليل الاطار بنفس طريقة التحليل ولكن بإدخال نموذج التخامد المتغير والمتعلق بتسارع الاستجابة عبر برامج خاصة تم تصميمها لهذا الهدف [7] .

# تأثير تغير التخامد مع تسارع الإستجابة على تحليل الإطارات البيتونية المسلحة متعددة الطوابق باستخدام طريقة طيف الإستجابة

الجدول (19): قيم الانتقالات الطابقية الناتجة عن التحليل عند الشدة الزلزالية 0.07g بواحدة (mm)

			النتائج التحليلية	
رقم الطابق	القيم التجريبية	تخامد ثابت	تخامد متغير متعلق بتسار ع الاستجابة	نسبة التخامد المكافئة
	Ехр	5%	$\xi(u'')$	$\xi_{eq}$
1	2.30032	1.476	1.717	1.645
2	3.70607	3.044	3.539	3.4
3	4.7284	3.988	4.646	4.455

# الجدول (20) :نسبة الانتقالات التحليلية إلى التجريبية عند الشدة الزلزالية 0.07g

رقم الطابق	تخامد ثابت	تخامد متغير متعلق بتسارع الاستجابة	نسبة التخامد المكافئة	نسبة التخامد المكافئة / التخامد المتغير
الطابق	5%	$\xi(u^{\prime\prime})$	$\xi_{eq}$	$\xi_f/\xi(u^{\prime\prime})$
1	64.16%	74.64%	71.51%	95.8%
2	82.14%	95.5%	91.74%	96.06%
3	84.34%	98.26%	94.22%	95.89%

يتضح من الجدول (20) أن استخدام نسبة التخامد المكافئة المقترحة في هذا البحث أعطت نتائج متقاربة مع استخدام نموذج التخامد المتغير مع الزمن ، وهذا يؤكد أنه من الممكن استخدام هذا الأسلوب لإدخال تأثير التخامد المتغير على التحليل في برنامج ETABS .

من خلال النتائج التجريبية لاختبار الاطار السابق ، تبين انه يسلوك سلوكاً لاخطياً عند الشدات من خلال النتائج التجريبية لاختبار الاطار عند هذه الشدات تم إستخدام طريقة Nonlinear و 0.19g باعتماد نموذج تخامد رايلي مرة باستخدام نسبة التخامد الثابتة 5% ومرة باستخدام نسبة التخامد الفعالة المناسبة لكل شدة بهدف حساب معاملات الكتلة والصلابة اللازمة . تم مقارنة قيم الانتقالات الاعظمية في الطابق العلوي الناتجة عن التحليل مع النتائج التجريبية ، كما هو موضح في الجداول (21) و (22) :

الجدول(21) : قيم الانتقالات الاعظمية في الطابق الثالث عند الشدة الزلزالية 0.14g و (21) . واحدة (mm)

الشدة الزلز الية المطبقة على	القيم التجريبية	تخامد ثابت	نسبة التخامد المكافئة	
النموذج	Ехр	$\xi = 5\%$	$\xi_{eq}$	
0.14g	12.57	10.31	11.123	
0.19g	18.515	14.612	15.585	

الجدول(22): نسبة الانتقالات التحليلية إلى التجريبية في الطابق الثالث عند الشدة الزلزالية 0.19g و 0.19g

الشدة الزلزالية	5%/ <i>EXP</i>	$\xi_{eq}/EXP$
0.14g	82.02%	88.45%
0.19g	78.9%	84.175%

نلاحظ من خلال الجداول السابقة أن الاعتماد على نسبة التخامد المكافئة المستنجة من الطريقة المقترحة في حساب معاملات نموذج تخامد رايلي المستخدم في التحليل اللاخطي الزلزالي بطريقة التكامل المباشر أعطى نتائج أقرب النتائج التجريبية من استخدام النسبة %5 .وهذا يتوافق مع التوصيات والدراسات الحديثة التي تنصح باستخدام نسب تخامد صغيرة (بين %2 و %3) عند تعريف معاملات رايللي في النماذج اللاخطية لتفادي التضخيم غير الواقعي للطاقة الممتصة تعريف معاملات رايللي في النماذج اللاخطية لتوكد توصيات NEHRP و ASCE 7-16 على ضرورة مراعاة هذا الجانب عند إجراء تحليلات استجابة ديناميكية الاخطية لتقدير دقيق المستوى الأداء الزلزالي .

### <u>[5] النتائج:</u>

- 1- تحليل سلوك المنشآت باعتماد نسبة تخامد متغيرة يعطي زيادة في قيم الانتقالات وقوة القص القاعدي وبالتالي الجهود الداخلية عن حلة استخدام التخامد الثابت .
- 2- تتناقص نسبة الزيادة في القوى والانتقالات بإدخال تأثير التخامد المتغير مع زيادة الشدة الزلزالية .
  - 3- لايؤثر عدد الطوابق بشكل كبير على نسبة الفرق بين التخامد المتغير والثابت.
- 4- تم اقتراح قيمة لمعامل تصحيح لنسبة التخامد الثابتة m يمكن استخدامه للحصول على نسبة تخامد مكافئة ، حيث تتعلق قيمة هذا المعامل بالشدة الزلزالية المطبقة على المنشأ.

5- تحليل الإطار التجريبي باستخدام طرق التحليل الزلزالي المعتمدة في برنامج ETABS مع إدخال نسبة التخامد المكافئة المقترحة في هذا البحث أعطت نتائج أقرب إلى النتائج التجريبية من استخدام نسبة التخامد الثابتة التقليدية (وهي عادة %5).

### <u>[6] المراجع:</u>

- [1] Al Sehnawi, R., Nakajima, A., Takeshima, R., & Al Sadeq, H. (2014). Experimental investigation of amplitude dependency of dynamic characteristics in elastic and inelastic stages of reinforced concrete pier model. Journal of Civil Structural Health Monitoring, 4(4), 289-301.
- [2] Chen, G.-W., Beskhyroun, S., & Omenzetter, P. (2016). Experimental investigation into amplitude-dependent modal properties of an elevenspan motorway bridge. Engineering Structures, 107, 80–100.
- [3] Chopra, A. K. (1995). Dynamics of structures: Theory and applications to earthquake engineering. Prentice Hall.
- [4] Dolce, M., Ponzo, F. C., Di Cesare, A., & Marino, L. (2005). Shaking table tests on reinforced concrete frames without and with passive control systems. Earthquake Engineering & Structural Dynamics, 34(14), 1687-1717.
- [5] Kowalsky, M. J., Priestley, M. J. N., & MacRae, G. A. (1994). Displacement-based design: A methodology for seismic design applied to single degree of freedom reinforced concrete structures (Report No. SSRP-94/16). University of California, San Diego.

# تأثير تغير التخامد مع تسارع الإستجابة على تحليل الإطارات البيتونية المسلحة متعددة الطوابق باستخدام طريقة طيف الاستحابة

[6] Priestley, M. J. N., Calvi, G. M., & Kowalsky, M. J. (2007). Displacement-based seismic design of structures. IUSS Press.

[7] إبراهيم،مريم. (2024) . تأثير تغير التخامد مع تسارع الإستجابة على التحليل الزلزالي لإطار من البيتون المسلح . مجلة جامعة البعث ،سلسلة العلوم الهندسية، جامعة حمص ، سورية .

[8] غصون، ميس. (2020). دراسة تحليلية لتأثير تغير سعات الاهتزاز في الخصائص الديناميكية للجسور البيتونية المسلحة (رسالة دكتوراه غير منشورة). جامعة البعث، سوريا.

# تحليل هيدروغرافات آبار المياه الجوفية في منطقة الغوطة الشرقية وتحديد قيم التغذية الجوفية المتوقعة

اعداد الباحثة: هيا على مندو1

المشرف الرئيسي: د.م محمود السباعي $^2$  المشرف المشارك:أ.د.م معن سلامة $^3$ 

#### ملخص البحث:

تُعبر مناسيب المياه الجوفية المقيسة في آبار الرصد على المدى الطويل عن سلوك الطبقة الجوفية تحت الاجهادات المختلفة الممثلة بالتغذية والتصريف والجريان الجانبي. وللوصول الى إدارة مستدامة لهذا المصدر المهم لابد من تحقيق توازن بين تغذية المياه الجوفية، وتصريفها. تشكل المياه الجوفية للحامل المائي الحر في منطقة الغوطة الشرقية بريف دمشق مصدراً رئيسياً لمياه الري والشرب، وهي تتغذى بشكل رئيسي من الهطول المطري والمياه العائدة من الري ونتيجة لمحدودية البيانات المتاحة كان لا بد من التوصل الى منهجية مناسبة لتقدير التغذية للمياه الجوفية.

تم اجراء دراسة تحليلية للبيانات المتوفرة في الغوطة الشرقية حيث قسمت منطقة الدراسة الى أربع قطاعات رئيسية وتم تحديد العوامل الرئيسية المؤثرة في التغذية الجوفية لكل قطاع، وقد بينت النتائج تأثير هذه العوامل الممثلة بالراشح من الهطول المطري والري و الراشح من سرير نهر بردى وشبكة أقنية الري من محطة المعالجة بعدرا، في تغير مناسيب المياه الجوفية. أوضح تحليل هيدروغراف الآبار أن الوضع الجوفي شهد مرحلة تعافي واستقرار استمرت لمدة تقارب الثلاث إلى الأربع سنوات بعد عام 2017، لتشهد بعدها معظم الآبار انخفاض تدريجي في المناسيب المائية، وبعضها انخفاض حاد قد يؤدي إلى استنزاف الطبقة الجوفية مالم يتم اتخاذ الاجراءات اللازمة من قبل الجهات المعنية لتنظيم عملية حفر الآبار بشكل عشوائي ومنع السحب الجوفي الجائر.

الكلمات المفتاحية: المياه الجوفية، التغذية الجوفية، الغوطة الشرقية، نهر بردى

<sup>1.</sup> طالبة دكتوراه، قسم هندسة وإدارة الموارد المائية، كلية الهندسة المدنية، جامعة حمص

<sup>2.</sup> أستاذ مساعد، قسم هندسة وإدارة الموارد المائية، كلية الهندسة المدنية، جامعة حمص

3. أستاذ، قسم هندسة وإدارة الموارد المائية، كلية الهندسة المدنية، جامعة حمص

# Analyzing the Hydrographs of Groundwater Wells in The Eastern Ghouta Region and Determining the Expected Groundwater Recharge Values

the researcher: Haya Ali Mando<sup>1</sup>

Main supervisor: Dr. Mahmoud Al-Sebai<sup>2</sup>

Co-supervisor: Prof. Dr. Maan Salama<sup>3</sup>

#### **Abstract**

Groundwater levels measured from long-term monitoring wells reflect the behavior of the aquifer under different stresses resulted from recharge, discharge, and lateral flow. In order to achieve sustainable management of this important source, a balance must be achieved between groundwater recharge, and discharge. Groundwater in the eastern Ghouta area of rural Damascus is a major source of irrigation and drinking water, and it is mainly fed by rainfall, and returned water from irrigation. Due to the limited data available, it was necessary to find a suitable methodology for estimating groundwater recharge.

An analytical study was carried out on the available data in Eastern Ghouta. The study area was divided into four main sectors and the main factors affecting groundwater recharge in each sector were identified. The results showed the impact of these factors (represented by infiltration from rainfall and irrigation, leakage from the Barada River bed and the irrigation canals network from Adra treatment plant) on the flocculation of groundwater levels

The hydrograph analysis of the wells showed that the groundwater situation witnessed a recovery and stability phase that lasted for a period of approximately three to four years after 2017, after which most wells witnessed a gradual decrease in water levels, and some of them a sharp decrease that may lead to the depletion of the groundwater aquifer unless the necessary measures are taken by the concerned authorities to regulate

the process of random well drilling and prevent groundwater overexploitation.

Keywords: Groundwater, groundwater recharge, Eastern Ghouta, Barada River.

<sup>1</sup>phD student, Faculty of Civil Engineering, Homs university, Syria

#### 1- مقدمة:

تُعد المياه الجوفية في منطقة الدراسة مصدراً رئيسياً للري ولتوفير مياه الشرب لعدد كبير من التجمعات السكانية المنتشرة في دمشق وريفها. تواجه هذه الموارد تحديات كبيرة نتيجة الحفر العشوائي للآبار والضخ الجائر مما يؤدي إلى استنزاف الطبقات الجوفية بمعدلات لا يمكن تعويضها فتكون كمية المياه التي تُغذي الخزان الجوفي. يُضاف إلى ذلك، الضغوط الناجمة عن التغير المناخي الذي يزيد من تكرار حدوث حالات الجفاف، كما أن التغيرات في الأنشطة البشرية والزراعية والتوزع السكاني بعد عام 2011 أثر بشكل ملحوظ على الموارد الجوفية. لذلك تكتسب دراسة تحليل مستويات المياه الجوفية أهمية كبيرة، حيث تعكس التأثيرات الطبيعية كالراشح من الهطول المطري والقرب والبعد من الشبكة النهرية والعوامل الاصطناعية كالري والضخ من الطبيعية كالراشح من الطبقة المائية [2]. ولتقييم الوضع المائي الجوفي في حوض دمشق تم رصد شبكة من الزمن[13]. ونتيجة للتغيرات الحادة في توزع النشاطات البشرية والزراعية التي شهدتها منطقة الدراسة أصبح لا بد من اجراء تحليل للبيانات المتوافرة بهدف فهم الواقع الجوفي حالياً والمساعدة على النتبؤ أصبح لا بد من اجراء تحليل للبيانات المتوافرة بهدف فهم الواقع الجوفي حالياً والمساعدة على النتبؤ

#### 2- هدف البحث:

تقييم واقع المياه الجوفية الحالي للحامل المائي الحر (حامل الرباعي الأعلى والحديث) في منطقة الغوطة الشرقية (مساحياً وقطاعياً) في ظل محدودية البيانات ما بعد عام 2011.

<sup>&</sup>lt;sup>2</sup> Assistant Professor, Faculty of Civil Engineering, Homs University, Syria

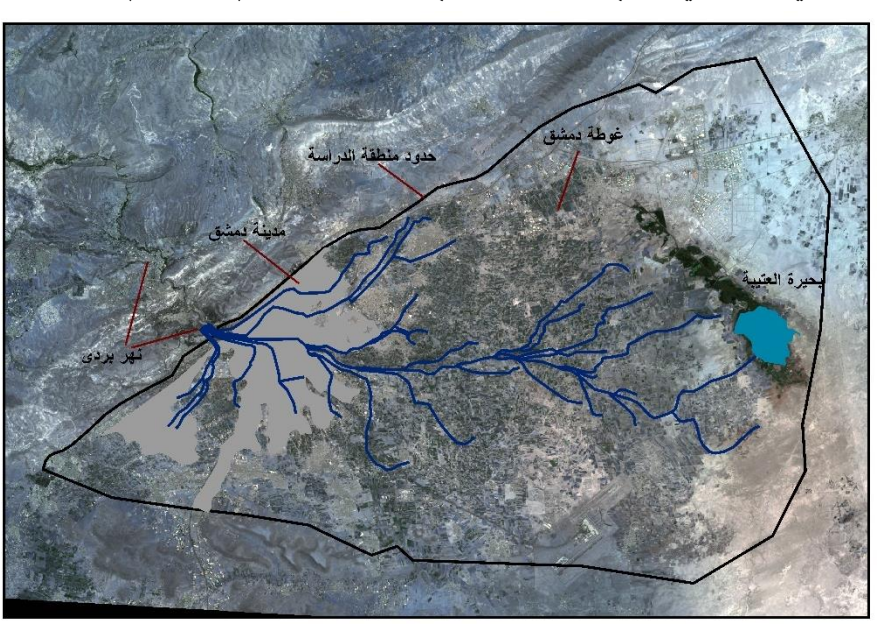
<sup>&</sup>lt;sup>3</sup> Professor, Faculty of Civil Engineering, Homs University, Syria

### 3- مواد وطرائق البحث:

### 1-3 الخصائص الطبيعية والمناخية لمنطقة الدراسة:

# أ- الموقع الجغرافي

تقع الغوطة الشرقية في الجزء السهلي الشرقي من حوض بردى والاعوج التي تمتد من السفوح الشرقية لسلسة جبل قاسيون غرباً وحتى موقع بحيرة العتيبة شرقاً وبمساحة تقدر بحوالي 980km² ، وتعتبر من أكثر المناطق فعالية من الناحيتين الاجتماعية والاقتصادية كونها تحتضن مدينة دمشق وجزءاً من التجمعات السكانية الكبيرة في ريف دمشق وتتركز فيها زراعة الأشجار المثمرة والخضراوات والمحاصيل الاستهلاكية[6]، كما تتضمن جميع المناطق التي تروى بمياه نهر بردى وقنواتها الرئيسة والفرعية بعد خروجها من مدينة دمشق وتقع ضمنها أيضاً محطة معالجة مياه الصرف الصحي لمدينة دمشق في عدرا التي تغذي شبكة أقنية الري بالمياه المعالجة (الشكل: 1).



الشكل(1): حدود منطقة الدراسة في سهل الغوطة مع نهر بردى وفروعه.

### ب- الخصائص المناخية:

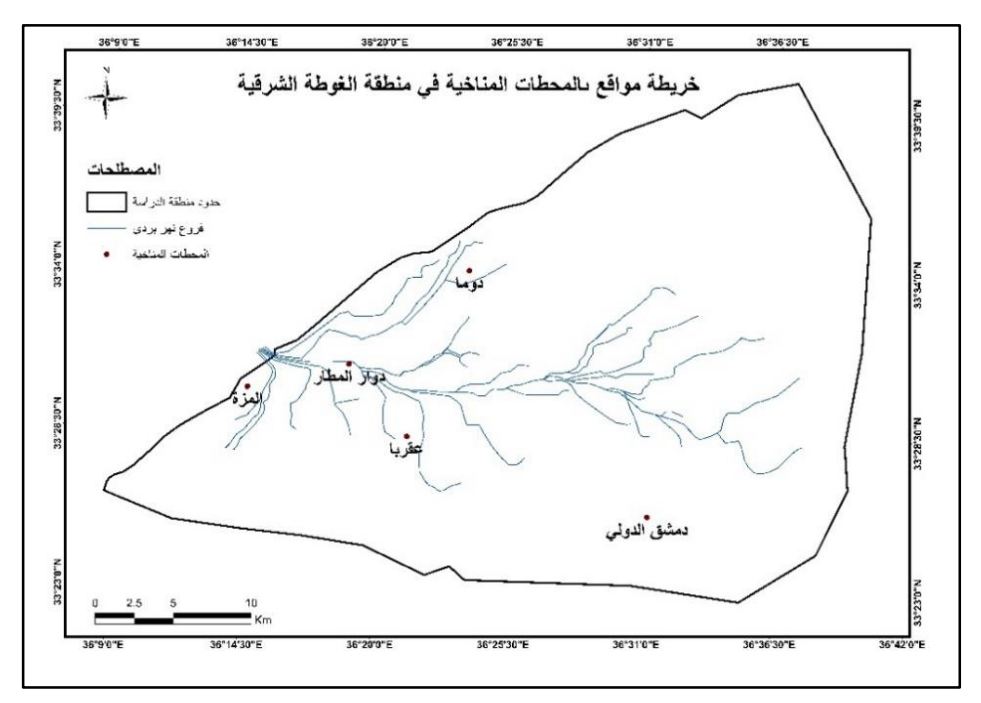
# 1. الهطول المطري Precipitation :

المجلد 47 العدد 8 عام 2025 هيا علي مندو د.م محمود السباعي أ.د.م معن سلامة

تتميز منطقة الدراسة بهطول مطري محدود مع تدرج بالقيم يتوافق مع الارتفاع الطبوغرافي للمنطقة أي تتناقص القيم كلما اتجهنا نحو الشرق[3]، يبين الشكل (2) محطات الرصد المناخية الموزعة ضمن منطقة الدراسة وهي (دوما، المزة، عقربا، دمشق الدولي، دوار المطار) [7]، ويبين الجدول (1) الارتفاع الطبوغرافي للمحطات المناخية ضمن منطقة الدراسة، أما الشكل (3) يبين المعدلات الشهرية الوسطية للهطولات المطرية من عام 2010 حتى عام 2023 في هذه المحطات.

الطبوغرافي لها	المناخية والارتفاع	حداثيات المحطات	J:(1	الجدول(
----------------	--------------------	-----------------	------	---------

Z(متر)	Y UTM	X UTM	اسم المحطة المناخية	الرقم التسلسلي
666	3717410	258263	دوما	1
786	3710020	244034	مزة المركزي	2
685	3711440	250553	دوار المطار	3
607	3701492	269522	دمشق الدولي	4
658	3706790	254245	عقربا	5



الشكل(2): مواقع المحطات المناخية في منطقة الدراسة



الشكل (3) المعدلات الشهرية الوسطية للهطولات المطرية في المحطات المناخية من عام 2010 حتى عام 2023

#### 2. درجات الحرارة Temperature:

تتفاوت درجات الحرارة من منطقة الى أخرى حسب الارتفاع عن سطح البحر، وتتراوح عموماً ما بين  $c^{\circ}$  (2)  $c^{\circ}$  في فصل الشتاء[3] ، ويبين الشكل (4) درجات الحرارة المأخوذة من محطة مزة المركزى ودمشق الدولى [7].



الشكل (4):المتوسط الشهري لتغير درجات الحرارة من عام 2010 حتى عام2023

# مجلة جامعة حمص المجلد 47 العدد 8 عام 2025

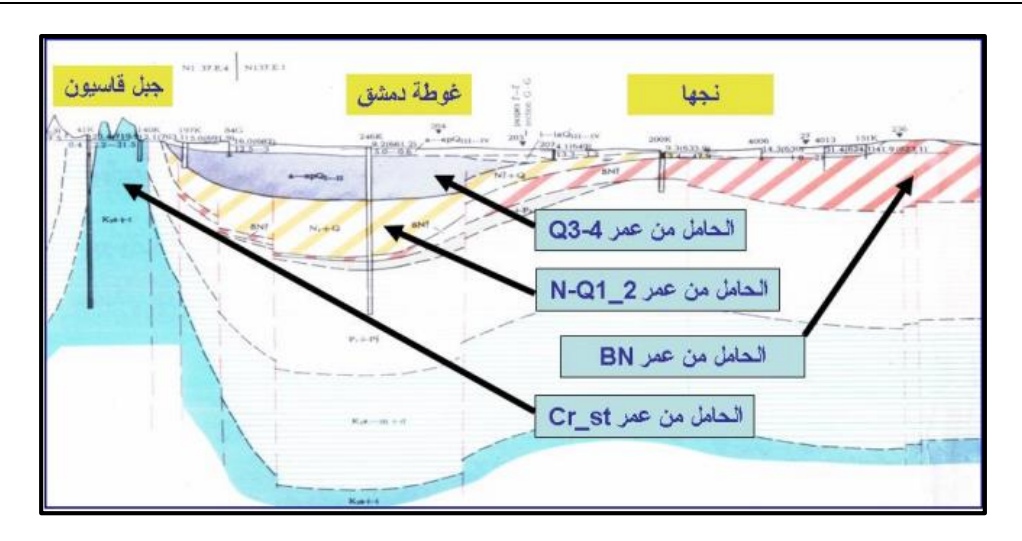
ت- الخصائص الهيدر وجيولوجية:

الناقلية المائية الوسطية تقدر بحوالي  $900 \, a^2/$ يوم.

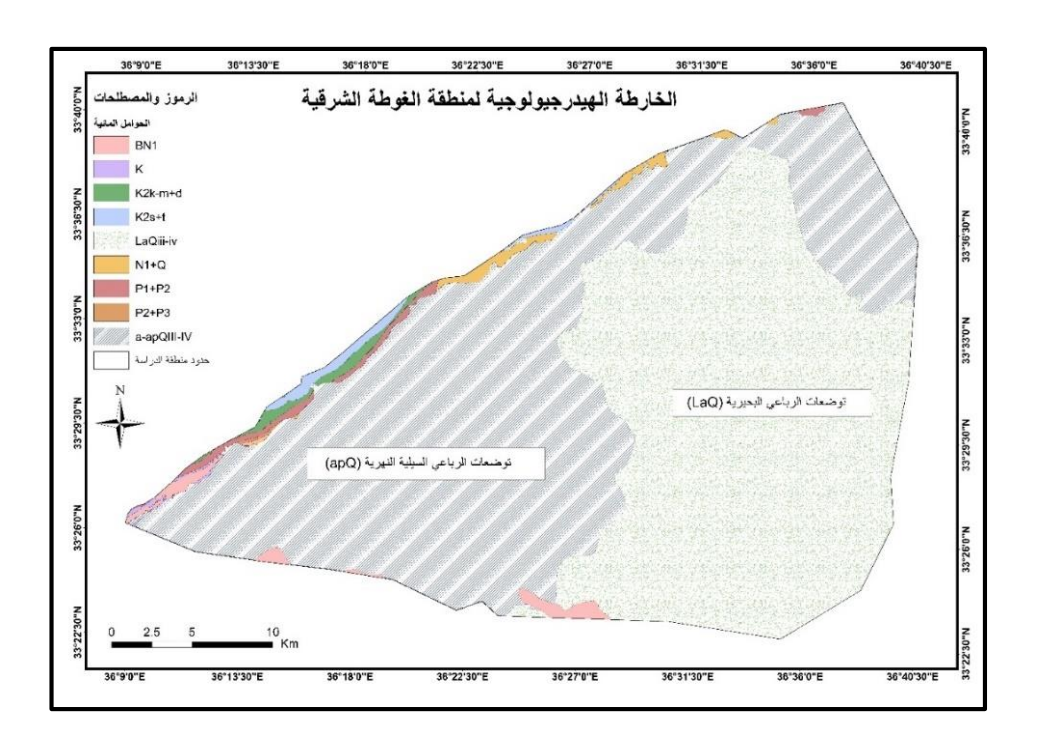
يتضمن حوض دمشق طبقتين مائتين رئيسيتين: الأولى تتكشف في المناطق الجبلية من عمر الكريتاسي الأعلى، والثانية تقع في منخفض دمشق وتعود لعمر النيوجين والرباعي ويعتبر حامل الرباعي بسماكة وسطية 400 م من أهم الحوامل المائية في الغوطة والتي تتميز بخصائص هيدروليكية عالية [4] ، يمكن تقسيم حامل الرباعي من الناحية الجيولوجية الى نوعين من التوضعات: التوضعات النهرية السيلية من عمر (4\_apq3) التي تمتد من سفح جبل قاسيون باتجاه منخفض دمشق محتلاً محيط مدينة دمشق ، تتميز هذه الصخور بخواص رشحية عالية حيث قيم معامل

بينما تتكشف التوضعات البحيرية الرباعية من عمر ( $1aQ3_4$ ) على الجزء الشرقي من غوطة دمشق الشرقية، تتراوح سماكتها ما بين 50 إلى 100م، وتصل قيم الناقلية المائية الى حوالي 450م  $^2$ يوم وتقوم على هذا الحامل معظم الانشطة الزراعية في منطقة الغوطة.

ويمكن من الناحية الهيدروجيولوجية التمييز بين أربع تشكيلات متمايزة عن بعضها، وكل تشكيلة تشكل بحد ذاتها طبقة مائية لها امتداداً مكانياً معيناً وتمتلك خصائص هيدروليكية متشابهة، وتتكون بالمجمل من تكتلات رسوبية من الحصى والرمال تتناقص أبعادها كلما اتجهنا شرقاً لتصبح على شكل رسوبيات غضارية رملية بالقرب من بحيرة العتيبة والتي تمثل رسوبات الرباعي الحديث. يوضح الشكل (5) مقطع هيدروجيولوجي مار ضمن منطقة الغوطة بدءاً من جبل قاسيون – منطقة الربوة مروراً بمنطقة جرمانا وينتهي في منطقة نجها، ويوضح الشكل (6) الخريطة الهيدروجيولوجية في منطقة الدراسة.



الشكل (5): مقطع هيدروجيولوجي في غوطة دمشق يمر من جبل قاسيون - الغوطة (منطقة جرمانا) -منطقة نجها



الشكل (6): الخارطة الهيدروجيولوجية في منطقة الدراسة [13]

### 3-2 الدراسات المرجعية:

نفذت العديد من الدراسات المائية في حوض دمشق من قبل جهات مختلفة بهدف دراسة الموارد المائية في الحوض[1,15,4]. ومن أهمها الدراسة الهيدروجيولوجية التي قام بها الجانب السوفييتي عام 1974 في حوض دمشق بهدف تقدير الاحتياطي الاستثماري للمياه الجوفية في المنطقة من خلال القيام بمجموعة من الأعمال الجيولوجية والهيدروجيولوجية المتضمنة أعمال الحفر وتجارب الصنخ لدراسة واقع المياه الجوفية العميقة في غوطة دمشق وتم دراسة المصادر الرئيسية لتغذية المياه الجوفية عام 1986 وتحديد الموازنة المائية للحوض [13]. فيما قام المركز العربي لدراسات المناطق الجافة والأراضي القاحلة (ACSAD) عام 2008 ببناء نموذج رياضي لحركة المياه الجوفية في سهل دمشق وحمايتها الجوفية في حوض دمشق بهدف دراسة الادارة المثلي لموارد المياه الجوفية في سهل دمشق وحمايتها من الاستزاف، حيث تم دراسة نظام حركة المياه الجوفية في المنطقة واعداد خرائط تساوي مناسيب المياه الجوفية والذي يتم استعاضته خلال السنوات المياه الجوفية والذي يتم استعاضته خلال السنوات تشهده بعض المناطق من حيث انخفاض مناسيب المياه الجوفية والذي يتم استعاضته خلال السنوات من الطرق لرصد التبدلات والتغيرات الزمانية والمكانية التي طرأت عليها خلال فترة ثلاثين عاماً من الجوفي في غوطة دمشق الشرقية [3]. وقد بينت هذه الدراسة مراحل الاستقرار والهبوط المختلفة التي مر بها الخزان المائي الجوفي في غوطة دمشق الشرقية [6].

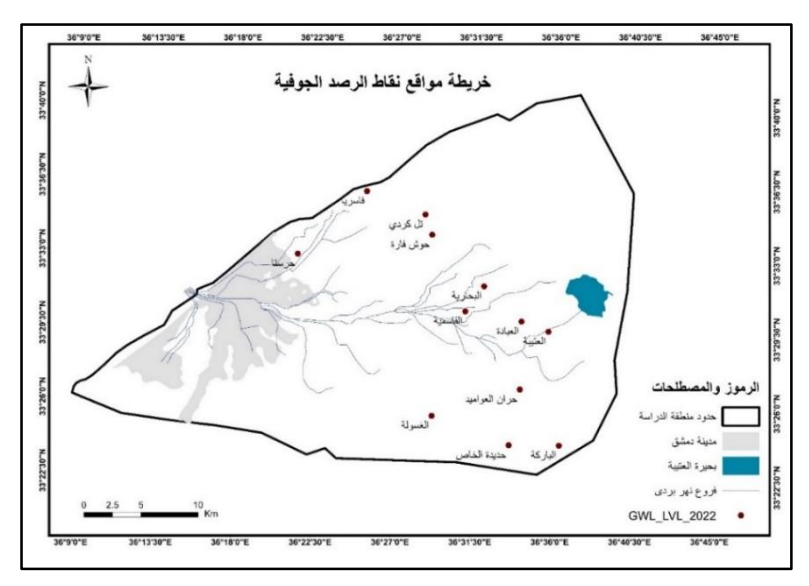
## 3-3 طرائق البحث:

تم الحصول على البيانات المتعلقة بشبكة الرصد الهيدروجيولوجية التي تشمل قياسات لأعماق المياه المجوفية أجريت باشراف وزارة الموارد المائية، حيث يتوزع في منطقة الدراسة حوالي 35 بئر بيزومتري تخترق توضعات حامل الرباعي الأعلى والحديث وكونغلوميرا النيوجين المبينة في الشكل (7). تغطي قياسات بعض هذه الآبار فترة زمنية تبلغ عشر سنوات (2000–2011) وبعضها يغطي فترة زمنية تشمل الفترة السابقة يضاف اليها الأعوام من (2018–2023) وهنا نلاحظ غياب فترة المراقبة خلال الأعوام (2012–2013) في جميع آبار الرصد. وقد اقتصرت المراقبة الدورية لاعماق

المياه الجوفية من عام 2018 الى وقتنا الحالي على مجموعة محدودة جداً من آبار الرصد المبينة في الشكل (8) مواقع نقاط آبار الرصد الجوفي للآبار المتاحة حالياً[9].



الشكل (7): مواقع نقاط الرصد الجوفي



الشكل (8): مواقع نقاط الرصد الجوفي للآبار الموجودة (من عام 2018)

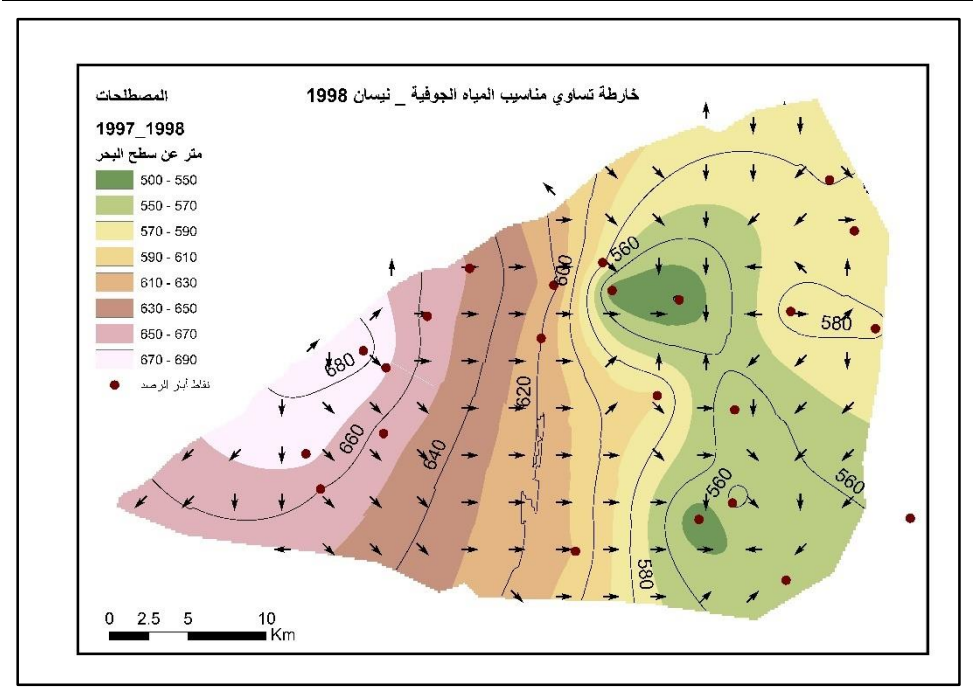
نتيجة لتحليل البيانات المتوفرة تبين وجود عدة فجوات نتعلق بكمية ونوعية البيانات الجوفية الخاصة بآبار الرصد في منطقة الدراسة، يعود أحد الأسباب الرئيسية لذلك إلى عدم امكانية اجراء قياسات حقلية لابار الرصد في منطقة الغوطة الشرقية خلال الفترة الزمنية (2011–2018). وبالتالي تم اعتماد المنهجية التالية في تحليل الواقع الجوفي في منطقة الغوطة الشرقية :

- مساحياً، لتحديد حركة المياه الجوفية من خلال رسم خرائط تساوي مناسيب المياه الجوفية باستخدام برنامج نظم المعلومات الجغرافية ArcGIS خلال الفترات الزمنية التي تتوفر فيها بيانات كافية وقراءات شهرية لمنسوب المياه الجوفية في آبار الرصد وتم اختيار الأعوام الهيدرولوجية (1997–2001)، (2002–2001)، (2002–2001)، (2001–2003).
- قطاعياً، تقسيم منطقة الدراسة الى أربع قطاعات جوفية بحيث يحتوي كل قطاع على مجموعة من الآبار البيزومترية التي تمتلك خصائص متشابهة من حيث نوع الطبقة الجوفية والمعطائية المائية والبعد والقرب عن الشبكة النهرية، ومن حيث تغير مناسيب المياه الجوفية مع الزمن (هيدروغراف البئر) وتحليل هيدروغرافات الآبار.

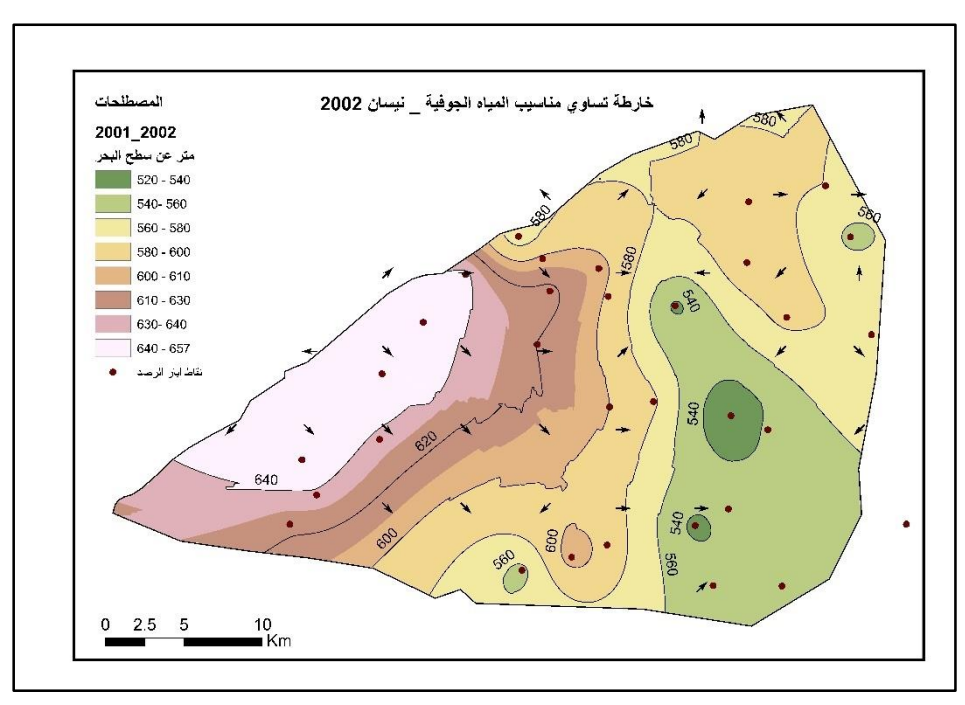
## 4- النتائج والمناقشة:

# 1-4 دراسة تغير مناسب المياه الجوفية مساحياً (1998-2011):

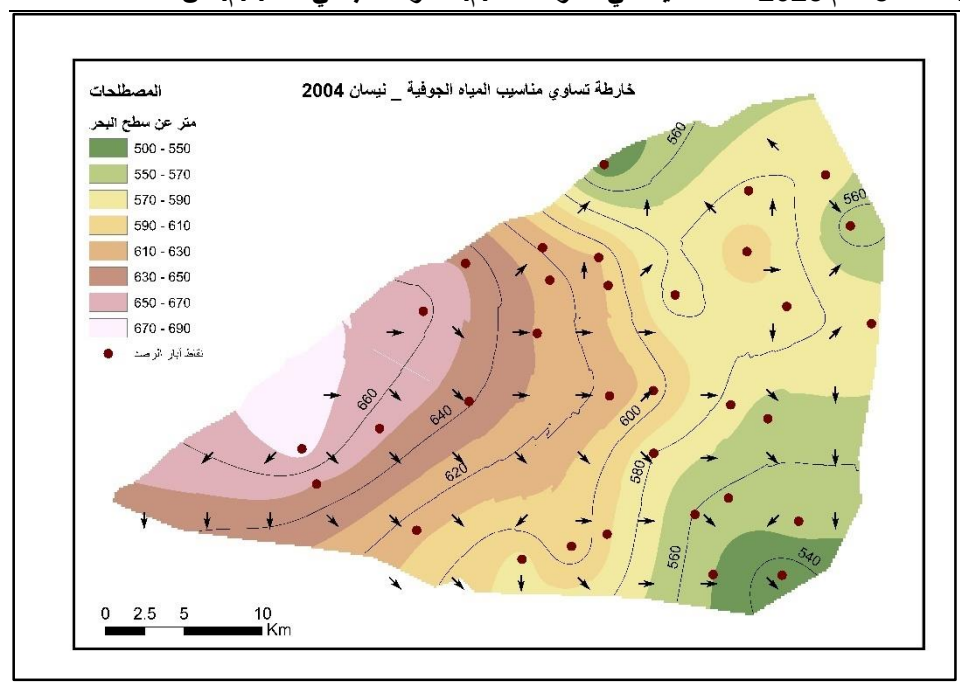
تم تحليل تغيرات مناسيب المياه الجوفية في منطقة الدراسة باستخدام أداة التحليل المكاني (kriging) (لارستيفاء المكاني ArcGIS وتم اختيار أحد أدوات الاستيفاء المكاني (Analysis Tools لرسم خرائط تساوي مناسيب المياه الجوفية على مدى فترات زمنية مختلفة اعتماداً على البيانات المتاحة، يبين الأشكال (9-10-11-11) مناسيب المياه الجوفية لشهر نيسان الذي يعتبر الشهر الاعظمي والمناسب في رصد تغيرات المناسيب الجوفية إضافة الى توافر بيانات شهر نيسان في جميع آبار الرصد للاعوام (2011-2011).



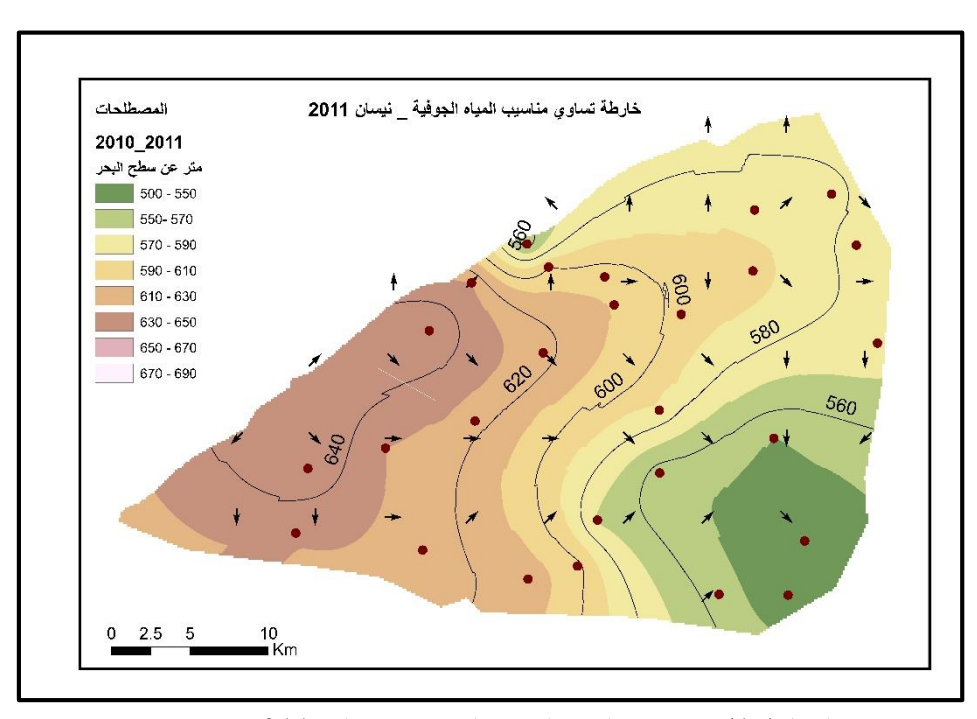
الشكل(9): مناسيب المياه الجوفية لشهر نيسان لعام 1998



الشكل(10): مناسيب المياه الجوفية لشهر نيسان لعام 2002



الشكل(11): مناسيب المياه الجوفية لشهر نيسان لعام 2004



الشكل(12): مناسيب المياه الجوفية لشهر نيسان لعام2011

نلاحظ من الاشكال السابقة أن قيم المنسوب المائي الأعظمي تكون مسايرة لسفح جبل قاسيون ومن منطقة دخول نهر بردى الى سهل دمشق، وتتدرج هبوطاً نحو الشرق والجنوب الشرقي وهذا دليل على وجود حركة مياه جوفية من الغرب باتجاه الشرق والجنوب الشرقي.

# 2-4 تحليل العوامل المؤثرة في التغذية الجوفية:

أ- الهطولات المطرية:

يعد الهطول المطري عامل مهم في تقدير التغذية، وقد حُدد بوصفه أحد العوامل الرئيسية الذي يؤثر على مستوى المياه الجوفية في هذه الدراسة. يعد ارتفاع منسوب المياه الجوفية الناتج عن الهطول المطري ظاهرة معقدة بسبب تأثرها بالعديد من العوامل مثل الناقلية الهيدروليكية (k) للمنطقة غير المشبعة، المعطائية المائية (Sy) للطبقة الجوفية، عمق المياه الجوفية (GWD)، الجريانات الجوفية الجانبية، الغطاء الأرضي، التبخر نتح (ET) وشدة العاصفة المطرية وحجمها[5,12,11]. ويوجد العديد من الطرق لتقدير التغذية الراشحة الى الحامل الجوفي، وقد تم في هذا البحث اختيار طريقة تذبذب مستوى المياه الجوفية (WTF) المعالم العرفة المهولة استخدامها واحتياجها الى عدد محدود من البيانات [1,14]. يتم تقدير الراشح للمياه الجوفية في هذه الطريقة من العلاقة:

$$= S_Y * \Delta H / \Delta T \dots (1)$$
 حيث:

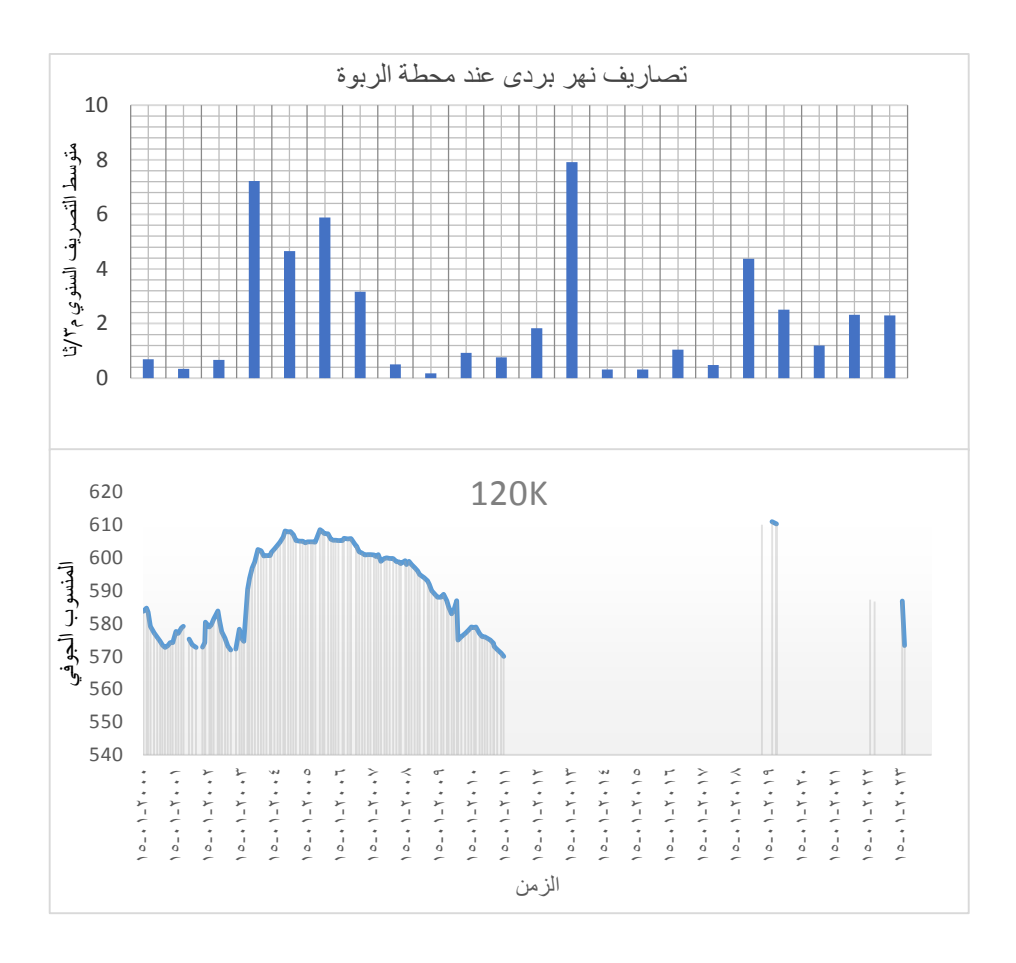
 $S_Y$ : المعطائية النوعية. T: الزمن(عام). H: منسوب المياه الجوفية (متر)  $\Delta H$ : ارتفاع منسوب المياه الجوفية المقاس من آبار المراقبة الناتج عن التغذية من الهطول المطري. R: التغذية الراشحة (مم/عام)

ب-نهر بر*دی*:

يعتبر نهر بردى من أهم المجاري المائية الموجودة في الشبكة الهيدروغرافية لغوطة دمشق، ويستخدم كأحد المصادر الرئيسية للري في الغوطة الشرقية[3]. ووفقا لدراسة اكساد بينت وجود علاقة ارتباط قوية بين معدل تصريف نهر بردى والشبكة النهرية وتغيرات مناسيب المياه الجوفية في الآبار المجاورة لمسار نهر بردى وفروعه ويبين الشكل (13) بئر القاسمية 120K الذي شهد المنسوب الجوفي ارتفاعاً قدره حوالي 30 متر في العام الرطب جدا (2002-2002) خلال عدة

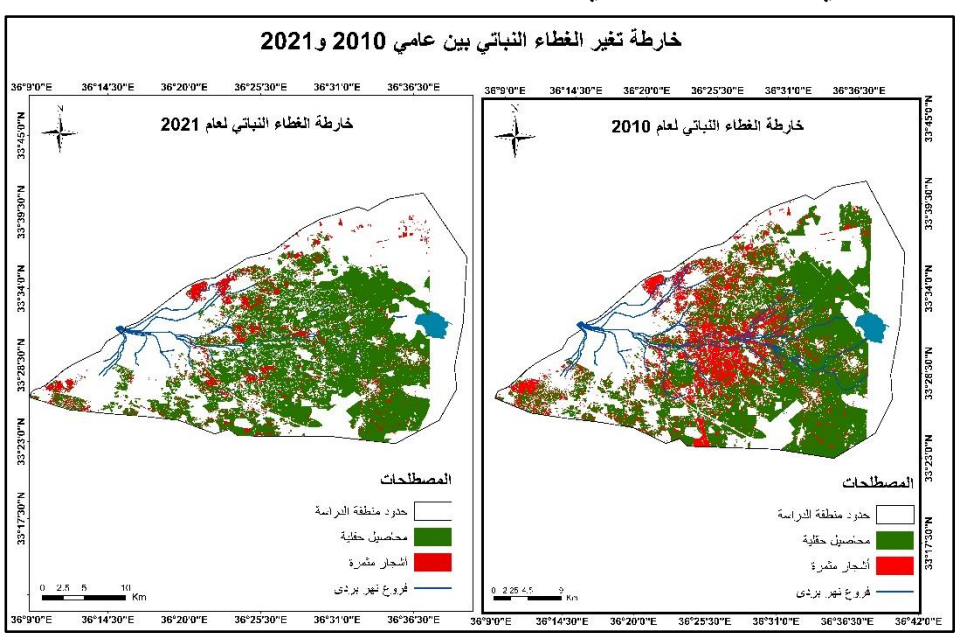
أدم معن سلامة ھیا ع*لی* مندو د<u>م محمود</u> السباعي

أشهر تزامنت مع فترة الجريانات السطحية للنهر وقد استمر المنسوب محافظاً على نهوضه خلال الأعوام الثلاثة التي تلت قبل أن يبدأ بالانخفاض التدريجي، وأيضاً نلاحظ ارتفاع المنسوب الجوفي عام (2018-2019) تزامناً مع الجريان السطحي لنهر بردي بعد توالي أربع سنوات جفاف.



الشكل (13): تبدل جريان نهر بردى مع مناسيب المياه الجوفية في بئر القاسمية ت- استخدامات الأراضي:

تعتبر الزراعة النشاط الرئيسي المستهلك للمياه في الغوطة الشرقية على رغم انخفاض المساحات المزروعة بفعل الزحف العمراني للمنشآت الصناعية وللأبنية السكنية [3]، ومن ثمّ التحدّيات التي فرضتها الحرب على هذا القطاع، وهذا ما توضحه خريطة تغير الغطاء النباتي في منطقة الغوطة الشرقية ما بين عامي 2010 و 2021 (الشكل:14). حيث نلاحظ انخفاض مساحة الأشجار المثمرة بنسبة تقدر حوالي %47 [8]، بينما ازدادت المساحات التي تزرع بالمحاصيل الحقلية بنسبة 1% فقط. أما طريقة الري المطبقة فهي في معظمها طرائق تقليدية تعتمد على الغمر وذات كفاءة متدينة[3]. وبحسب الدراسة الروسية قدر أن حوالي %40 من مياه الري في منطقة الدراسة تتسرب لتغذية المياه الجوفية [13]، بينما وفقا لدراسة اكساد أظهرت أن الراشح الى المياه الجوفية يختلف مكانياً حسب عدة عوامل ويمكن أن يصل إلى حوالي %60 من مياه الري وذلك في المناطق القريبة من شبكة ري عدرا كون كفاءة الري تكون فيها منخفضة نظراً لوفرة المياه [3].

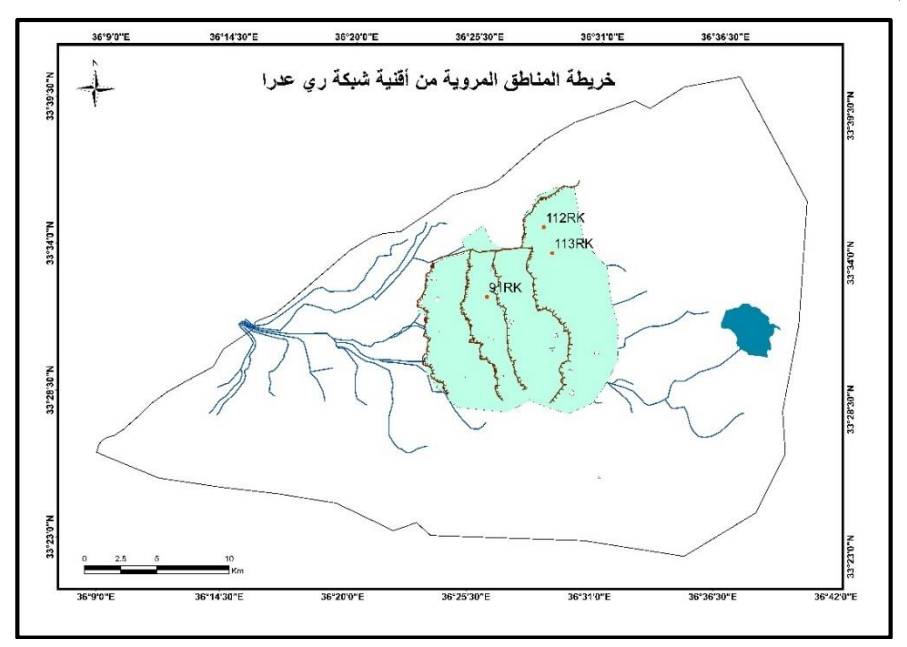


الشكل (14) خريطة تغير الغطاء النباتي في منطقة الغوطة الشرقية[8]

## ت-شبكة ري محطة معالجة عدرا:

تمثل المناطق المروية بالمياه الواردة من أقنية شبكة الري في عدرا حوالي %30 من إجمالي مساحة الغوطة الشرقية[6]. يُظهر الشكل(15) المناطق المروية من أقنية الري بالمياه المعالجة مع نقاط آبار الرصد الواقعة ضمنها. وقد لوحظ من تبدلات مناسيب المياه الجوفية مع الزمن للابار الواقعة ضمن المناطق المروية بالمياه المعالجة ارتفاع المناسيب الجوفية فيها كالبئر 112RK نتيحة تأثره

بالراشح من مياه الري المعالجة الواردة من اقنية شبكة عدرا وذلك بعد البدء بتشغيل المحطة اعتبارا من عام 1998.

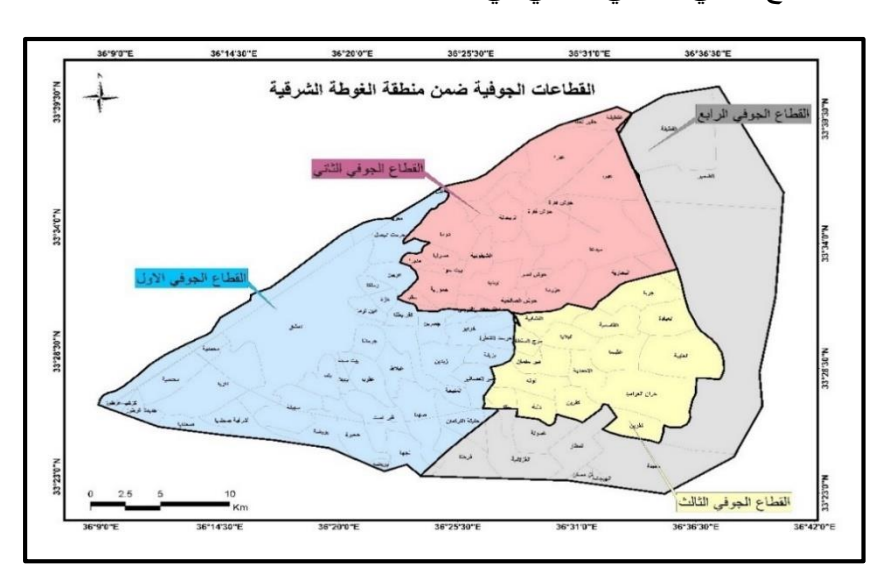


الشكل(15): المناطق المروية من أقنية ري مياه عدرا [3]

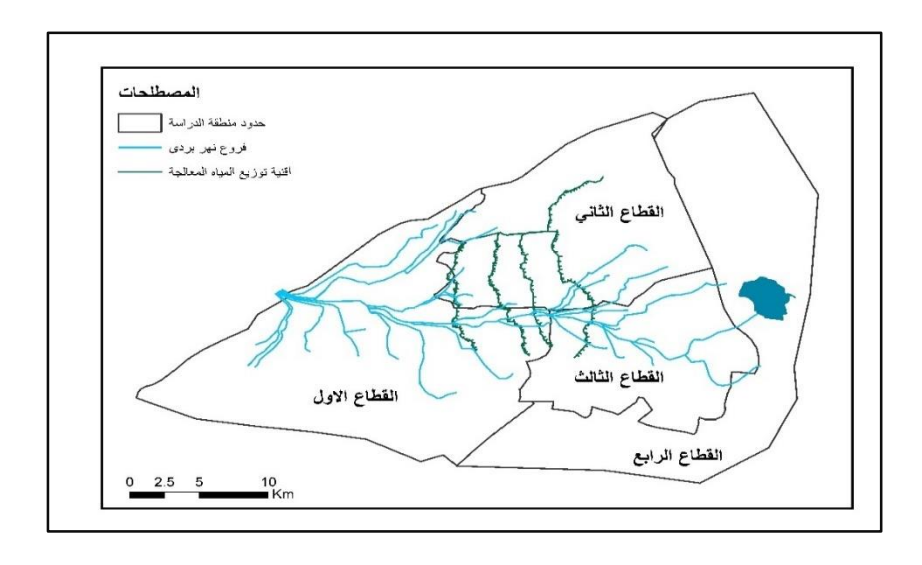
## 4-3 دراسة تغيرات مناسب المياه الجوفية قطاعياً:

بسبب محدودية البيانات المتاحة عن آبار الرصد بعد عام 2011 لم يكن من الممكن رسم خريطة دقيقة لتساوي مناسيب المياه الجوفية على كامل منطقة الدراسة. لذا قسمنا منطقة الدراسة الى أربع قطاعات جوفية (الشكل:16). وبحيث يحتوي كل قطاع على مجموعة من الآبار البيزومترية التي تمتلك نفس الخصائص من حيث مواصفات الطبقة التي تخترقها (كالمعطائية المائية "ساهمت قيم المعطائية التي تم اعتمادها من المرجع[6] في تقسيم منطقة الدراسة الى قطاعات جوفية) وتأثير بعد وقرب الشبكة النهرية وشبكة ري محطة المعالجة بعدرا عنها (الشكل:17) وتتشابه فيها ردود فعل الطبقة المائية (من حيث سرعة ومدى استجابة الطبقة المائية للراشح من مياه الامطار والري وبالتالي مساهمتها في ارتفاع المناسيب الجوفية) والتي تم شرحها بشكل مفصل في الفقرة التالية، وبناء عليه مساهمتها في ارتفاع المناسيب الجوفية) والتي تم شرحها بشكل مفصل في الفقرة التالية، وبناء عليه

تم رسم هيدروغراف تغير مناسيب المياه الجوفية مع الزمن للآبار الواقعة ضمن هذه القطاعات والتي ستعكس إلى حد ما الوضع المائي الجوفي الحالي في منطقة الغوطة الشرقية.



الشكل (16): القطاعات الجوفية ضمن منطقة الغوطة الشرقية



الشكل (17): تأثير قرب وبعد الشبكة النهرية عن القطاعات الجوفية

# أ- القطاع الجوفي الأول:

نقع آبار القطاع الأول في الجزء الغربي والجنوب الغربي من منطقة الدراسة ضمن التوضعات النهرية السيلية من عمر الرباعي الأعلى والحديث (apQ3\_4). ويبين الجدول (2) موقع الابار وعمق الماء فيها ضمن هذا القطاع.

-3		•••	<b>.</b>	<i>.</i>	( )-3 .
عمق المياه	Z	Y	X	رقم البئر	اسم البئر
m	m	UTM	UTM		
30-5	685.03	246874	3706741	261K	داريا
30-5	675.35	247813	3704505	193K	السبينة
60-30	672.07	246104	3702641	101RK	الكابلات
30-10	669.89	251817	3708035	246AK	جرمانا
30-15	688	251973	3712221	60	جوير
60-30	707.12	254597	3715502	42RK	حرستا 1
38-20	674.68	257285	3718558	92	حرستا 2

الجدول(2): احداثيات الابار وارتفاعها وعمق الماء فيها ضمن القطاع الأول

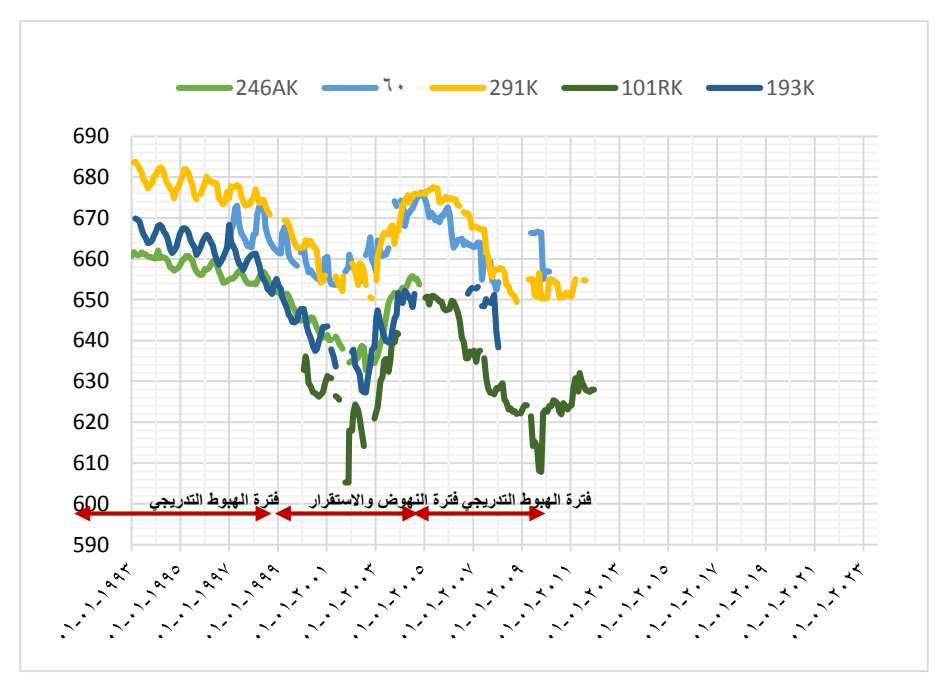
نلاحظ من الشكل (18) الذي يعبر عن هيدروغراف تغير مناسيب المياه الجوفية مع الزمن أن جميع آبار القطاع الأول قد مرت بثلاث مراحل وهي:

1- مرحلة الهبوط التدريجي (1993-2002): شهدت جميع الابار خلال هذه الفترة انخفاضاً تدريجياً في المناسيب المائية حيث وصلت سعة الهبوط الى 25 متر في آبار داريا وجرمانا وجوبر، والى 28 متر في آبار حرستا وذلك خلال دورة مدتها عشر سنوات.

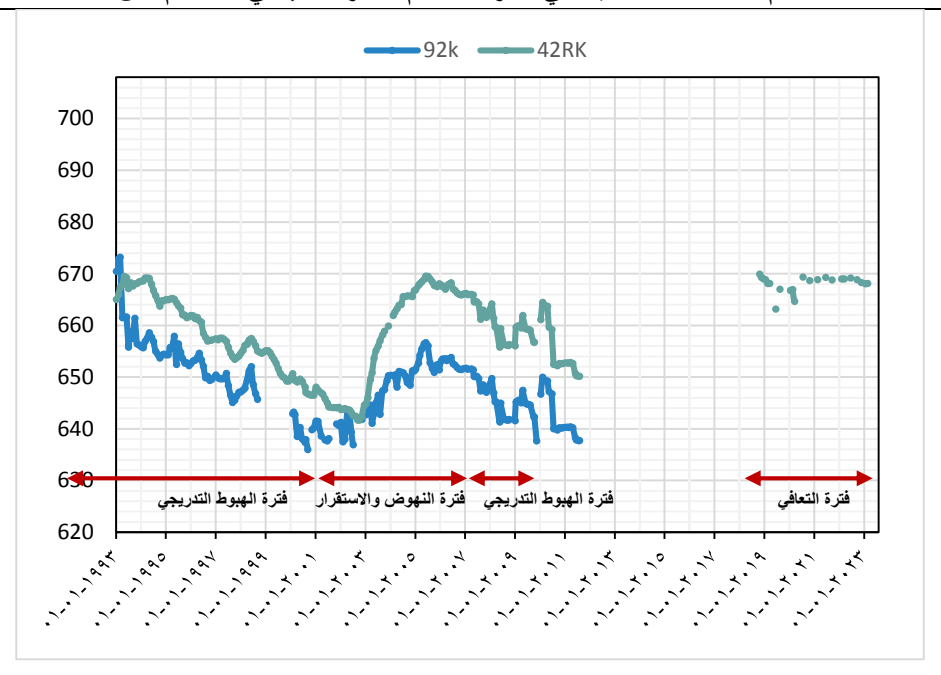
2- مرحلة النهوض والاستقرار (2003–2006): لوحظ في هذه الفترة ارتفاع في مستويات المياه الجوفية من عمق 35 الى 27 متر في الجوفية من عمق 35 الى 27 متر في البركاري الاستثنائي (2002–2003).

5- مرحلة الهبوط التدريجي (2007-2011): تميزت هذه المرحلة بانخفاض تدريجي في المناسيب الجوفية بسعة هبوط حوالي 16 متر في آبار داريا وجرمانا، 9 أمتار في آبار حرستا و 10 أمتار في آبار منطقة السبينة. ويُظهر الشكل (19) بداية مرحلة جديدة في بئر حرستا (42RK) بعد مرحلة انقطاع دامت ست سنوات وهي مرحلة التعافي (2018-2023) حيث ارتفع المنسوب الجوفي من عمق حوالي 56 متر عام 2011 الى عمق 37 متر عام 2018 ويرجح السبب في ذلك

الى توقف السحب الجائر للمياه من هذه الآبار خلال فترة نزوح السكان من مناطقهم مما أدى إلى انخفاض استهلاك المياه المستخدمة في الري والشرب وسمح للمياه الجوفية بالبدء في النهوض والتعافي مع بقاءه محافظاً على استقرار مناسيبه خلال الفترة الزمنية (2018–2023). نستتج من تحليل هيدروغراف آبار القطاع الأول أن الطبقة المائية كانت تستنزف نتيجة السحب الجائر وتوالي سنوات من الجفاف منذ التسعينيات الا أنه تم تعويض جزء كبير مما فقده المخزون الجوفي عند ارتفاع معدل الهطول المطري (2002–2003) حوالي (المعدل الوسطي 160.55mm/year) مما يدل على مدى ارتباط المياه الجوفية في هذا القطاع بالأمطار وشبكة المياه السطحية بشكل مباشر (الراشح من سرير نهر بردى)، حيث بلغ معامل الارتباط(Correlation Factor,R) بين الهطول المطري والتغذية الراشحة في آبار جرمانا والسبينة حوالي 0.9 وفي بئر داريا 0.89 وقد وصل الى 0.7 في بئر جوبر.



الشكل(18): تغير منسوب المياه الجوفية مع الزمن في آبار الجزء الجنوب الغربي



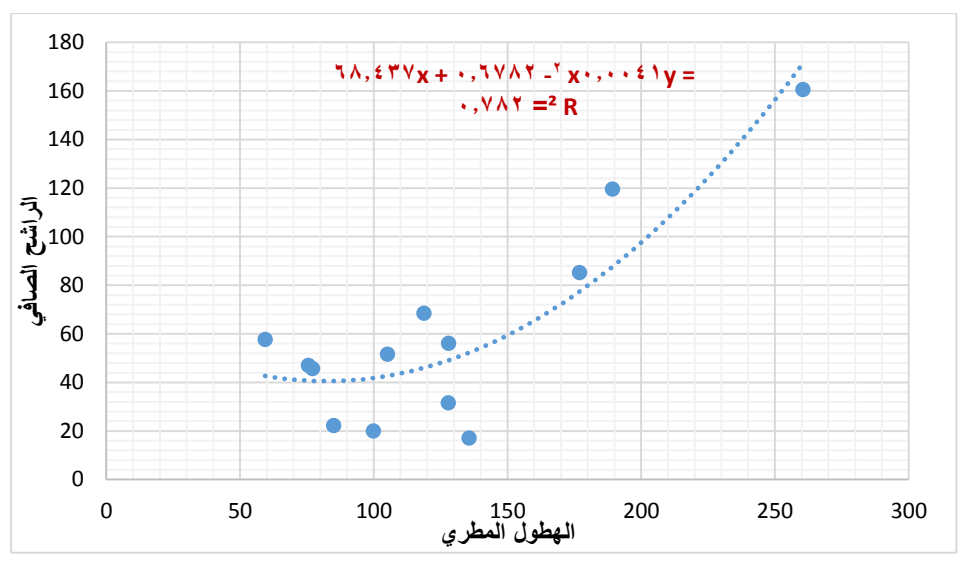
الشكل(19): تغير منسوب المياه الجوفية مع الزمن في آبار حرستا

وبما أن حساب الراشح من مياه الري الى المياه الجوفية يعتبر من أكثر العوامل صعوبة كونه يحتاج الى معلومات تفصيلية متعلقة بأنواع المحاصيل المزروعة والنسبة المئوية لكل محصول في كل قطاع والمقننات المائية للتراكيب المحصولية المروية من المصادر المائية المختلفة، إضافة الى كفاءة الري والراشح من الشبكة النهرية ونظام توزع الهطول وغيره، لذلك تم تطبيق طريقة تذبذب منسوب المياه الجوفية WTF التي تعتمد على هيدروغراف الآبار في حساب  $\Delta h$  والتي تم حساب التغذية من العلاقة التالية:

$$R = S_V * \Delta h / \Delta t$$

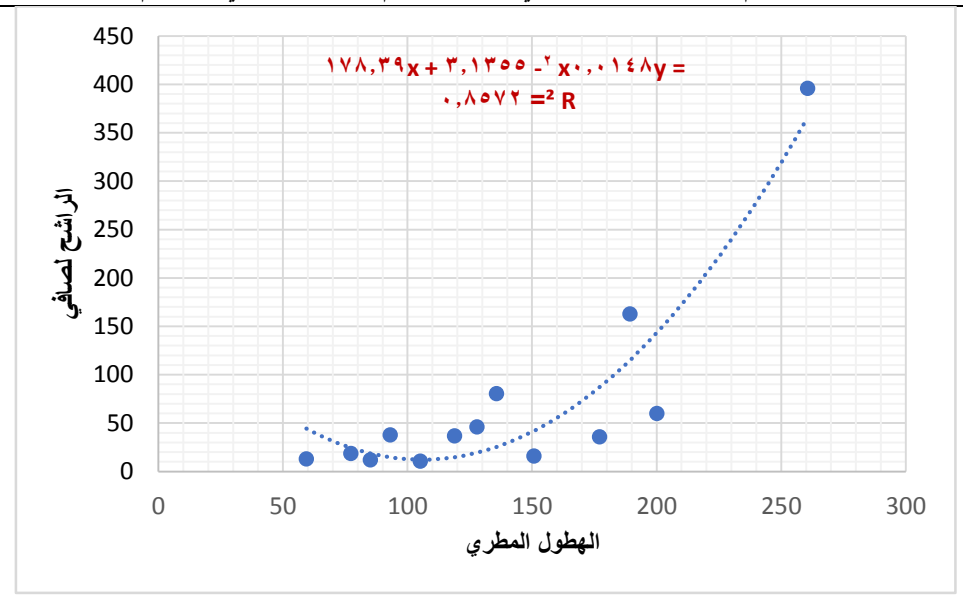
من أجل تحديد مجال قيم  $S_Y$  (المعطائية المائية) في كل قطاع جوفي تم الاستفادة من نتائج معايرة النموذج الرياضي لقيم المعطائية المائية التي اعتمدها المرجع[6] في منطقة الغوطة الشرقية لعام (2005–2006). تم تنظيم الحسابات في جدول، حيث يبين الجدول (3) حساب قيم الراشح الصافي الى المياه الجوفية لبئر داريا وحرستا خلال الفترة الزمنية (1993–2010) وقد تراوحت قيم التغذية الراشحة بين (20) وجود علاقة بين التغذية الراشحة بين الشكل (20) وجود علاقة بين التغذية

الراشحة الصافية المقاسة بطريقة WTF والهطول المطري في بئر داريا حيث بلغت قيمة معامل التحديد  $R^2=0.782$ .



الشكل (20): قيم التغذية الراشحة و قيم الهطول المطري في بئر داريا.

كما يلاحظ أيضا وجود علاقة بين التغذية الراشحة الصافية المقاسة بطريقة WTF والهطول المطري في بئر حرستا حيث بلغت قيمة معامل التحديد  $R^2=0.86$  (الشكل :21) وفي هذا البئر لاحظنا وجود اختلاف كبير بقيم الراشح الصافي الى المياه الجوفية المقابل لمعدل هطول مطري سنوي مشابه للفترة الزمنية قبل وبعد الازمة، على سبيل المثال قدرت التغذية الراشحة الصافية بحوالي 60 مم للعام الهيدرولوجي(2019–2002) مقابل قيمة راشح صافي حوالي 396 مم لعام (2002–2003) ويرجح سبب انخفاض معدل التغذية الراشحة بعد الازمة الى تناقص مساهمة العوائد من مياه الري في التغذية الجوفية وهذا يدل على انخفاض المساحات المزروعة في هذه المناطق.



الشكل (21): قيم التغذية الراشحة وقيم الهطول المطري في بئر حرستا.

الجدول (3) حساب قيم التغذية الراشحة في بئر داريا وحرستا.

وستا	حرستا		داريا			معدل	
الراشح الصافي الى المياه الجوفية mm/year	∆ <i>h</i> m	Sy	الراشح الصافي الى المياه الجوفية mm/year	∆ <i>h</i> m	Sy	الهطول المطري mm	العام الهيدرولوجي
36.96	1.848	0.02	68.4	6.84	0.01	118.80	1993-1994
36	1.8	0.02	85.2	8.52	0.01	177.00	1994-1995
10.8	0.54	0.02	51.6	5.16	0.01	105.10	1995-1996
13.2	0.66	0.02	57.6	5.76	0.01	59.40	1996-1997
18.72	0.936	0.02	45.6	4.56	0.01	77.20	1998-1999
12	0.6	0.02	22.2	2.22	0.01	85.00	1999-2000
38	1.9	0.02	31.5	3.15	0.01	170.3	2001-2002
46	19.8	0.02	160.5	16.05	0.01	334.6	2002-2003
396	8.136	0.02	119.5	11.95	0.01	209.2	2003-2004
80.64	4.032	0.02	17	1.7	0.01	185.7	2004-2005
_	_	0.02	20	2	0.01	177.1	2005-2006
_	-	0.02	56	5.6	0.01	161.3	2008-2009
_	-	0.02	47	4.7	0.01	196.7	2009-2010
60	0.3	0.02	-	-	0.01	258	2019-2020
16	0.8	0.02	_	_	0.01	150.7	2020-2021

# ب - القطاع الجوفي الثاني:

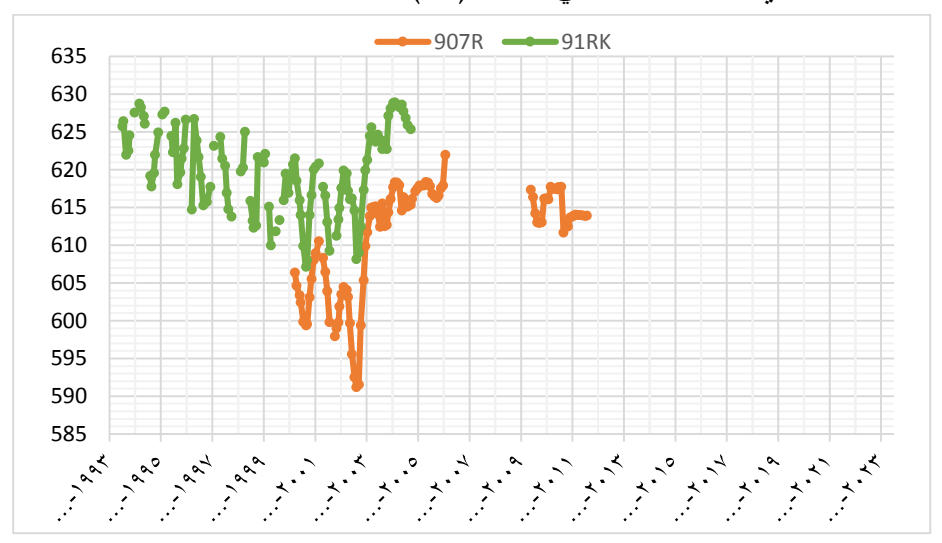
تقع آبار القطاع الثاني في الجزء المركزي من الغوطة الشرقية ضمن المساحات المروية من محطة معالجة شبكة ري عدرا. تقع هذه الآبار جيولوجياً ضمن توضعات الطبقة البحيرية الرباعية من عمر (4\_LaQ3). ويبين الجدول(4) موقع الآبار ضمن القطاع الثاني.

تشير علامة (-) في الجدول (4) الى نقص البيانات

عدد 8 عام 2025 هيا علي مندو د.م.محمود السباعي ا.د. الجدول(4): إحداثيات الآبار وارتفاعها وعمق الماء فيها للقطاع الثاني

عمق المياه	Z	Y	X		
m	m	UTM	UTM	رقم البئر	اسم البئر
70-5	685.03	265772	3718928	112RK	تل كرد <i>ي</i>
30-5	614.91	266363	3717147	113RK	حوش فارة
20-5	672.07	261845	3714101	91RK	الشيفونية
30-15	631.35	262196	3719550	907R	عدرا
70-20	608.13	270631	3716548	96RK	ميدعا

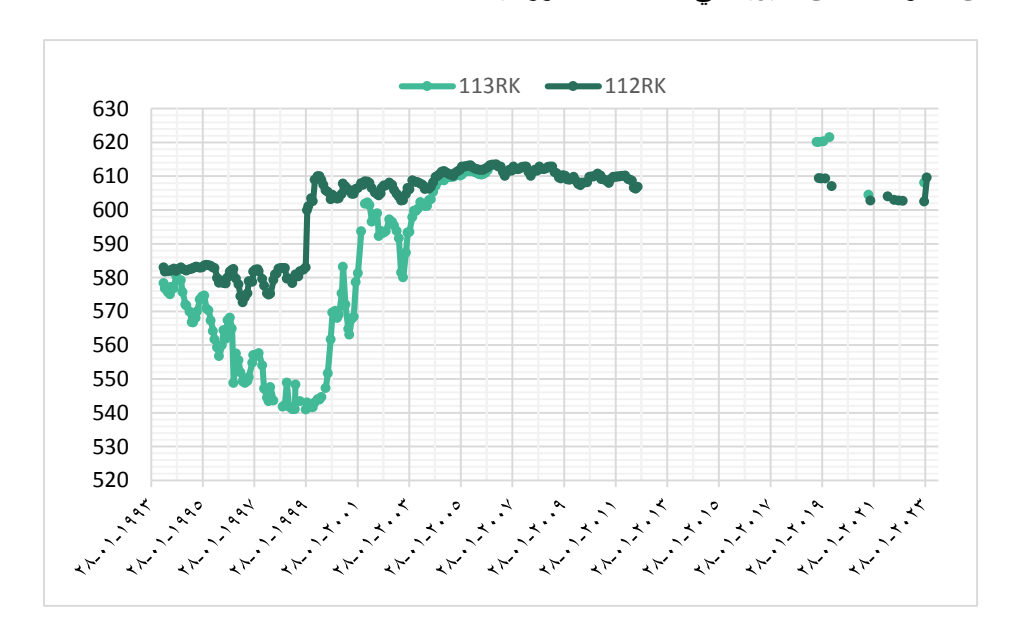
يلاحظ عموماً في المناطق التي تتوضع فيها المياه الجوفية على عمق قريب من سطح الأرض استجابة مناسيبها بسرعة كبيرة نسبياً للراشح من مياه الامطار ومياه الري كبئر الشيفونية 91RK حيث نلاحظ النهوض الحاد والسريع في هذه الابار خلال عدة أشهر من العام 2003 ثم استمرار المنسوب على حالة النهوض وهذا دليل على تأثره بالراشح من مياه شبكة ري عدرا كما مبين في الشكل (22).



الشكل(22): هيدروغراف بئر عدرا والشيفونية

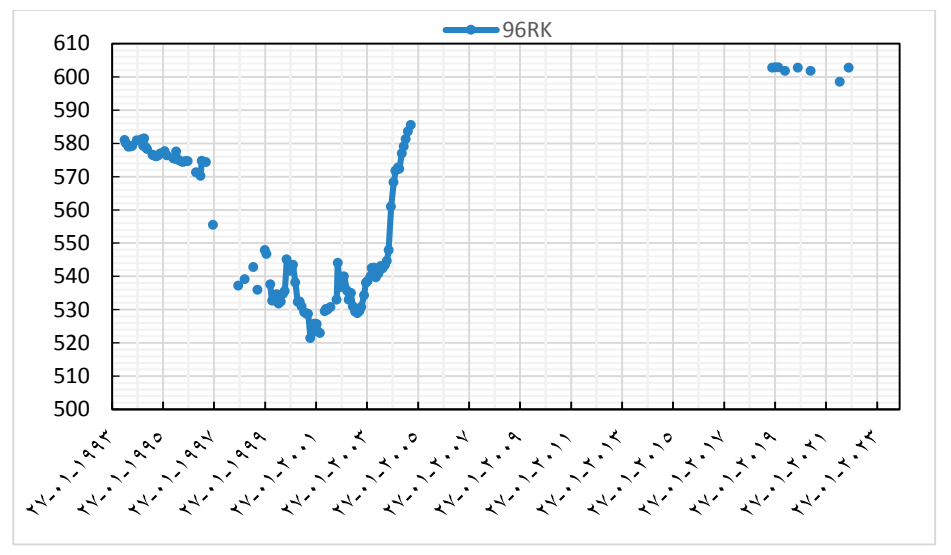
بينما يبين الشكل(23) هيدروغراف بئر تل كردي وحوش فأرة حيث نلاحظ تأثرهما بالراشح من مياه الري بعد تطبيق نظام الري في منطقة عدرا عام 1998 وهذا واضح في ارتفاع

منسوب المياه الجوفية بمقدار 25m في بئر 112RK (من عمق 50 الى عمق 5 متر خلال عدة أشهر) ثم استقر المنسوب بعد 1998 على عمق حوالي 5m أما خلال مرحلة التعافي فقد كان العمق في بئر 112RK حوالي 3m عام2016 وانخفض الى عمق 12m بداية عام 2018 ثم استمر المنسوب في الانخفاض التدريجي حتى وصل الى عمق 12m عام 2023. وبالمثل شهد بئر 113RK فترتي نهوض حاد بعد تطبيق نظام الري في منطقة عدرا من عمق (33–32) خلال الفترة (1998–2000) واستمر نهوض المنسوب الى أن وصل الى عمق 5 أمتار عام 2004، وبالنظر الى أعماق مياه الابار عام 2018 نلاحظ انخفاض المنسوب بشكل تدريجي من عمق 6mالى عمق10m خلال الفترة الزمنية (2018–2020) ويرجع السبب في ذلك الى بدء عمليات السحب الجوفي من جديد لأغراض الري والشرب بعد عودة الأهالي الى المنطقة حيث يعتبر القطاع الثاني من أكثر المناطق حيوية في النشاطات الزراعية.



الشكل (23): هيدروغراف بئر تل كردي وحوش فأرة

وبالنسبة الى تغير مناسيب المياه الجوفية في بئر ميدعا 96RK المبين في الشكل (24) نلاحظ انخفاض المنسوب الى عمق حوالي (85m) خلال الفترة الزمنية (1993–200) ثم بدأ المنسوب بالنهوض التدريجي الى أن وصل الى عمق 20m عام2004 نتيجة تأثره بالراشح من مياه الري المعالجة، وبالنظر الى عمق البئر عام 2018 نلاحظ ان المنسوب الجوفي قد مر بمرحلة تعافي حيث وصل الى عمق 5m وبقي محافظاً على استقراره حتى عام 2023 نتيجة تأثره بالراشح من سرير قناة الميدعاني ومن القناة الرئيسية لمحطة عدرا التي تعوض ما يفقده المخزون المائي.



الشكل (24): هيدروغراف تغير المنسوب الجوفي مع الزمن لبئر ميدعا

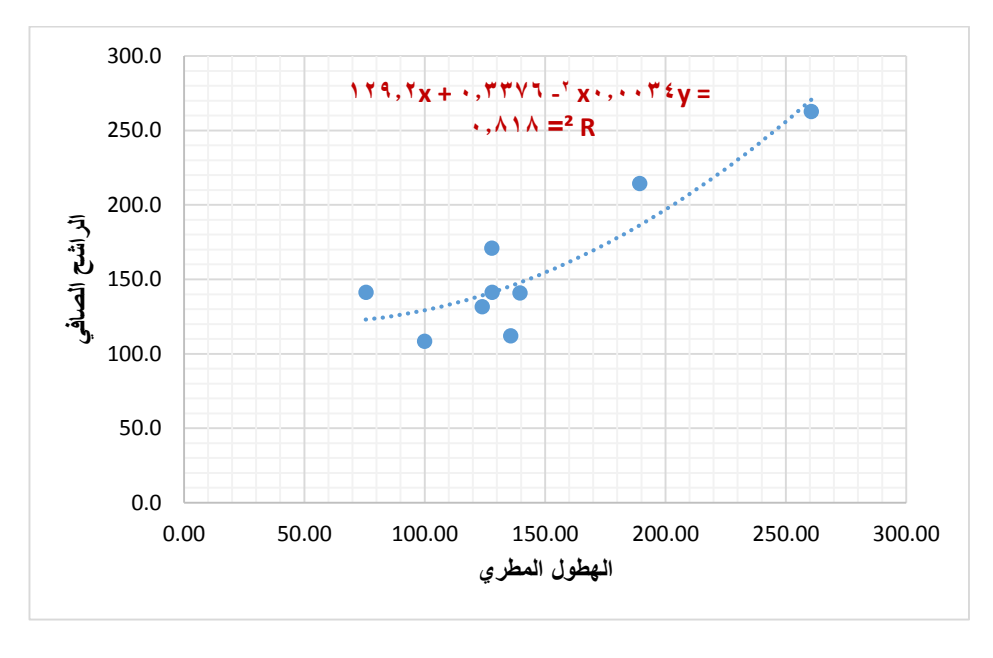
وبعد تحليل هيدروغراف آبار القطاع الثاني وربطها بالعوامل المؤثرة على التغذية الجوفية نجد أن التغذية الجوفية تأتي أولاً من مساهمة الراشح من مياه الري التي تروى من أقنية شبكة ري محطة المعالجة بعدرا بالإضافة الى المساهمة الثانوية للراشح من مياه الامطار ومن سرير فروع نهر بردى خلال أشهر الفيضان (نهر الحزرماني في منطقة ميدعا—تورا يزيد— الداعياني). يبين الجدول (5) حساب قيم التغذية الراشحة في بئر تل كردي خلال الفترة الزمنية (2001—2010).

الجدول (5) حساب قيم التغذية الراشحة في بئر تل كردي

تحليل هيدروغرافات آبار المياه الجوفية في منطقة الغوطة الشرقية وتحديد قيم التغنية الجوفية المتوقعة

الراشح الصافي الى المياه الجوفية mm/year	Sy	$\Delta m{h}$ m	معدل الهطول المطري mm	العام الهيدرولوجي
114	0.02	5.7	127.85	2001-2002
175.2	0.02	8.76	260.55	2002-2003
143	0.02	7.15	189.3	2003-2004
74.8	0.02	3.74	135.7	2004-2005
72.4	0.02	3.62	99.9	2005-2006
94.2	0.02	4.71	128	2006-2007
94.2	0.02	4.71	75.55	2007-2008
87.8	0.02	4.39	123.85	2008-2009
94	0.02	4.7	139.55	2009-2010

ويبين الشكل (25) العلاقة بين التغذية الراشحة المقاسة بطريقة WTF والهطول المطري في بئر تل كردي (القطاع الجوفي الثاني) حيث بلغت قيمة معامل التحديد  $R^2=0.818$  ونلاحظ أن التغذية الراشحة تتراوح بين (60-180 mm/year).



الشكل (25): العلاقة بين قيم التغذية الراشحة و قيم الهطول المطري للقطاع الثاني.

## ت - القطاع الجوفي الثالث:

تقع هذه الآبار في الجزء الشرقي من منطقة الدراسة ضمن التوضعات البحيرية الرباعية في نهاية الشبكة النهرية ويبين الجدول (6) موقع الابار في القطاع الجوفي الثالث.

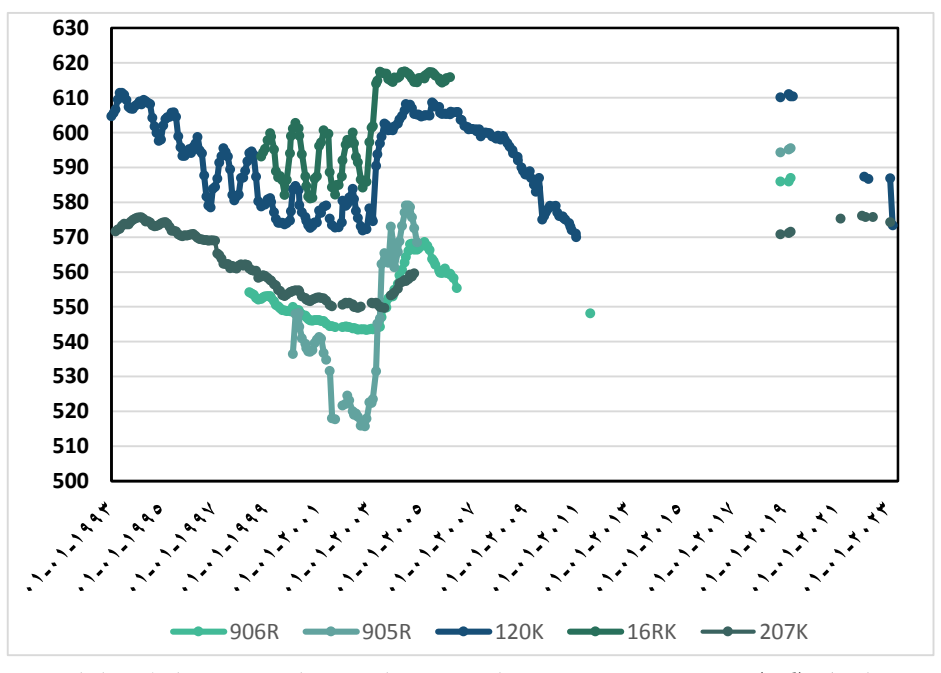
الجدول(6): احداثيات الابار وارتفاعها وعمق الماء فيها للقطاع الثالث

عمق المياه	Z	Y	X	٤ ١١ ٪	اسم البئر
m	m	UTM	UTM	رقم البئر	
80-30	608.6	274171	3709551	905R	العبادة
50-30	604.31	276528	3708658	906R	العتيبة
40-5	614.03	269246	3710453	120K	القاسمية
30-2	618.64	266458	3710109	16RK	النشابية
50-30	601.79	274019	3703609	207K	حران العواميد

بدراسة تطور منسوب المياه الجوفية مع الزمن لبئر 120K نلاحظ أنه شهد خلال الفترة الزمنية (1993-2023) تبدلات كثيرة حيث مر بمرحلة انخفاض تدريجي بين الاعوام 1993و 1997 بلغت قيمة الهبوط الاعظمية حوالي 26متر في عام 1997 بعد ذلك بدأ المنسوب بالنهوض والتعافي عام (2002-2003) بسعة نهوض 30متر وظل مستقراً على هذا النهوض لمدة أربع سنوات حتى عام 2007 ثم عاد ليشهد هبوط تدريجي بين الاعوام 2008 و 2011 بمعدل أسرع من قبل وبسعة هبوط تقدر حوالي 25 متر. أما عام 2018 لوحظ تعافى كبير للمنسوب استمر لثلاث سنوات على عمق 3م ثم انخفض عام 2022 الى عمق 27 متر ووصل في عام 2023 الى عمق 40 متر. ويبرر هذا الانخفاض في العمق الجوفي نتيجة توجه المزارعين في المناطق التي لاتعتمد على الري من شبكة عدرا الى الاعتماد بشكل أساسي على المياه الجوفية كمصدر بديل للري.

وقد مر بئر 16RK في منطقة النشابية بنفس تبدلات بئر القاسمية حيث كان الاتجاه العام للبئر نحو الانخفاض منذ التسعينات حتى عام 2002 ثم حصل نهوض وتعافى بالمنسوب استمرت مدة ثلاث سنوات حتى عام 2007. بينما يلاحظ بئر 905R الواقع في منطقة

العبادة انخفاض المنسوب من عمق 70 الى عمق 85 م بين عامي 2000 و بداية عام 2003 ثم حصل نهوض حاد وسريع للمنسوب خلال عدة أشهر من عام 2003 ووصل في نهاية عام 2004 الى عمق 30 الشكل (26). وبشكل مشابه فان البئر 906R قد مر بفترة انخفاض تدريجي منذ التسعينات حتى نهاية عام 2003 ليحصل نهوض حتى نهاية عام 2004 ثم تلا ذلك انخفاض بالمنسوب حتى عام 2011 الذي استقر على عمق على عمق أما عام 2018 لوحظ تعافي كبير في المنسوب حيث وصل الى عمق 18 م ثم انخفض متر واحد في عام 2019. أما بئر حران العواميد فقد مر بمرحلتين الأولى نحو الهبوط التدريجي من عمق 27 عام 1993 الى عمق 53متر عام 2003 والمرحلة الثانية بدأ بالنهوض التدريجي نهاية عام 2003 حتى وصل الى عمق 42 م عام 2004، أما خلال مرحلة التعافي نجد ان المنسوب كان على عمق 30م عام 2018 و 2019 ثم ارتفع الى عمق 36م عام 2014 و 2019 ثم ارتفع الى عمق 36م عام 2014.



الشكل (26): هيدروغراف الابار في التوضعات البحيرية الرباعية في القطاع الثالث

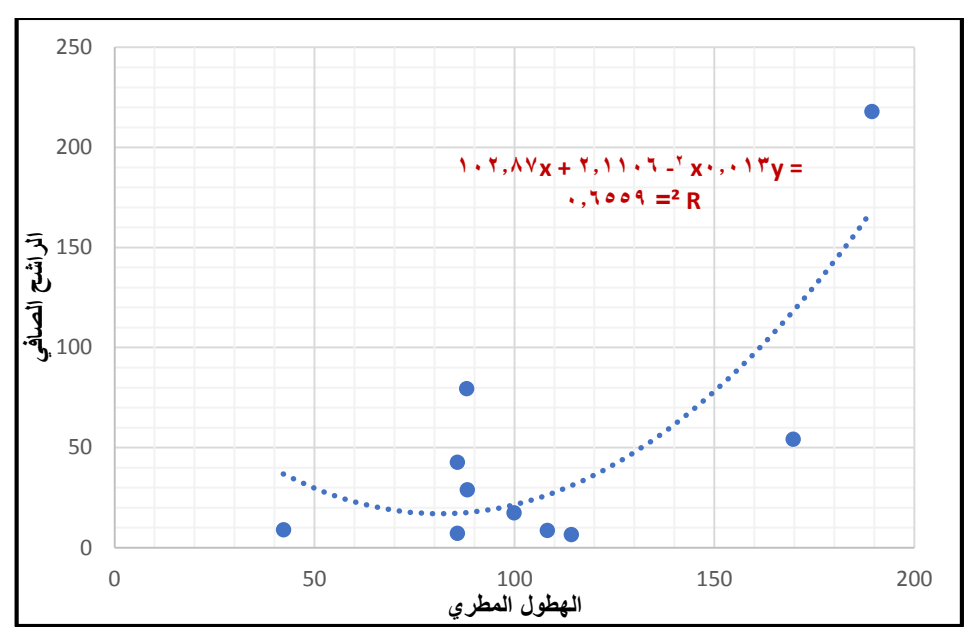
المجلد 47 العدد 8 عام 2025 هيا علي مندو د.م.محمود السباعي أ.د.م.معن سلامة

وبعد تحليل هيدروغراف تغير المنسوب المائي مع الزمن في آبار القطاع الثالث وربطها بالعوامل المؤثرة في التغذية الجوفية تبين وجود علاقة ارتباط قوية بين التغذية الراشحة والهطول المطرى في آبار حران العواميد والعبادة حيث بلغ معامل الارتباط فيهما 0.95 كما بلغ 0.82 في بئر القاسمية ووصل الى 0.7 في بئر العتيبة. كما يساهم الراشح من سرير نهر بردى خلال أشهر الفيضان فقط في ارتفاع المناسيب الجوفية لآبار النشابية والقاسمية والعبادة حيث تقع هذه الابار ضمن نطاق نهر بردى وفروعه إضافة الى المساهمة الرئيسية للعوائد من مياه الري أيضاً في التغذية الجوفية.

الجدول(7) تقدير قيمة الراشح الصافي الى المياه الجوفية في بئر القاسمية

الراشح الصافي الى المياه الجوفية mm/year	Sy	$\Delta m{h}$ m	معدل الهطول المطري mm	العام الهيدرولوجي
42.69	0.006	7.116	85.7	2000-2001
79.41	0.006	13.24	88	2001-2002
217.94	0.006	36.32	189.4	2002-2003
54.14	0.006	9.024	169.7	2003-2004
28.87	0.006	4.812	88.2	2004-2005
5.11	0.006	0.852	99.9	2005-2006
0.64	0.006	0.108	42.2	2006-2007
8.64	0.006	1.44	108.2	2007-2008
6.48	0.006	1.08	114.2	2008-2009
7.2	0.006	1.2	85.7	2009-2010

ويبين الشكل (27) العلاقة بين الهطول المطري والتغذية الراشحة المقاسة بطريقة WTF في بئر القاسمية ونلاحظ أن التغذية الراشحة تتراوح بين (7-200mm/year) .



الشكل (27): العلاقة بين الهطول المطري والراشح الصافي في بئر القاسمية

# ج - القطاع الجوفي الرابع

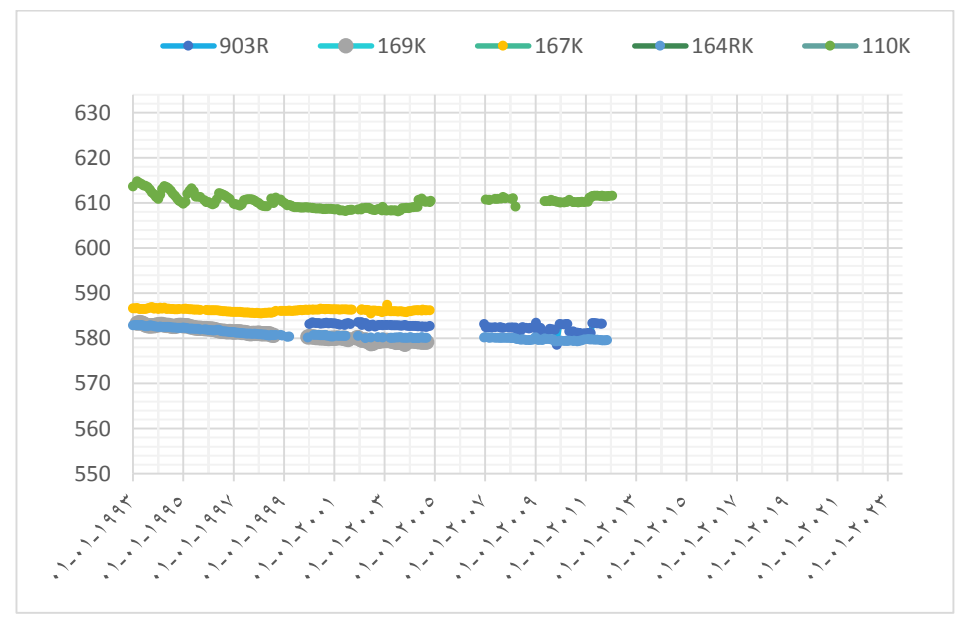
تقع هذه الآبار في الجزء الشرقي والجنوبي من منطقة الدراسة ضمن التوضعات البحيرية الرباعية. ويبين الجدول (8) موقع الآبار الواقعة ضمن هذا القطاع.

الجدول(8): احداثيات الابار وارتفاعها وعمق الماء فيها للقطاع الرابع

عمق المياه m	Z m	Y UTM	X UTM	رقم البئر	اسم البئر
28-25	608.25	283127	3714720	164RK	الرمدان
15	601.34	277732	3715812	167K	العتيبة
27-25	608.53	275308	3723178	903R	الضمير
55-50	634.55	280200	3724199	169K	الضمير
60-30	605.22	273042	3698736	126K	جديدة الخاص
10-8	619.03	264036	3700539	110K	الغسولة

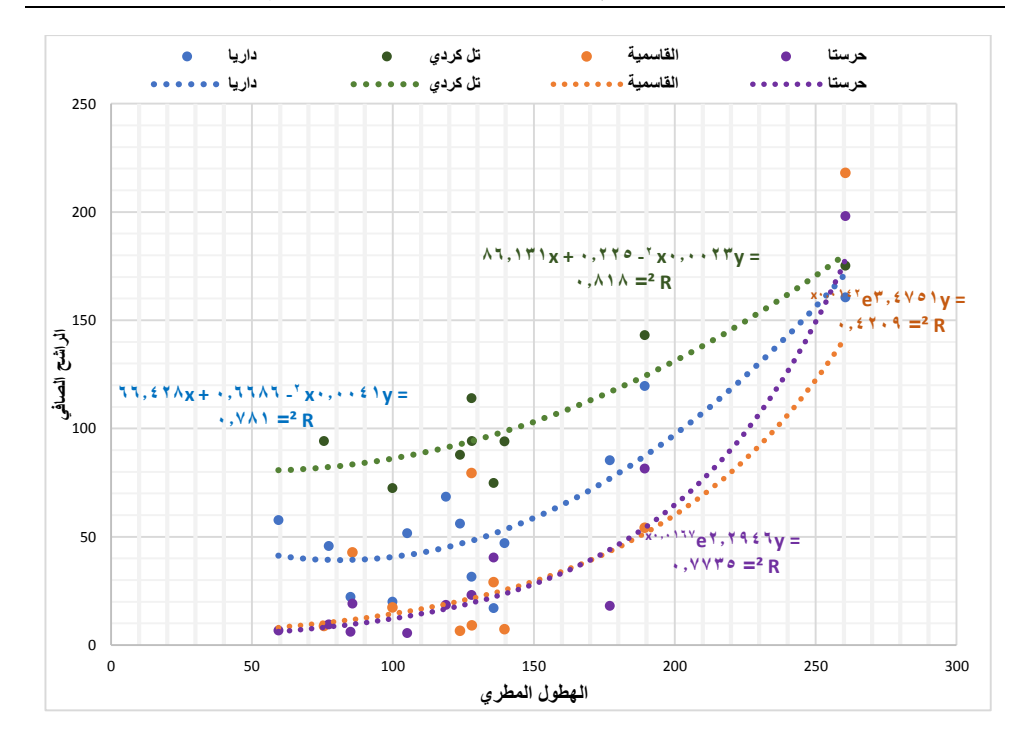
دم محمود السباعى أدم معن سلامة

نلاحظ من هيدروغراف الآبار المبين في الشكل (28) الاستقرار في أوضاع مناسيب المياه الجوفية على المدى الطويل وهذا يدل على عدم تأثر الطبقة الجوفية في الجزء الشرقي والجنوبي من منطقة الدراسة بالتغيرات والعوامل الخارجية المؤثرة كونها بعيدة عن تأثير الجريانات السطحية وأقنية شبكة ري عدرا وبسبب محدودية الهطولات المطرية في أقصى الجزء الشرقي من الحوض حيث لا يوجد ارتباط بين الهطول المطرى والتغذية للمياه الجوفية باستثناء بئر جديدة الخاص الذي نلاحظ ارتفاع منسوبه عام 2002-2003 نتيجة تأثره بالنهوض العام للمياه الجوفية في منطقة الغوطة الشرقية.



الشكل (28): تغير مناسيب المياه الجوفية مع الزمن في آبار القطاع الرابع.

يبين الشكل (29) العلاقة بين الهطول المطرى والراشح الصافي في القطاعات الجوفية الأول والثاني والثالث لآبار داريا وحرستا وتل كردي والقاسمية على التوالي. نلاحظ أنه عندما يكون معدل الهطول المطرى محدود بين القيم (60-100mm) يضعف تأثيره على التغذية الراشحة كما هو متوقع ويمكن تجاهله وتكون قيم الراشح الصافي ناتجة في هذه الحالة بشكل رئيسي عن الراشح من مياه الري بحيث تتراوح قيمة الراشح الصافي كما مبين في الشكل (29) بين القيم (100mm).



الشكل (29): العلاقة بين الهطول المطري والراشح الصافي في القطاعات الجوفية الاستنتاجات والتوصيات

نتيجة تحليل تغيرات المناسيب الجوفية مع الزمن للقطاعات الجوفية ودراسة مجمل العوامل المؤثرة على التغذية الجوفية تبين مايلي:

- 1. تأثر أعماق المياه الجوفية في القطاع الجوفي الأول والثاني والثالث بالراشح من الهطول المطري بنسب متفاوتة ومن سرير نهر بردى وفروعه خلال أشهر الفيضان وتزداد قيمة هذه المركبات كلما كانت السنة رطبة ومن الراشح من ري المساحات الزراعية الواقعة في زمام الغوطة الشرقية بنسب متفاوتة أيضاً حسب نوع المحصول المزروع ومصدر الري.
- 2. عدم تأثر أعماق المياه الجوفية في القطاع الجوفي الرابع بالراشح من الهطول المطري والعوامل الخارجية المؤثرة الأخرى.

- 3. حصول تعافى بمناسيب المياه الجوفية في جميع القطاعات الجوفية نتيجة توقف النشاطات الزراعية والبشرية خلال الفترة الزمنية (2011-2017) استعادت خلالها الطبقة المائية مخزونها الذي كان مهدداً بالاستنزاف نتيجة الضخ المفرط والحفر العشوائي.
- 4. عودة الانخفاض التدريجي في معظم الابار مؤخراً يعكس استئناف النشاطات الزراعية التي تعتمد على الضخ من الابار.
- تُظهر المستويات الجوفية في آبار القطاع الأول استقراراً دون مؤشرات على الاستنزاف، بينما يُتوقع أن تواجه آبار القطاعين الثاني والثالث حالة من عدم الاستقرار، حيث تشير البيانات إلى انخفاض تدريجي وحاد في بعض الآبار.
- 6. سوف تشكل النتائج من هذه الدراسة أساسا لبناء نموذج لدعم اتخاذ القرار لمنطقة الدراسة يساعد في فحص تأثير السيناريوهات المختلفة على الوضع المائي الجوفي.

#### التوصيات:

- 1. ضرورة اعتماد القياسات الآلية المؤتمتة ضمن شبكات الرصد الجوفي في المنطقة
  - 2. دراسة العلاقة بين المياه الجوفية مع المياه السطحية في منطقة الدراسة.

## المراجع:

- 1- السباعي محمود. التغير المناخي وتأثيره على الموارد المائية في المنطقة العربية، القاهرة: المؤتمر الدولي للمياه، 2023.
- 2- الابراهيم تماضر ، سلامة معن. عوامل التغذية المؤثرة في تحديد مناطق الأمل المائي الجوفي (دراسة حالة في محافظة حمص) مجلة جامعة حمص، 2021.
- 3- أكساد، وزارة الري السورية (2008) ، تقرير مشروع النموذج الرياضي لحوض غوطة دمشق، دمشق، 2008.

- 4- "برجيه دارين. دراسة هيدروكيميائية للمياه الجوفية الحرة في جزء من الغوطة الشرقية،" مجلة جامعة حمص، 2015.
  - 5- سلامة معن، الجودي حسان. الهيدروحيولوحيا(1)، جامعة حمص،2007.
- 6- نتوف قاسم، دراسة تطور الميزان المائي في الغوطة الشرقية، أطروحة دكتوراه، جامعة دمشق، 2014.
  - 7- معطيات الهيئة العامة للأرصاد الجوية.
  - 8- معطيات الهيئة العامة للاستشعار عن بعد.
    - 9- معطيات وزارة الموارد المائية.
- 10- "BGR, ACSAD, Development and Application of a Decision Support System (DSS) for Water Resources Management in Zabadani Basin, SYRIA," 2008.
- 11- "Delottier H, Pryet A, Lemieux JM, Dupuy A.Estimating groundwater recharge uncertainty from joint application of an aquifer test and the water-table fluctuation method. .," *Hydrogeology Journal*, 2018 Nov 1;26(7):2495-505..
- 12- "Hussain, Fiaz; Ray-Shyan, Wu; Dong-Sin, Shih, Water table response to rainfall and groundwater simulation using physics-based numerical model: WASH123D," 2022.
- 13- Lengiprovodkhoz, 1986, Water resources use in Barada and Auvage basin for irrigation of crops.
- 14- "MB., Addisie, Groundwater recharge estimation using water table fluctuation and empirical methods.," *l.H2Open Journa*, 2022 Sep 1;5(3):457-68..
- 15- "Z., Kattan, Characterization of surface water and groundwater in the Damascus Ghotta basin: hydrochemical and environmental

مجلة جامعة حمص سلسلة العلوم الهندسية المدنية والمعمارية المجلد 47 العدد 8 عام 2025 هيا علي مندو د.م.محمود السباعي أ.د.م.معن سلامة

isotopes approaches," *Environmental Geology.*, . 2006 Nov;51:173-201..